

UNIVERSIDADE FEDERAL DA PARAÍBA  
PRÓ-REITORIA PARA ASSUNTOS DO INTERIOR  
CENTRO DE CIÊNCIAS E TECNOLOGIA  
DEPARTAMENTO DE ENGENHARIA CIVIL

+ ESTUDO COMPREENSIVO DE UM PROGRAMA DE ELASTO-CONSOLIDAÇÃO BIDIMENSIONAL POR ELEMENTOS FINITOS E ANÁLISE COMPARATIVA DOS SEUS RESULTADOS NUMÉRICOS.

GUSTAVO ALMEIDA FILHO

CAMPINA GRANDE - PARAÍBA  
1983

ESTUDO COMPREENSIVO DE UM PROGRAMA DE  
ELASTO-CONSOLIDAÇÃO BIDIMENSIONAL POR  
ELEMENTOS FINITOS E ANÁLISE COMPARA  
TIVA DOS SEUS RESULTADOS NUMÉRICOS.

GUSTAVO ALMEIDA FILHO

ESTUDO COMPREENSIVO DE UM PROGRAMA DE ELASTO-CONSOLIDAÇÃO  
BIDIMENSIONAL POR ELEMENTOS FINITOS E ANÁLISE COMPARATIVA  
DOS SEUS RESULTADOS NUMÉRICOS.

DISSERTAÇÃO APRESENTADA AO CURSO  
DE MESTRADO EM ENGENHARIA CIVIL DA  
UNIVERSIDADE FEDERAL DA PARAÍBA, EM  
CUMPRIMENTO AS EXIGÊNCIAS PARA OBTENÇÃO DO GRAU DE MESTRE.

ÁREA DE CONCENTRAÇÃO: GEOTECNIA

ORIENTADOR : JEAN PIERRE DEMARTINECOURT

CAMPINA GRANDE - PARAÍBA

1983



A447e Almeida Filho, Gustavo.  
Estudo compreensivo de um programa de elasto-consolidação bidimensional por elementos finitos e análise comparativa dos seus resultados numéricos / Gustavo Almeida Filho. - Campina Grande, 1983.  
186 f.

Dissertação (Mestrado em Engenharia Civil) - Universidade Federal da Paraíba, Centro de Ciências e Tecnologia, 1983.  
"Orientação : Prof. Jean Pierre Demartinecourt".  
Referências.

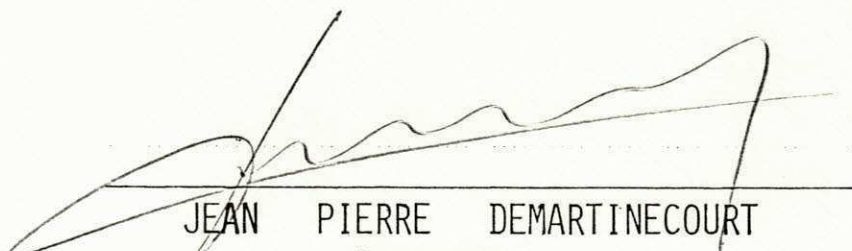
1. Geotécnica. 2. Mecânica dos Solos. 3. Geologia de Engenharia. 4. Dissertação - Engenharia Civil. I. Demartinecourt, Jean Pierre. II. Universidade Federal da Paraíba - Campina Grande (PB). III. Título

CDU 624.13(043)

ESTUDO COMPREENSIVO DE UM PROGRAMA DE ELASTO-CONSOLIDAÇÃO  
BIDIMENSIONAL POR ELEMENTOS FINITOS E ANÁLISE COMPARATIVA  
DOS SEUS RESULTADOS NUMÉRICOS.

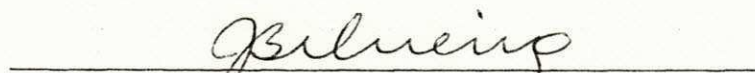
GUSTAVO ALMEIDA FILHO

DISSERTAÇÃO APROVADA EM : 19 DE SETEMBRO DE 1983



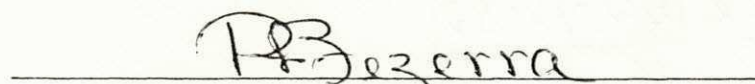
---

JEAN PIERRE DEMARTINECOURT  
ORIENTADOR



---

JOÃO BATISTA QUEIROZ DE CARVALHO  
EXAMINADOR



---

RAIMUNDO LEIDIMAR BEZERRA  
EXAMINADOR

CAMPINA GRANDE - PARAÍBA  
1983

Dedico este trabalho:

Aos meus pais, Gustavo e Maria da Guia

Aos meus irmãos, Glaucídio e Gláucia

As minhas avós, Florencia e Adalgisa

## A G R A D E C I M E N T O S

O autor expressa sua gratidão ao Professor Jean Pierre Demartinecourt, Ph.D., do Departamento de Engenharia Civil da Universidade Federal da Paraíba, pelo entusiasmo e dedicação com que orientou este trabalho.

Agradece ainda:

- Ao coordenador do Curso de Pós-Graduação em Engenharia Civil, professor João Batista Queiroz de Carvalho, Ph.D., pelo apoio financeiro.
- Aos professores Francisco Barbosa de Lucena, M.Sc., e Francisco Edmar Brasileiro, M.Sc., do mesmo Departamento, como também, ao Engenheiro José Bezerra da Silva, pelo grande incentivo.
- Ao Conselho Nacional de Desenvolvimento Científico e Tecnológico (CNPq) pelo suporte financeiro.
- A minha noiva, Engenheira Maria Goretti Mascarenhas Guimarães, pelo constante estímulo.
- Aos funcionários Washington Franklin Pedreira da Silva e Windsor Ramos da Silva, pela atenção e presteza.
- A todos que contribuíram direta ou indiretamente para realização deste trabalho.

## R E S U M O

Esta dissertação apresenta um estudo compreensivo de um programa de elementos finitos, estudando a consolidação de solos compressíveis quando carregados por cargas externas (aterros), assim como uma comparação de resultados obtidos por esse programa com os mesmos obtidos por teorias diferentes.

Uma descrição detalhada do programa "SOL", funcionando agora no sistema computacional do Núcleo de Processamento de dados da Universidade Federal da Paraíba (NPD-UFPb), foi feita para mostrar as diferentes etapas de cálculos realizada durante a obtenção da solução pelo método dos elementos finitos de um problema de consolidação bi-dimensional, no caso de um maciço de solo compressível submetido a um carregamento externo.

Os resultados dos recalques finais de consolidação obtidos pelo programa "SOL" mostram que, no centro do aterro, a diferença percentual encontrada com relação aos mesmos obtidos pela teoria de TERZAGHI fica em torno de 11,2%, enquanto que, no pé do aterro, pode atingir até 35,0%.

As curvas do grau de recalque de consolidação em função do tempo obtidos pelo programa no caso de um problema unidimensional, mostram uma aceitável concordância com



as mesmas obtidas através da teoria de TERZAGHI.

Todavia, a situação muda consideravelmente quando o problema passa a ser bidimensional. Nesse caso, é mostrado que o erro na evolução do grau de recalque de consolidação pode ser considerável quando a simples teoria de TERZAGHI unidimensional é usada para tratar um problema bidimensional.

Portanto, o uso do programa em projetos de fundações sobre solos compressíveis é altamente recomendado em qualquer caso, onde a velocidade do processo de consolidação é um dos mais importantes parâmetros do projeto.

## ABSTRACT

This thesis describes a study of a finite element program, studying the consolidation of compressible soils when submitted to external loads (embankment), and comparing the results obtained with the program with those using different theories.

A detailed description of the "SOL" program, available now at the NPD-UFPb computing system has been worked out to show the different steps of calculation, made in order to obtain the solution by the finite element method of a bi-dimensional consolidation problem in the particular case of a compressible soil mass, submitted to an external loading system.

The final settlement results obtained with the "SOL" program showed that, the discrepancy with those obtained from the TERZAGHI theory is not greater than 11,5% at the center of the embankment, while it reaches up to 35,0% at the toe.

The results showed a good agreement between the degree of consolidation versus time curves obtained with the program and the TERZAGHI theory in case of the problem is reduced to one-dimensional problem. Nevertheless the situation change drastically when the problem turn up

to be bi-dimensional. In such a case, it is shown that the error in the evaluation of the degree of consolidation may be very large when the simple one-dimensional TERZAGHI theory is used to treat a bi-dimensional problem.

Therefore, the use of the program in any design of foundation on compressible soils is highly recommended in any case where the speed of the process of consolidation is one of the most important parameters of the design.

## ÍNDICE

CAPÍTULO 1	- INTRODUÇÃO .....	1
1.1	- Generalidades .....	1
1.2	- Objetivos .....	4
CAPÍTULO 2	- REVISÃO BIBLIOGRÁFICA DA TEORIA DA ELASTO- CONSOLIDAÇÃO LINEAR ISOTRÓPRICA .....	7
2.1	- Generalidades .....	7
2.2	- Hipóteses da teoria da elasto- consolida - ção linear isotrópica .....	7
2.3	- Equação de base da elasticidade linear iso- trópica e equações de LAMÉ num meio contí - nuo. ....	8
2.3.1-	Equações de base da elasticidade linear iso trópica.....	8
2.3.2-	Equações de LAMÉ .....	9
2.4	- Dedução das equações da elasto- consolida - ção linear isotrópica.....	12
2.5	- Condições fronteiras encontradas nos proble mas de elasto-consolidação .....	17
2.6	- Hipótese suplementar de BENDULIC .....	18

2.6.1	- Generalidades .....	18
2.6.2	- Hipótese simplificada de RENDULIC .....	19
2.6.3	- Caso particular de aplicação da hipótese de RENDULIC .....	22
2.7	- Formulação Variacional do problema de elasto-consolidação tridimensional.....	25
CAPÍTULO 3	- TRATAMENTO CONVENCIONAL DO PROBLEMA DE ELASTO-CONSOLIDAÇÃO BIDIMENSIONAL POR ELEMENTOS FINITOS E MODIFICAÇÕES TRAZI- DAS NO PROGRAMA "SOL" .....	28
3.1	- Generalidades .....	28
3.2	- Discretização da região (R) em elemen- tos finitos triangulares .....	31
3.3	- Escolha das posições dos pontos nodais.....	31
3.4	- Escolha das funções de interpolação den- tro de um elemento. Uso das Coordenadas baricêntricas .....	33
3.4.1	- Sistema de coordenadas baricêntricas ou naturais dentro de um triângulo .....	33
3.4.2	- Função de interpolação do elemento trian- gular convencional .....	37
3.4.2.1	- Funções de interpolação dentro do elemento ..	37

3.4.2.2	- Funções de interpolação sobre as partes da fronteira $S_t$ e $S_Q$ .....	43
3.4.3	- Funções de interpolação do elemento "SOL" ...	44
3.4.3.1	- Generalidades .....	44
3.4.3.2	- Relação entre os valores de uma função polinômial do segundo grau tomadas nos seis pontos de GAUSS de um triângulo qualquer .....	48
3.4.3.3	- Fórmulas de interpolação dentro do elemento "SOL" .....	52
3.5	- Cálculo da matriz de rigidez e do vetor segundo membro elementares .....	55
3.5.1	- Generalidades .....	55
3.5.2	- Expressão do tensor de deformação .....	55
3.5.2.1	- Caso do elemento convencional .....	55
3.5.2.2	- Caso do elemento "SOL" .....	56
3.5.3	- Expressão do tensor das tensões .....	57
3.5.4	- Expressão da deformação volumétrica .....	58
3.5.5	- Expressão do vetor velocidade relativa de filtração .....	59
3.5.6	- Expressão da matriz de rigidez e do vetor segundo membro elementares do elemento conforme .....	61

3.5.7	- Expressão da matriz de rigidez e do vetor segundo membro elementares do elemento "SOL" .....	65
3.6	- Discretização no tempo durante o processo de consolidação. Obtenção das condições iniciais. ....	67
3.6.1	- Generalidades .....	67
3.6.2	- Discretização no tempo: Caso drenante .....	68
3.6.3	- Obtenção das condições iniciais - Caso não drenado .....	70
3.7	- Condensação estática do programa "SOL" .....	71
3.7.1	- Caso drenante .....	71
3.7.2	- Caso não drenado .....	72
3.8	- Imposição das relações entre as componentes do vetor deslocamento nos nós de GAUSS do elemento "SOL" (caso drenante e não drenado), e imposição da condição de incompressibilidade no centro do primeiro lado do elemento (caso não drenado) .....	73
3.9	- Imposição das condições fronteiras .....	75
3.10	- Montagem das matrizes de rigidez e dos vetores segundo membro elementares não conforme .....	76
3.10.1	- Caso drenante .....	76

3.10.2	- Caso não drenado .....	79
3.11	- Resolução dos sistemas lineares .....	80
3.11.1	- Caso drenante .....	80
3.11.2	- Caso não drenado .....	80
3.11.2.1	- Geração das pressões intersticiais nos centros dos primeiros lados dos elementos .....	80
3.12	- Cálculo das grandezas secundárias dentro de cada elemento .....	82
3.12.1	- Caso drenante .....	82
3.12.2	- Caso não drenado .....	83
CAPÍTULO 4	- DESCRIÇÃO DO PROGRAMA "SOL" .....	84
4.1	- Generalidades .....	84
4.2	- Etapas de cálculos executados pelo programa "SOL" .....	86
4.2.1	- Programa principal .....	86
4.2.2	- Subrotinas .....	98
CAPÍTULO 5	- ANÁLISE DE ALGUNS RESULTADOS OBTIDOS COM O PROGRAMA "SOL" .....	101
5.1	- Generalidades .....	101
5.2	- Problema I .....	102
5.2.1	- Generalidades .....	102



5.2.2	- Malha de elementos finitos.....	103
5.2.3	- Condições fronteiras .....	104
5.2.4	- Escolha dos parâmetros mecânicos.....	106
5.2.5	- Cálculo dos recalques finais através da teoria de TERZAGHI .....	106
5.2.6	- Análise dos resultados .....	107
5.3	- Problema II.....	109
5.3.1	- Generalidades.....	109
5.3.2	- Malha de elementos finitos.....	110
5.3.3	- Condições fronteiras.....	110
5.3.4	- Escolha dos parâmetros mecânicos.....	111
5.3.5	- Cálculo do grau de recalque de consolida ção .....	111
5.3.6	- Análise dos resultados.....	112
5.4	- Uso geral do programa "SOL" .....	118
CAPÍTULO 6	- CONCLUSÕES E SUGESTÕES PARA PESQUISAS FUTU RAS .....	120
6.1	- Conclusões .....	120
6.2	- Sugestões para pesquisas futuras.....	121

REFERÊNCIAS BIBLIOGRÁFICAS .....	122
APÊNDICE I - Lista das variáveis do programa .....	125
APÊNDICE II - Dados da entrada do programa .....	137
APÊNDICE III - Listagem do programa .....	148
APÊNDICE IV - Dedução de fórmulas usadas no programa "SOL" .....	175
APÊNDICE V - Listagem dos dados de entrada do pro - grama .....	178
APÊNDICE VI - Listagem de saída dos seus resultados numéricos .....	183

## SIMBOLOGIA

- $\sigma_x, \sigma_y, \sigma_z$  - Tensões normais nas direções  $x, y$  e  $z$ , respectivamente
- $\lambda, \mu$  - Coeficientes elásticos de LAMÉ
- $u, v, w$  - Componentes do vetor deslocamento nas direções  $x, y$  e  $z$ , respectivamente
- $E$  - Módulo de elasticidade de Young
- $\nu$  - Coeficiente de Poisson
- $\tau_{xy}, \tau_{xz}, \tau_{yz}$  - Tensões cisalhantes nos planos  $xy, xz$  e  $yz$ , respectivamente
- $F_x, F_y, F_z$  - Componentes do vetor força de volume
- $S$  - Vetor das tensões escrita sob forma de uma matriz (3x3)
- $\nabla^2$  - Operador laplaciano dos campos vetoriais
- $\vec{V}$  - Vetor deslocamento
- $q_0$  - Pressão intersticial inicial
- $S'_0$  - Tensor das tensões efetivas iniciais
- $I_1$  - Pressão invariante do tensor das tensões totais
- $I'_1$  - Primeiro invariante do tensor das tensões efetivas
- $\vec{F}_{esc}$  - vetor força de escoamento

$\vec{i}$	- Vetor gradiente hidráulico
$\gamma_w$	- Peso específico da água
$q$	- Sobrepressão intersticial
$\Delta h$	- Variação da carga hidráulica
$\vec{W}$	- Vetor velocidade de filtração
$k$	- Coeficiente de permeabilidade
$J_1$	- Primeiro invariante do tensor das deformações
$x, y, z$	- Coordenadas cartesianas
$C_v$	- Coeficiente de consolidação vertical
$S_d$	- Parte da fronteira $S$ , onde as componentes do vetor deslocamento são conhecidas.
$S_t$	- Parte da fronteira $S$ , onde as componentes do vetor tensão total são conhecidas.
$S_p$	- Parte da fronteira $S$ , onde o valor da pressão intersticial é conhecida.
$S_Q$	- Parte da fronteira $S$ , onde o valor da vazão é conhecida.
$\vec{n}$	- Vetor exterior normal à fronteira $S_Q$ .
$K$	- Módulo de compressão.
$\epsilon_x, \epsilon_y, \epsilon_z$	- Deformações nas direções: $x, y$ e $z$ , respectivamente.
$\epsilon_{xy}$	- Deformação por cisalhamento
$\int$	- Símbolo da funcional.

$S'_{ij}$	- Componentes do tensor das tensões efetivas
$ij$	- Componentes do tensor das deformações
$u_i$	- Componentes do vetor deslocamento
$\rho$	- Massa específica do solo
$\rho_w$	- Massa específica da água
$F_i$	- Componentes do vetor força de volume
$g$	- Função unidade
$q'_i$	- Componentes do vetor velocidade relativa da água
$K'_{ij}$	- Componentes do tensor de permeabilidade
$T_i$	- componentes do vetor tensão especificadas sobre a fronteira $S_t$
$Q$	- Valor da vazão especificada sobre a fronteira $S_Q$
*	- Produto de convolução
$R$	- Razão do espaço ou do plano
$\rightarrow$	
$W'$	- Vetor velocidade de filtração modificado
$L_i$	- Coordenadas baricêntricas do triângulo ( $i=1,2,3$ )
$A$	- Área do triângulo
$a_i, b_i$	- Parâmetros do sistema de coordenadas baricêntricas ( $i = 1, 2, 3$ )
$N_i$	- Vetor das funções de interpolação ( $i=1,2...6$ )
$u^{(i)}$	- Componentes horizontais do vetor deslocamento no elemento conforme ( $i=1, 2, \dots, 6$ )

- $v_i$  - Componentes verticais do vetor deslocamento no elemento conforme ( $i = 1, 2, \dots, 6$ )
- $u_i$  - Componentes horizontais do vetor deslocamento no elemento "SOL" ( $i = 1, 2, \dots, 7$ )
- $V_i$  - Componentes verticais do vetor deslocamento no elemento "SOL" ( $i = 1, 2, \dots, 7$ )
- $P_e$  - Base de polinômios do primeiro grau para função pressão intersticial
- $\{p_e\}$  - Componentes do vetor deslocamento para pressão intersticial no elemento conforme
- $T_x, T_y$  - Componentes do vetor tensão total
- $[A]$  - Matriz que relaciona as componentes horizontais ou verticais do vetor deslocamento no elemento conforme com os mesmos no elemento "SOL"
- $[B]$  - Matriz que relaciona ao mesmo tempo todos os graus de liberdade do elemento conforme com os mesmos do elemento "SOL"
- $\{\epsilon\}$  - Vetor das deformações
- $\{\delta_e\}$  - Vetor deslocamento nos pontos nodais do elemento conforme
- $\{\delta_e\}$  - Vetor deslocamento nos pontos nodais do elemento "SOL"
- $\{\delta\}$  - Vetor deslocamento no sistema global
- $[D]$  - Matriz de elasticidade
- $\epsilon_{vol}$  - Deformação volumétrica
- $[I_3]$  - Matriz de identidade

- $\{p_e\}$  - Componentes do vetor deslocamento para pressão intersticial no elemento "SOL"
- $[K_1^e]$  - Matriz de rigidez elementar do esqueleto sólido
- $[K_p^e]$  - Matriz de escoamento elementar
- $[C^e]$  - Matriz de acoplamento elementar
- $\{MM1^e\}$  - Vetor força elementar equivalente às tensões iniciais
- $\{MM2^e\}$  - Vetor força elementar equivalente às forças de volume exercidas sobre o esqueleto sólido
- $\{MM3^e\}$  - Vetor força elementar equivalente às forças de volume exercidas sobre a água
- $\{PP1^e\}$  - Vetor força elementar equivalente às tensões impostas na fronteira  $S_t$
- $\{PP2^e\}$  - Vetor força elementar equivalente às vazões impostas na fronteira  $S_Q$
- $\{\dot{\delta}^e\}$  - Vetor derivada com relação ao tempo do vetor  $\delta^e$
- $[K^e]$  - Matriz de rigidez elementar do elemento conforme
- $\{F^e\}$  - Vetor segundo membro elementar conforme
- $[K_e]$  - Matriz de rigidez elementar do elemento não conforme
- $\{F_e\}$  - Vetor segundo membro do elemento não conforme
- $\alpha$  - Coeficiente de penalidade

- { MM<sub>1</sub>} - Vetor força global equivalente às tensões iniciais.
- { MM<sub>2</sub>} - Vetor força global equivalente às forças de volume exercidas sobre o esqueleto sólido.
- { MM<sub>3</sub>} - Vetor força global equivalente às forças de volume exercidas sobre a água.
- { PP<sub>1</sub>} - Vetor força global equivalente às tensões especificadas e impostas na fronteira  $S_t$ .
- { PP<sub>2</sub>} - Vetor força global equivalente às vazões especificadas e impostas na fronteira  $S_Q$ .
  
- r - Recalque final de consolidação.
- $m_v$  - Coeficiente de compressão.
- $I_\sigma$  - Coeficiente de influência.
- H - Altura da camada compressível.
- $\gamma$  - Massa específica do material do aterro.
- h - Altura do aterro.
- B - Semi-largura da base do aterro.
- b - Semi-largura da plataforma do aterro.
- $\alpha$  - Diferença entre a semi-largura da base do aterro e a semi-largura da plataforma do aterro.
- $\beta$  - Ângulo de inclinação do talude do aterro.
- $U_s$  - Grau de recalque de consolidação.
- T - Fator tempo.
- t - Tempo de consolidação.



# CAPÍTULO 1

## INTRODUÇÃO

### 1.1 - GENERALIDADES

Em virtude do constante crescimento dos centros urbanos há a necessidade do aproveitamento de todas as áreas disponíveis para construção de obras de engenharia civil.

Com a implantação de estradas de rodagem, ferrovias, ou mesmo a ocupação de determinadas áreas residenciais ou industriais, torna-se frequente a necessidade de construções de aterros sobre solos compressíveis, tais como, argilas moles.

Devido à baixa permeabilidade desses solos, somente uma parte dos recalques (recalque imediato) é obtido na hora da aplicação instantânea da carga (aterro), enquanto os recalques provenientes da expulsão da água dos poros do esqueleto sólido, requerem bastante tempo para ocorrer. Esses recalques que evoluem com o tempo, depois da construção do aterro, são convencionalmente chamados recalques de consolidação.

Uma vez que sempre a construção do aterro é feita gradualmente, durante um determinado período de tempo, a fim de executá-lo totalmente, torna-se necessária a análise dos recalques em função do tempo, sendo portanto, muito mais complexa nesse caso, visto que, a separação dos recalques

totais em recalques imediatos e de consolidação não é mais possível por eles serem interligados.

Uma outra fonte de dificuldades para o tratamento desses problemas de previsão no tempo dos recalques, é a heterogeneidade e a anisotropia das camadas de solos compressíveis, suportando o aterro. Essa heterogeneidade e essa anisotropia se referem tanto às propriedades mecânicas do esqueleto sólido (módulo de deformação, coeficiente de Poisson) quanto às propriedades de permeabilidade do solo.

A existência da pressão de pré-adensamento para os solos compressíveis, tal como, a argila, faz com que as características mecânicas do esqueleto sólido sejam também dependentes do nível das tensões efetivas aplicadas. Essa dependência, torna o estudo dos recalques mais complexo.

A teoria mais usada para previsão no tempo dos recalques de um aterro é a de TERZAGHI.

Os seus inconvenientes, quando usados na previsão dos recalques de um aterro sobre camadas compressíveis são:

1 - Desprezar os movimentos laterais dos solos, por ser uma teoria unidimensional vertical.

2 - Não levar em consideração a heterogeneidade e a anisotropia das camadas de solos compressíveis.

3 - Não levar em consideração a dependência das características mecânicas dos solos como função do nível das tensões efetivas atuais.

Necessitou-se então, de teorias mais elaboradas que

permitted consider all the inconveniences cited previously. One of them is the mathematical theory of linear isotropic multidimensional consolidation of BIOT (1941). Even as<sub>u</sub>sim, only some bidimensional cases presenting a simple geometry were treated by researchers, who found complex expressions for the determination of the components of the displacement vector and the interstitial pressure as a function of time (see YAMAGUCHI and MURAKAMI, 1978).

Another way to obtain solutions corresponding to problems presenting variable geometries is the way of search, by numerical analysis of functions, approximating the solutions of the partial differential equations inherent to the consolidation process together with the boundary or contour conditions.

One of these ways is the conversion of the problem of partial differential equations to be solved together with the boundary or contour conditions, into a problem of minimization of a functional, where this minimization is performed by the method of finite elements.

Today, some programs of finite elements are treating soil consolidation. One of them, the program "SOL" was elaborated by M. SOULIÉ (1975) at the University of Montreal in Canada, having been subsequently implemented in the computational system of NPD-UFPb. This program allows the study of bidimensional (for example, the problem of linear consolidation by segments, in heterogeneous and anisotropic

trópicos, leva em consideração o processo de aplicação das cargas externas (construção por etapa de um aterro), como também permite considerar qualquer geometria da região ocupada pelos solos compressíveis.

## 1.2 - OBJETIVOS

Os objetivos desse trabalho são os seguintes:

1 - Adaptar o programa "SOL" ao sistema computacional do NPD-UFPb.

2 - Mostrar quais são os dados de entrada necessários ao programa e quais são os resultados obtidos. Esse tipo de informação é de importância fundamental para o Instituto de Pesquisas Rodoviárias (IPR), firmas projetistas, órgãos rodoviários e por usuários que por ventura venham a se deparar com problemas dessa natureza.

3 - Fazer um estudo compreensivo do tratamento do problema de consolidação dos solos pelo método dos elementos finitos, sempre procurando destacar quais são as originalidades envolvidas no programa "SOL" (elemento não conforme, pontos de GAUSS).

Esse estudo poderá servir de guia para os usuários do programa que não se satisfaçam com a obtenção dos meros resultados, mas que busquem entender mais em detalhe as hipóteses envolvidas junto com as suas limitações, e os métodos de cálculos utilizados. Para isso, esses usuários terão uma des

crição detalhada de todas as etapas de cálculos executadas durante a obtenção da solução de um problema de consolidação bidimensional de um maciço de solo compressível submetido a um carregamento externo. Ele será também o ponto de partida necessário para uma adaptação futura do programa "SOL" ao tratamento de problemas de consolidação tridimensional, apresentando uma simetria de revolução.

4 - Mostrar e comparar os recalques finais no centro e no pé do talude de um aterro trapezoidal calculados pela teoria clássica de TERZAGHI.

5 - Mostrar e comparar o grau de recalque de consolidação de um aterro em função do tempo, obtido pelo programa "SOL" com o mesmo calculado analiticamente pela teoria da elasto-consolidação bidimensional de YAMAGUCHI e MURAKAMI (1978).

O trabalho foi dividido em seis capítulos junto com seis Apêndices.

O capítulo 2 apresenta uma revisão bibliográfica da teoria da elasto-consolidação.

O capítulo 3 apresenta um estudo detalhado do tratamento do modelo da elasto-consolidação pelo método dos elementos finitos, visando sempre destacar as originalidades do programa "SOL".

O capítulo 4 descreve as sequências de cálculos seguidas pelo programa "SOL".

O capítulo 5 apresenta alguns resultados obtidos pelo

programa "SOL" e compara-os com os mesmos obtidos por teorias diferentes.

O capítulo 6 apresenta as conclusões do trabalho e sugestões para pesquisas futuras.

Nos seis Apêndices, são apresentados: <sup>1)</sup> uma lista das variáveis do programa "SOL"; <sup>2)</sup> dados de entrada do programa; <sup>3)</sup> uma listagem do programa; <sup>4)</sup> algumas deduções de fórmulas usadas no programa "SOL"; <sup>5)</sup> uma listagem dos dados de entrada do programa "SOL" e <sup>6)</sup> uma listagem de saída dos seus resultados numéricos.

## CAPÍTULO 2

### REVISÃO BIBLIOGRÁFICA DA TEORIA DA ELASTO-CONSOLIDAÇÃO LINEAR ISOTRÓPICA.

#### 2.1 - GENERALIDADES

Nesse capítulo pretende-se: apresentar as hipóteses básicas da teoria da elasto-consolidação linear isotrópica, mostrar as equações de base da elasticidade linear isotrópica, deduzir as equações de LAMÉ em elasticidade linear isotrópica, escrever as equações que governam o fenômeno de elasto-consolidação, descrever as condições fronteiras envolvidas num problema de elasto-consolidação, mostrar que com a hipótese simplificadora de RENDULIC, o problema de elasto-consolidação linear isotrópica é um problema mais simples no ponto de vista da solução numérica e apresentar a formulação variacional do problema da elasto-consolidação tri e bi dimensional.

#### 2.2 - HIPÓTESES DA TEORIA DA ELASTO-CONSOLIDAÇÃO LINEAR ISOTRÓPICA (MANDEL, 1957) e (BIOT, 1941).

As hipóteses dessa teoria, são bem semelhantes as da teoria de TERZAGHI, como pode-se ver a seguir:

a) O solo está e fica saturado durante todas as fases envolvidas no processo de consolidação.

b) O fluido (água) e os grãos são considerados incompressíveis.

c) O esqueleto sólido, se comporta como um meio contínuo, linearmente elástico e isotrópico, sob o efeito das únicas tensões intergranulares (tensões efetivas).

d) Os deslocamentos e deformações são pequenas (teoria das pequenas deformações).

e) O escoamento do fluido dentro dos poros, obedece à lei de DARCY.

### 2.3 - EQUAÇÕES DE BASE DA ELASTICIDADE LINEAR ISOTRÓPICA E EQUAÇÕES DE LAMÉ NUM MEIO CONTÍNUO.

2.3.1 - Equações de base da elasticidade linear isotrópica.

A relação matricial existente entre o tensor das tensões num ponto de um meio contínuo, linearmente elástico e isotrópico e o tensor das pequenas deformações é dado pelas equações 2.1 .

$$\begin{pmatrix} \sigma_x \\ \sigma_y \\ \sigma_z \\ \tau_{xy} \\ \tau_{xz} \\ \tau_{yz} \end{pmatrix} = \begin{bmatrix} \lambda + 2\mu & \lambda & \lambda & & & \\ \lambda & \lambda + 2\mu & \lambda & & & \\ \lambda & \lambda & \lambda + 2\mu & & & \\ & & & \mu & & \\ & & & & \mu & \\ & & & & & \mu \end{bmatrix} \begin{pmatrix} \frac{\partial u}{\partial x} \\ \frac{\partial v}{\partial y} \\ \frac{\partial w}{\partial z} \\ \frac{\partial u}{\partial y} + \frac{\partial v}{\partial x} \\ \frac{\partial u}{\partial z} + \frac{\partial w}{\partial x} \\ \frac{\partial v}{\partial z} + \frac{\partial w}{\partial y} \end{pmatrix} \quad (2.1)$$



onde  $u$ ,  $v$  e  $w$  são as componentes do vetor deslocamento nas direções  $x$ ,  $y$  e  $z$ , respectivamente.

$\lambda$  e  $\mu$  são os coeficientes elásticos de LAMÉ, dados por:

$$\lambda = \frac{E\nu}{(1+\nu)(1-2\nu)}$$

( $E$  = módulo de elasticidade de Young do meio contínuo e  $\nu$  = coeficiente de Poisson do meio contínuo).

$$G = \mu = \frac{E}{2(1+\nu)}$$

( $G$  = módulo de cisalhamento)

As componentes do vetor tensão,  $\sigma_x$ ,  $\sigma_y$  e  $\sigma_z$  são as tensões normais, cujos índices representam o eixo ao qual a componente da tensão é paralela, e  $\tau_{xy}$ ,  $\tau_{xz}$  e  $\tau_{yz}$  são as tensões cisalhantes, cujos índices são constituídos de duas letras - a primeira representa o índice da tensão normal atuante no mesmo plano e a segunda indica o eixo ao qual a componente é paralela.

Na relação mostrada pelas equações 2.1, já está levando-se em consideração a condição de equilíbrio dos momentos, cujos resultados são:  $\tau_{xy} = \tau_{yx}$ ,  $\tau_{xz} = \tau_{zx}$  e  $\tau_{yz} = \tau_{zy}$ . Por isso, aparece o tensor das tensões com o número de componentes reduzido de nove para seis.

### 2.3.2 - Equações de LAMÉ

Considerando o equilíbrio de um paralelepípedo elementar, sob o efeito do conjunto das forças devidas às tensões

atuantes sobre as suas seis faces e das forças de volume atuando sobre o mesmo e fazendo tender as dimensões deste paralelepípedo para zero, acha-se o seguinte sistema de equações, válido num ponto qualquer do meio contínuo em equilíbrio.

$$\frac{\partial \sigma_x}{\partial x} + \frac{\partial \tau_{xy}}{\partial y} + \frac{\partial \tau_{xz}}{\partial z} + F_x = 0 \quad (2.2)$$

$$\frac{\partial \tau_{yx}}{\partial x} + \frac{\partial \sigma_y}{\partial y} + \frac{\partial \tau_{yz}}{\partial z} + F_y = 0 \quad (2.3)$$

$$\frac{\partial \tau_{zx}}{\partial x} + \frac{\partial \tau_{zy}}{\partial y} + \frac{\partial \sigma_z}{\partial z} + F_z = 0 \quad (2.4)$$

onde  $F_x$ ,  $F_y$  e  $F_z$  são as componentes do vetor força de volume  $\vec{F}$  no ponto considerado.

Esse sistema pode ser escrito sob a forma matricial seguinte:

$$(\nabla S)^T + \vec{F} = \vec{0} \quad (2.5)$$

onde  $S$  é o vetor das tensões escrita sob forma de uma matriz (3x3):

$$S = \begin{bmatrix} \sigma_x & \tau_{yx} & \tau_{zx} \\ \tau_{xy} & \sigma_y & \tau_{zy} \\ \tau_{xz} & \tau_{yz} & \sigma_z \end{bmatrix} \quad \nabla \text{ é o operador } \left( \frac{\partial}{\partial x} \quad \frac{\partial}{\partial y} \quad \frac{\partial}{\partial z} \right)$$

Tomando as diversas derivadas parciais das equações 2.1 temos:

$$\frac{\partial \sigma_x}{\partial x} = (\lambda + 2\mu) \frac{\partial^2 u}{\partial x^2} + \lambda \frac{\partial^2 v}{\partial y^2} + \lambda \frac{\partial^2 w}{\partial z^2} \quad (2.6)$$

$$\frac{\partial \tau_{xy}}{\partial y} = \mu \frac{\partial}{\partial y} \left( \frac{\partial u}{\partial y} + \frac{\partial v}{\partial x} \right) \quad (2.7)$$

$$\frac{\partial \tau_{xz}}{\partial z} = \mu \frac{\partial}{\partial z} \left( \frac{\partial u}{\partial z} + \frac{\partial w}{\partial x} \right) \quad (2.8)$$

$$\frac{\partial \sigma_y}{\partial y} = \lambda \frac{\partial^2 u}{\partial x \partial y} + (\lambda + 2\mu) \frac{\partial^2 v}{\partial y^2} + \lambda \frac{\partial^2 w}{\partial z^2} \quad (2.9)$$

$$\frac{\partial \sigma_z}{\partial z} = \lambda \frac{\partial^2 u}{\partial x \partial z} + \lambda \frac{\partial^2 v}{\partial y \partial z} + (\lambda + 2\mu) \frac{\partial^2 w}{\partial z^2} \quad (2.10)$$

$$\frac{\partial \tau_{yz}}{\partial y} = \mu \left( \frac{\partial^2 v}{\partial y \partial z} + \frac{\partial^2 w}{\partial y^2} \right) \quad (2.11)$$

Substituindo as equações 2.6; 2.7; 2.8; 2.9; 2.10 e 2.11 nas equações 2.2; 2.3 e 2.4, obtem-se o seguinte sistema de equações, ditas equações de LAMÉ.

$$\mu \left( \frac{\partial^2 u}{\partial x^2} + \frac{\partial^2 u}{\partial y^2} + \frac{\partial^2 u}{\partial z^2} \right) + (\lambda + \mu) \frac{\partial}{\partial x} \left( \frac{\partial u}{\partial x} + \frac{\partial v}{\partial y} + \frac{\partial w}{\partial z} \right) + F_x = 0 \quad (2.12)$$

$$\mu \left( \frac{\partial^2 v}{\partial x^2} + \frac{\partial^2 v}{\partial y^2} + \frac{\partial^2 v}{\partial z^2} \right) + (\lambda + \mu) \frac{\partial}{\partial y} \left( \frac{\partial u}{\partial x} + \frac{\partial v}{\partial y} + \frac{\partial w}{\partial z} \right) + F_y = 0 \quad (2.13)$$

$$\mu \left( \frac{\partial^2 w}{\partial x^2} + \frac{\partial^2 w}{\partial y^2} + \frac{\partial^2 w}{\partial z^2} \right) + (\lambda + \mu) \frac{\partial}{\partial z} \left( \frac{\partial u}{\partial x} + \frac{\partial v}{\partial y} + \frac{\partial w}{\partial z} \right) + F_z = 0 \quad (2.14)$$

O sistema é formado por três equações, cujas derivadas parciais de segunda ordem possuem coeficientes constantes. Uma forma mais compacta das equações 2.12; 2.13 e 2.14 de LAMÉ, é escrita sob a forma vetorial como mostra a equação 2.15.

$$\mu \nabla^2 \vec{V} + (\lambda + \mu) \text{grad} (\text{div} \vec{V}) + \vec{F} = \vec{0} \quad (2.15)$$

onde  $\vec{V}$  é o vetor deslocamento

$\nabla^2$  é o operador laplaciano dos campos vetoriais, definido por:

$$\nabla^2 \vec{x} = \text{grad} (\text{div} \vec{x}) - \text{rot} (\text{rot} \vec{x})$$

sendo que, em coordenadas ortonormais, temos: a  $i$ ésima componente do laplaciano vetorial igual ao laplaciano escalar da  $i$ ésima componente do campo vetorial  $\vec{x}$ .

#### 2.4 - DEDUÇÃO DAS EQUAÇÕES DA ELASTO-CONSOLIDAÇÃO LINEAR ISOTRÓPICA.

Considere um sólido (maciço de solo argiloso); para um tempo (t) anterior ao carregamento, ele estava saturado e em equilíbrio num ponto M ( $x_0, y_0, z_0$ ), onde a pressão intersticial era ( $q_0$ ) e o tensor das tensões efetivas era  $S'_0(\sigma'_{x_0}, \dots, \tau'_{yz_0})$ . No tempo  $t=0$ , o solo foi carregado na superfície, o que faz aumentar a pressão intersticial de imediato. O aumento de tensão total, provoca um aumento da pressão intersticial e provocando ao mesmo tempo uma mudança das componentes do tensor das

tensões efetivas, sendo essa mudança efetuada de maneira tal que o primeiro invariante do tensor das tensões efetivas ( $I_1' = \sigma'x + \sigma'y + \sigma'z$ ) permanece inalterado. No mesmo tempo, ocorre uma deformação imediata do solo com volume constante, desde que o solo está saturado e a água é incompressível. A partir desse primeiro estado deformado, a água, sob o gradiente dos excessos de pressões intersticiais, vai se escoar progressivamente para fora dos poros. Esse escoamento vai provocar uma diminuição dos excessos de pressão intersticial, ao mesmo tempo, vai haver uma transferência de tensões totais da fase líquida para o esqueleto sólido. Este carregamento do esqueleto sólido se traduz por uma variação das componentes do tensor das tensões efetivas, provocando o surgimento de novas deformações do esqueleto sólido, sendo essas, chamadas deformações de consolidação.

Sejam  $\Delta S'(t)$ , o acréscimo do tensor das tensões efetivas entre o tempo  $t=0$  e o tempo  $t$ , ( $t>0$ ) e  $q(t)$  o acréscimo da pressão intersticial (sobreprensão intersticial) entre o tempo  $t=0$  (antes do carregamento) e o tempo  $t$ , ( $t>0$ ).

As únicas forças de volume adicionais, que são aplicadas sobre o esqueleto sólido durante o processo de consolidação, são as forças de escoamento ( $\vec{F}_{esc}$ ), sendo essas dadas por:

$$\vec{F}_{esc} = \vec{i} \gamma_w, \quad \vec{i} = - \overrightarrow{\text{grad}} (\Delta h) \quad \text{e} \quad \Delta h = \frac{q}{\gamma_w}$$

onde,  $\vec{i}$  é o vetor gradiente hidráulico.

$\gamma_w$  é o peso específico da água.

$\Delta h$  é a variação da carga hidráulica que ocorreu entre os tempos pós-carregamento e o tempo antecedente à aplicação das cargas externas.

$q$  é a sobrepressão intersticial, logo, o vetor força de escoamento atuando sobre o esqueleto sólido durante o processo de consolidação, fica dado por:

$$\vec{F}_{esc} = - \text{grad } q \quad (2.16)$$

Devido aos movimentos durante a consolidação serem bastante lentos, pode-se negligenciar as forças de aceleração, e, portanto, usar as equações de equilíbrio.

A primeira hipótese fundamental do modelo de elasto-consolidação, consiste em escrever que o esqueleto sólido do solo, quando submetido ao acréscimo do tensor das tensões adicionais de escoamento aplicado sobre ele pela água, comporta-se como um meio contínuo, linearmente elástico e isotrópico.

Portanto, a forma vetorial compacta das equações de LA ME, aplicada nesse caso sobre o esqueleto sólido, sendo o mesmo, considerado como um meio contínuo, apresenta-se conforme mostra a equação 2.17.

$$(\lambda + \mu) \text{ grad } (\text{div } \vec{V}) + \mu \nabla^2 \vec{V} - \text{grad } q = \vec{0} \quad (2.17)$$

A segunda hipótese fundamental do modelo de elasto-consolidação, consiste em utilizar a equação de DARCY, para governar o escoamento da água dentro dos poros do solo para

os tempos  $t > 0$ .

$$\vec{W} = -k \overrightarrow{\text{grad}} (\Delta h) = -\frac{k}{\gamma_w} \overrightarrow{\text{grad}} q \quad (2.18)$$

onde  $\vec{W}$  é o vetor velocidade de filtração.

A última equação fundamental usada nesse modelo, é a equação de continuidade. Na sua forma geral, a equação de continuidade descreve uma conservação da massa tanto flúida quanto dos grãos. Quando aplicada junto a hipótese de incompressibilidade da água e dos grãos, essa equação traduz uma conservação de volume, ou seja, no caso analisado, tem-se que a variação de volume do esqueleto sólido, é igual ao volume de água que sai dos poros do solo, durante um intervalo de tempo  $dt$ . Essa igualdade é traduzida pela equação 2.19.

$$\frac{\partial J_1}{\partial t} + \text{div } \vec{W} = 0 \quad (2.19)$$

onde  $J_1 = \text{div } \vec{V}$  é o primeiro invariante do tensor das deformações, e mede a variação de volume do esqueleto sólido.

$\frac{\partial J_1}{\partial t}$  representa a variação de volume do esqueleto sólido, durante o intervalo de tempo  $dt$ .

$\text{div } \vec{W}$  representa o volume de água que sai do esqueleto sólido, durante o intervalo de tempo  $dt$ .

Substituindo a equação 2.18 em 2.19 temos:

$$\frac{\partial J_1}{\partial t} = \frac{k}{\gamma W} \operatorname{div} (\overrightarrow{\operatorname{grad} q})$$

$$\frac{\partial J_1}{\partial t} = \frac{k}{\gamma W} \nabla^2 q \quad (2.20)$$

onde  $\nabla^2 q$  é o laplaciano escalar da função  $(q)$ .

A equação 2.17, é equivalente ao sistema das três equações seguintes:

$$(\lambda + \mu) \frac{\partial J_1}{\partial t} + \mu \nabla^2 u - \frac{\partial q}{\partial x} = 0 \quad (2.21)$$

$$(\lambda + \mu) \frac{\partial J_1}{\partial t} + \mu \nabla^2 v - \frac{\partial q}{\partial y} = 0 \quad (2.22)$$

$$(\lambda + \mu) \frac{\partial J_1}{\partial t} + \mu \nabla^2 w - \frac{\partial q}{\partial z} = 0 \quad (2.23)$$

O conjunto das equações 2.20; 2.21; 2.22 e 2.23 é o conjunto das quatro equações de derivadas parciais fundamentais do modelo de elasto-consolidação que deve verificar as quatro funções incógnitas independentes  $u(x, y, z, t)$ ,  $v(x, y, z, t)$ ,  $w(x, y, z, t)$  e  $q(x, y, z, t)$ .

Derivando-se a equação 2.21 com relação a  $x$ , 2.22 com relação a  $y$ , 2.23 com relação a  $z$  e somando-se as três equações, temos:

$$(\lambda + 2\mu) \nabla^2 J_1 = \nabla^2 q \quad (2.24)$$



Substituindo a expressão de  $v^2 q$  obtida em 2.24 na equação 2.20, obtem-se :

$$\frac{\partial J_1}{\partial t} = c \nabla^2 J_1 \quad (2.25)$$

onde  $c = \frac{k}{\gamma_w} (\lambda + 2\mu)$  é o coeficiente de consolidação da teoria de BIOT (1941) e MANDEL (1957).

## 2.5 - CONDIÇÕES FRONTEIRAS ENCONTRADAS NOS PROBLEMAS DE ELASTO-CONSOLIDAÇÃO.

Seja  $S$ , a fronteira do maciço de solo, onde ocorre o fenômeno de consolidação.

Sempre  $S$  é decomposto em duas subpartes complementares  $S = S_d \cup S_t$ , sendo  $S_d$  a parte da fronteira onde as componentes do vetor deslocamento são conhecidas (condições de deslocamento), enquanto  $S_t$  é a parte da fronteira, onde as componentes do vetor tensão total são conhecidas (condições de carregamento).

Sobre  $S_d$  temos:  $\vec{V} = \bar{V}$  (vetor deslocamento, conhecido sobre a parte da fronteira  $S_d$ ).

Sobre  $S_t$  temos:  $[S] \{\vec{n}\} = \bar{T}$  (vetor tensão, conhecido sobre a parte da fronteira  $S_t$ ).

De uma maneira análoga,  $S$  é decomposta em duas outras subpartes complementares  $S = S_p \cup S_Q$ , sendo  $S_p$  a parte da fronteira, onde o valor da pressão intersticial é conhecida (condições de pressão), enquanto  $S_Q$  é a parte da fronteira, onde o valor da vazão é conhecida (condições de vazão).

Sobre  $S_p$  temos:  $q = \bar{q}$  (pressão do fluido, conhecido sobre a parte da fronteira  $S_p$ )

Sobre  $S_Q$  temos:  $\vec{W} \cdot \vec{n} = Q$ , onde  $\vec{W}$  é o vetor velocidade de filtração e  $\vec{n}$  é o vetor exterior normal à fronteira  $S_Q$ .

## 2.6 - HIPÓTESE SUPLEMENTAR DE RENDULIC

### 2.6.1 - Generalidades

A equação 2.25, é a equação de difusão de FOURIER, a qual fica obedecendo à temperatura dentro de um meio condutor, onde o calor se difusa.

Portanto, apesar dessa semelhança entre as equações de derivadas parciais envolvidas nos dois fenômenos, o problema da consolidação e o problema da difusão do calor são bastante diferentes no caso geral. No caso do escoamento do calor, a função  $J_1$  é substituída pela função  $T$  (temperatura), sendo que sempre todas as condições fronteiras e iniciais, são impostas somente sobre a função  $T$  ou as suas derivadas parciais.

No caso geral do fenômeno da consolidação, a função  $J_1$  continua verificando a equação de FOURIER, mas geralmente, as condições fronteiras não estão expressas somente a partir da função  $J_1$ . Pelo contrário, elas são expressas, quer em função do vetor deslocamento (condições de deslocamentos), quer em função do vetor tensão (condições de carregamento), quer em função da variável pressão (condições de pressão), quer em função da vazão (condições de vazão), sendo cada uma dessas condições impostas em partes da fronteira  $S$ .

As condições iniciais são sempre as mesmas, ou seja,  $J_1(x, y, z, t) = 0$ , traduzindo a incompressibilidade da água.

As quatro equações 2.20; 2.21; 2.22 e 2.23, são usadas para determinar as quatro funções incógnitas  $u, v, w$  e  $q$ , das quatro variáveis  $x, y, z$  e  $t$ , quando são dadas as condições fronteiras do problema.

Um problema onde as condições fronteiras são dependentes de outras funções além da função  $J_1$ , é chamado um problema "inter-dependente" ou também "acoplado", no caso contrário, o problema é considerado "independente" ou "desacoplado".

#### 2.6.2 - Hipótese simplificada de RENDULIC

Em seguida, será mostrado um caso onde a teoria "inter-dependente, torna-se uma teoria "independente", mediante uma hipótese suplementar.

Seja  $I_1'$  e  $I_1$ , os primeiros invariantes respectivamente dos tensores das tensões efetivas e totais, temos:

$$I_1' = 3K J_1 \quad (2.26)$$

$$I_1 = I_1' - 3q \quad (2.27)$$

onde, o sinal negativo na equação 2.27, significa que as pressões são consideradas positivas em tração para concordar com a convenção dos sinais para as tensões (ver DESAI e CHRISTIAN, 1977) e  $K$  na equação 2.26 é chamado módulo de compressão (bulk modulus).

Substituindo a equação 2.26 na 2.27 temos:

$$J_1 = \frac{1}{3K} (I_1 + 3q) \quad (2.28)$$

Derivando a equação 2.28 com relação ao tempo, obtém-se:

$$\frac{\partial J_1}{\partial t} = \frac{1}{3K} \left( \frac{\partial I_1}{\partial t} + 3 \frac{\partial q}{\partial t} \right) \quad (2.29)$$

Substituindo a equação 2.29 na 2.20 temos:

$$\frac{1}{3K} \left( \frac{\partial J_1}{\partial t} + 3 \frac{\partial q}{\partial t} \right) = \frac{k}{\gamma w} v^2 q$$

$$\frac{1}{K} \frac{\partial q}{\partial t} = \frac{k}{\gamma w} v^2 q - \frac{1}{3K} \frac{\partial I_1}{\partial t} \quad (2.30)$$

Aplicando na equação 2.30, a condição suplementar de RENDULIC, ou seja, que o primeiro invariante do tensor das

tensões totais, permanece constante no decorrer do tempo, não havendo desta forma, redistribuição das tensões totais durante o processo de consolidação, temos:  $\frac{\partial I_1}{\partial t} = 0$  o que leva à seguinte equação:

$$\frac{\partial q}{\partial t} = \frac{K k}{\gamma w} \nabla^2 q \quad (2.31)$$

Essa equação 2.31, é agora a equação de FOURIER para a função acréscimo de pressão intersticial ( $q$ ). Como as condições fronteiras são sempre conhecidas para a função ( $q$ ) e somente dependem da função ( $q$ ) (condições de DIRICHLET = conhecimento do valor da função ( $q$ ) numa parte da fronteira) ou das suas derivadas direcionais (condições de NEUMANN = conhecimento da vazão numa parte da fronteira), pode-se agora integrar num primeiro tempo essa equação de FOURIER, a partir das únicas condições fronteiras e iniciais em ( $q$ ), que são:

$$q(x, y, z, 0) = \frac{I_1(x, y, z, 0)}{3} \quad (2.32)$$

Nesse caso, o problema da dissipação das pressões intersticiais e o problema de deformação elástica do esqueleto sólido se desacoplam (uncouple) (ver DESAI e CHRISTIAN, 1977), e podem ser tratados isoladamente um após o outro e não ao mesmo tempo, tornando-se assim, um problema mais simples no ponto de vista da solução numérica. Nesse caso, uma vez que a solução  $q(x, y, z, t)$  fica conhecida, a sua

expressão é usada dentro das equações de LAMÉ para calcular as componentes do vetor força de volume e então, passa-se a resolver para cada tempo  $t$ , ( $t > 0$ ) um problema puramente de elasticidade linear.

### 2.6.3 - Caso particular de aplicação da hipótese de RENDULIC.

Um exemplo muito conhecido onde o desacoplamento do problema de elasto-consolidação ocorre, é o da teoria de consolidação unidimensional de TERZAGHI, usada durante o ensaio de adensamento convencional.

Nesse caso, a única componente do vetor deslocamento não nula é a componente vertical ( $w$ ) que é somente dependente da cota vertical  $z$  e do tempo,  $w(z, t)$ .

Isso significa que as componentes de cisalhamento do tensor das deformações são nulas e que as equações 2.1, em termo de tensões efetivas se escrevem:

$$\begin{aligned} \sigma'_x &= \lambda \epsilon_z & \tau_{xy} &= 0 \\ \sigma'_y &= \lambda \epsilon_z & \tau_{xz} &= 0 \\ \sigma'_z &= (\lambda + \mu) \epsilon_z & \tau_{yz} &= 0 \end{aligned} \quad (2.33)$$

temos também,  $J_1 = \epsilon_z$ , visto que  $\epsilon_x = \epsilon_y = 0$

Usando as componentes do tensor das tensões totais junto com a mesma convenção dos sinais para a pressão intersticial, tem-se:

$$\begin{aligned}
 \sigma_x &= \lambda \epsilon_z - q \\
 \sigma_y &= \lambda \epsilon_z - q \\
 \sigma_z &= (\lambda + 2\mu) \epsilon_z - q = (\lambda + 2\mu) J_1 - q
 \end{aligned}
 \tag{2.34}$$

donde:

$$\begin{aligned}
 I_1 &= (3\lambda + 2\mu) J_1 - 3q \\
 e \quad I_1' &= (3\lambda + 2\mu) J_1
 \end{aligned}
 \tag{2.35}$$

Considera-se agora um ensaio de adensamento convencional.

Desprezando o atrito lateral entre a amostra e o anel externo do aparelho de adensamento (oedômetro), o equilíbrio de uma fatia horizontal de solo requer que a toda hora durante o processo de consolidação a tensão total normal vertical ( $\sigma_z$ ) seja igual a carga aplicada na superfície da amostra. Como durante um ensaio de adensamento convencional, as cargas são aplicadas e permanecem constantes durante o processo de consolidação, tem-se que  $\frac{\partial \sigma_z}{\partial t} = 0$  durante esse processo.

Essa condição junto à última equação 2.34 permite escrever que:

$$\frac{\partial J_1}{\partial t} = \frac{1}{\lambda + 2\mu} \frac{\partial q}{\partial t}
 \tag{2.36}$$

Tomando-se a derivada parcial da primeira equação 2.35, temos:

$$\frac{\partial I_1}{\partial t} = (3\lambda + 2\mu) \frac{\partial J_1}{\partial t} - 3 \frac{\partial q}{\partial t} \quad (2.37)$$

Substituindo a equação 2.36 na 2.37, temos:

$$\frac{\partial I_1}{\partial t} = - \frac{4\mu}{\lambda+2\mu} \frac{\partial q}{\partial t} \quad (2.38)$$

Substituindo a equação 2.38 na 2.30, temos:

$$\frac{\partial q}{\partial t} = C_v \nabla^2 q \quad (2.39)$$

onde,  $C_v = \frac{k}{\gamma w} (\lambda+2\mu) = \frac{k E (1 - \nu)}{\gamma w (1+\nu) (1-2\nu)}$  é o mesmo coefi

ciente de consolidação unidimensional, que o coeficiente achado por (J. T. CHRISTIAN e J. W. BOEHMER, 1970).

Como nesse caso,  $\epsilon_y = \epsilon_x = 0$  e  $\mu = \frac{\epsilon_x}{\epsilon_z}$ , o valor de  $\mu = 0$ , deve ser usado para o cálculo de  $C_v$  e  $C_v = \frac{k}{\gamma w} E$  é então o coeficiente de consolidação da teoria da elasto-consolidação unidimensional.

É fácil verificar que o conhecimento das condições fronteiras para a função  $q(z, t)$ , permite a sua completa determinação antes do cálculo da função  $w(z, t)$ . É esta seqüência de cálculos ( $w(z, t)$  depois de  $q(z, t)$ ) que está sempre seguida por todos os autores que apresentam as so



luções da teoria de TERZAGHI. Esse caminho, é possível, em virtude do desacoplamento encontrado no tratamento dessa teoria.

## 2.7 - FORMULAÇÃO VARIACIONAL DO PROBLEMA DE ELASTO-CONSOLIDAÇÃO TRIDIMENSIONAL.

GURTIN (1964), mostrou que o problema anterior da determinação das quatro funções  $u(x, y, z, t)$ ,  $v(x, y, z, t)$ ,  $w(x, y, z, t)$  e  $q(x, y, z, t)$  verificando as condições fronteiras que foram descritas em 2.5 é matematicamente equivalente ao problema da determinação das quatro funções  $u(x, y, z, t)$ ,  $v(x, y, z, t)$ ,  $w(x, y, z, t)$  e  $q(x, y, z, t)$  que substituídas na funcional 2.40, tornam o valor dessa funcional mínimo. (ver DESAI e CHRISTIAN, 1977).

$$\begin{aligned} \mathcal{N}(u, v, w, q) = & \int_R \left[ \frac{1}{2} S'_{ij} * \epsilon_{ij} - \rho F_i * u_i + q * u_{i,i} - \frac{1}{2} g * q'_{i,i} * \right. \\ & \left. (q'_{i,i} + \rho w F_i) \right] dv - \int_{S_t} (\bar{T}_i * u_i) ds + \\ & + \int_{S_Q} (q * \bar{Q} * q) ds \end{aligned} \quad (2.40)$$

Nessa funcional, as notações tensoriais estão sendo usadas junto com as convenções de somatório de EINSTEIN, onde:

$S'_{ij}$  são as componentes do tensor das tensões efetivas Ex:  $(S'_{11} = \sigma'_{xx}, S'_{12} = \tau_{xy})$

$\epsilon_{ij}$  são as componentes do tensor das deformações

Ex: ( $\epsilon_{11} = \epsilon_x$  ,  $\epsilon_{12} = \epsilon_{xy}$ )

$u_i$  são as componentes do vetor deslocamento  $\vec{V}$  ( $u_1 = u$  ,  
 $u_2 = v$  e  $u_3 = w$ ).

$\rho$  é a massa específica do solo

$\rho_w$  é a massa específica da água

$F_i$  são as componentes do vetor força de volume, usualmente gravidade

$q$  é a pressão intersticial

$g=1$  é a função unidade

$q'_i$  são as componentes do vetor velocidade relativa da água,  $q'_i = k'_{ij} (\rho_{ij} + \rho_w F_i)$ , onde  $k'_{ij}$  são as componentes do tensor de permeabilidade.

$T_i$  são as componentes do vetor tensão especificadas sobre a fronteira  $S_t$ .

$Q$  é o valor da vazão especificada sobre a fronteira  $S_Q$ .

$$e \text{ e } u_{i,i} = \frac{\partial u_1}{\partial x_1} + \frac{\partial u_2}{\partial x_2} + \frac{\partial u_3}{\partial x_3} = \text{div } \vec{V}$$

O símbolo (\*) aparecendo na funcional 2.40, significa o produto de convolução, sendo o mesmo dado pela expressão 2.41.

$$A * B = \int_0^t A(t) B(t-\tau) d\tau \quad (2.41)$$

As integrais que aparecem na funcional 2.40, são integrais de volumes (quando calculadas sobre a região do espaço R) ou de superfícies (quando calculadas sobre as fronteiras

$S_t$  e  $S_Q$ ).

No caso do problema ser bidimensional ( $w=0$ ), a funcional 2.40 é reduzida na seguinte expressão:

$$\begin{aligned}
 J(u,v,q) = \int_S & \left[ \frac{1}{2} (\sigma_x * \epsilon_x + \sigma_y * \epsilon_y + \tau_{xy} * \epsilon_{xy}) - \rho F_x * u - \rho F_y * \right. \\
 v + q * & \left( \frac{\partial u}{\partial x} + \frac{\partial v}{\partial y} \right) - \frac{1}{2} g * w'_x * \left( \frac{\partial q}{\partial x} + \rho w F_x \right) - \frac{1}{2} g * w'_y * \\
 & \left. \left( \frac{\partial q}{\partial y} + \rho w F_y \right) \right] ds - \quad (2.42) \\
 & - \int_{S_t} (T_x * u + T_y * v) ds + \int_{S_Q} (g * Q * q) ds
 \end{aligned}$$

onde,  $\vec{w}' = -\rho w \vec{W}$ , sendo  $\vec{W}$  o vetor velocidade de filtração, aparecendo em 2.4.

Agora, nesse caso, as integrais que aparecem na funcional 2.42, são integrais de superfícies (quando calculadas sobre a região do plano) ou de linhas (quando calculadas sobre as curvas fronteiras  $S_t$  e  $S_Q$ ).

Essa conversão do problema das equações de derivadas parciais 2.20; 2.21; 2.22 e 2.23, a serem resolvidas junto com as condições fronteiras vistas em 2.5, no problema da minimização da funcional 2.42, é o passo fundamental que permite a aproximação do problema pelo método numérico chamado método dos elementos finitos.

## CAPÍTULO 3

TRATAMENTO CONVENCIONAL DO PROBLEMA DE ELASTO-CONSOLIDAÇÃO BIDIMENSIONAL POR ELEMENTOS FINITOS E MODIFICAÇÕES TRAZIDAS NO PROGRAMA "SOL".

### 3.1 GENERALIDADES

Todos os programas de elementos finitos têm o objetivo de fabricar, dentro de uma região  $R$  do espaço ou do plano, uma solução aproximada da verdadeira solução de um sistema de equações de derivadas parciais, verificando as condições especificadas na fronteira  $S$  limitando àquela região  $R$ . No caso, onde existe um princípio variacional equivalente ao conjunto das equações de derivadas parciais junto com as condições fronteiras, o processo de fabricação da solução aproximada consiste em minimizar uma certa funcional, cujos argumentos são as funções incógnitas do sistema de equações de derivadas parciais.

O processo de construção da solução aproximada pelo método dos elementos finitos, consiste em abandonar o sistema de equações de derivadas parciais junto com as condições fronteiras e substituí-lo pelo princípio variacional, procurando fabricar uma solução que melhor minimiza a funcional relativa ao problema.

O roteiro seguido pelo programa "SOL" durante o algo

rítmo construtivo da solução aproximada de um problema de elasto-consolidação bidimensional, é semelhante ao roteiro de qualquer programa convencional trabalhando em elasto-consolidação usando um modelo dito "de deslocamento". Portanto, algumas modificações foram introduzidas nesse programa e merecem ser destacadas devido as suas originalidades.

O roteiro do programa "SOL" pode ser decomposto nas seguintes etapas:

1) discretização da região (R) onde ocorre o fenômeno, em sub-regiões, apresentando uma geometria simples (geralmente triângulos, no caso bidimensional); essas sub-regiões são chamadas de "elementos finitos";

2) escolha de um conjunto de nós dentro de cada elemento (esses nós ou pontos nodais são geralmente os vértices e/ou os meios dos lados) e numeração dos nós tanto dentro de cada elemento (numeração local) como também dentro da malha (numeração global);

3) escolha das funções de interpolação para cada função incôgnita  $u(x, y, z, t)$ ,  $v(x, y, z, t)$  e  $q(x, y, z, t)$  no caso de elasto-consolidação bidimensional, aproximando essas funções incôgnitas dentro do elemento. Escolha das funções de interpolação para as funções incôgnitas (componentes do vetor tensão  $T_x$  e  $T_y$  e vazão  $Q$ ), aproximando as condições fronteiras impostas ao longo de um lado situado sobre a fronteira  $S_t$  ou  $S_Q$ . Estas funções de interpolação usadas, são geralmente funções polinomiais do primeiro e segundas

grau;

4) cálculo da matriz de rigidez e do vetor segundo membro elementares para cada elemento finito;

5) discretização no tempo, efetuado durante o processo de consolidação e obtenção das condições iniciais correspondente ao tempo de aplicação do primeiro carregamento na fronteira  $S_t$ ;

6) condensação estática dos graus de liberdade de um elemento, quando os mesmos não são conectados com os graus de liberdade de elementos adjacentes;

7) imposição das relações entre as componentes do vetor deslocamento nos nós de GAUSS do elemento "SOL" (caso drenante e não drenado) e imposição da condição de incompressibilidade no centro do primeiro lado do elemento (caso não drenado);

8) imposição das condições fronteiras;

9) montagem das matrizes de rigidez elementares na matriz de rigidez global e montagem dos vetores segundo membro elementares no vetor segundo membro global;

10) resolução do sistema linear global, fornecendo as componentes do vetor deslocamento em todos os nós da malha referentes aos deslocamentos, como também, as pressões nos nós referentes a mesma;

11) cálculo das grandezas secundárias, dentro de cada elemento. Essas grandezas secundárias são geralmente as componentes dos tensores das tensões totais e efetivas, assim

como, os valores e as direções das tensões principais.

A finalidade deste capítulo, é a de fornecer todas as explicações teóricas, para uma perfeita compreensão dos cálculos, sendo efetuados durante cada etapa descrita anteriormente.

### 3.2 - DISCRETIZAÇÃO DA REGIÃO (R) EM ELEMENTOS FINITOS TRIANGULARES.

O programa "SOL" utiliza elementos triangulares, como a maioria dos programas de elasto-consolidação bidimensional.

O número de elementos de uma malha é somente função da precisão requerida (maior número de elementos = melhor precisão) e do custo operacional (maior número de elementos = maior custo operacional).

Em regiões com altos gradientes de tensões ou de pressões, deve-se colocar elementos menores, a fim de se obter uma melhor precisão.

### 3.3 - ESCOLHA DAS POSIÇÕES DOS PONTOS NODAIS.

Os programas de elasto-consolidação convencionais, usam elementos triangulares com os seguintes pontos nodais (ver fig. 3.1):

1) Vértices do triângulo e meios dos lados para cada função componente do vetor deslocamento (u, v) (6 pontos nodais).

2) Meios dos lados para a função pressão intersticial (q) (3 pontos nodais).

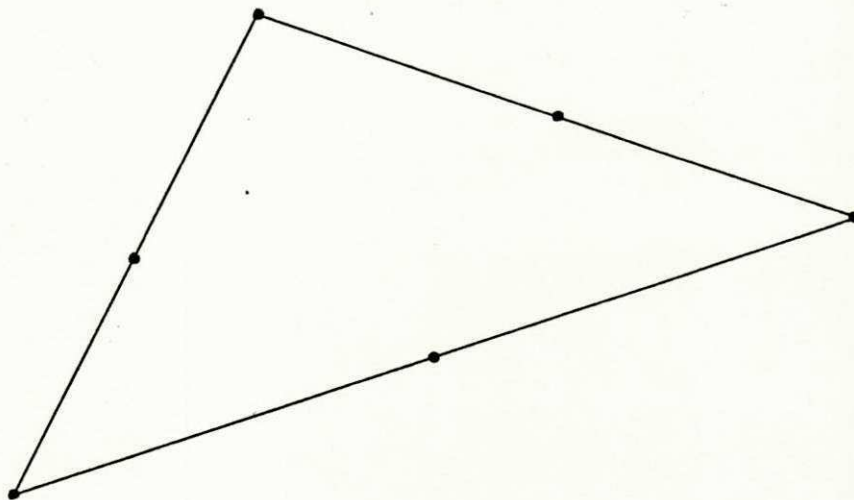


Figura 3.1 - Posição dos nós no elemento convencional

O programa "SOL" têm a originalidade de utilizar elementos triangulares com outros pontos nodais (ver fig. 3.2).

1) 2 - pontos de GAUSS sobre cada lado do triângulo e um nó interno no seu centro de gravidade para cada função componente do vetor deslocamento (u, v) (7 pontos nodais).

2) Meios dos lados para a função pressão intersticial (q) (3 pontos nodais).

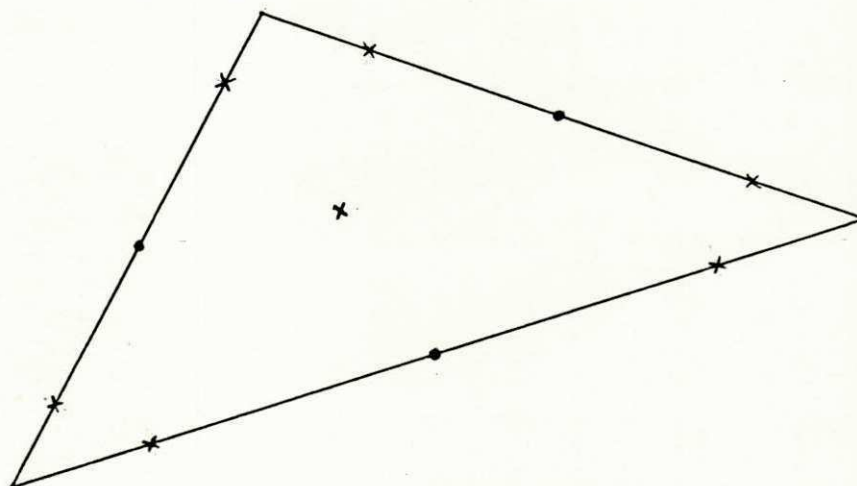


Figura 3.2 - Posição dos nós no elemento "SOL" (não convencional).



O posicionamento dos pontos de GAUSS sobre cada lado será explicado posteriormente.

3.4 - Escolha das funções de interpolação dentro de um elemento. Uso das coordenadas baricêntricas.

3.4.1- Sistema de coordenadas baricêntricas ou naturais dentro de um triângulo.

A propriedade fundamental das coordenadas baricêntricas é de mapear bijetivamente pelas equações 3.3 e 3.4 qualquer triângulo ABC do plano  $R^2$  num único triângulo fixo  $A' B' C'$  aparecendo no plano  $R^3$ , cuja equação é  $L_1 + L_2 + L_3 = 1$ . (ver figs. 3.3a e 3.3b).

Seja um triângulo ABC num sistema de coordenadas  $x - y$ . (ver fig. 3.3a).

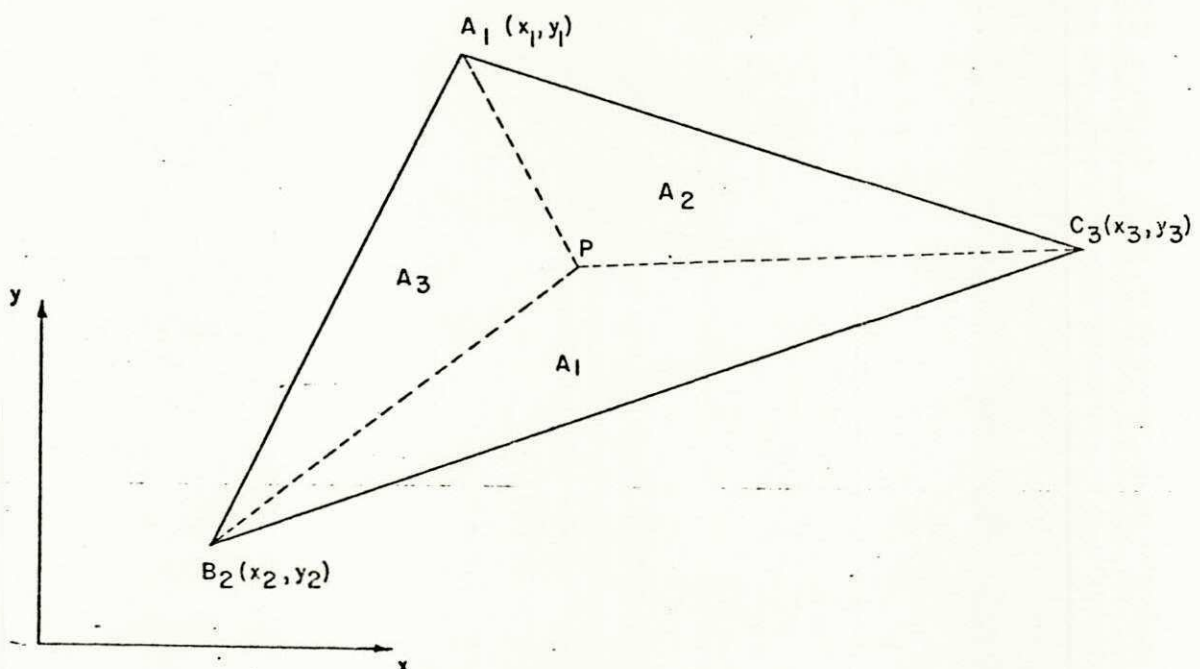


Figura 3.3a - Triângulo no plano  $R^2$

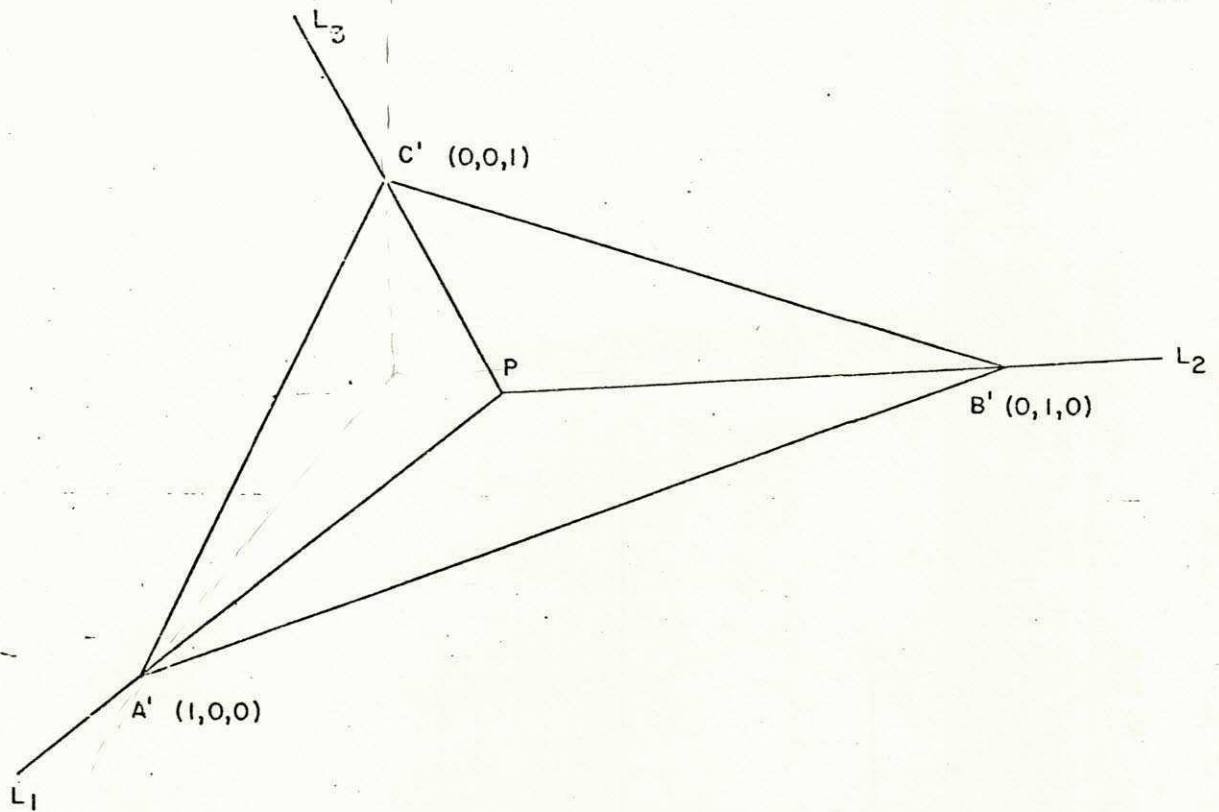


Figura 3.3b - Triângulo fixo de  $R^3$

A cada ponto do triângulo, corresponde duas coordenadas cartesianas  $x$  e  $y$ , assim como três números fabricados da seguinte maneira:

$$L_1 = \frac{A_1}{A} \quad , \quad L_2 = \frac{A_2}{A} \quad , \quad L_3 = \frac{A_3}{A} \quad (3.1)$$

Onde:

$A$  - é a área do triângulo  $ABC$

$A_1$  - é a área do triângulo  $PBC$

$A_2$  - é a área do triângulo  $PCA$

$A_3$  - é a área do triângulo  $PAC$

É evidente que os três números  $L_1$ ,  $L_2$  e  $L_3$ , verificam a seguinte relação:

$$L_1 + L_2 + L_3 = 1 \quad (3.2)$$

Reciprocamente, para cada escolha de três números positivos ou nulos  $L_1, L_2, L_3$ , tal que a equação 3.2 seja verificada, corresponde um único ponto  $P$  dentro do triângulo ou sobre os lados, tal que, a relação 3.1 seja verificada.

Isso significa, que esses três números  $L_1, L_2, L_3$  verificando a equação 3.2, podem ser usados como outras coordenadas de um ponto do triângulo  $ABC$ . Existem relações biunívocas entre as coordenadas cartesianas e essas novas coordenadas chamadas coordenadas baricêntricas.

De fato, um cálculo simples mostra a seguinte relação entre o sistema de coordenadas cartesianas e o sistema de coordenadas baricêntricas:

$$\begin{Bmatrix} 1 \\ x \\ y \end{Bmatrix} = \begin{bmatrix} 1 & 1 & 1 \\ x_1 & x_2 & x_3 \\ y_1 & y_2 & y_3 \end{bmatrix} \begin{Bmatrix} L_1 \\ L_2 \\ L_3 \end{Bmatrix} \quad (3.3)$$

A relação inversa do sistema de equações 3.3 é dada por:

$$\begin{Bmatrix} L_1 \\ L_2 \\ L_3 \end{Bmatrix} = \frac{1}{2A} \begin{bmatrix} 2A_{23} & b_1 & a_1 \\ 2A_{31} & b_2 & a_2 \\ 2A_{12} & b_3 & a_3 \end{bmatrix} \begin{Bmatrix} 1 \\ x \\ y \end{Bmatrix} \quad (3.4)$$

Onde as quantidades  $a_i, b_j$  aparecem na fig. (3.4a) com as suas definições, e onde  $A_{ij}$  é a área do triângulo tendo co

mo lados o lado (i j) do triângulo ABC e como terceiro vértice a origem do sistema das coordenadas cartesianas (ver fig. 3.4b).

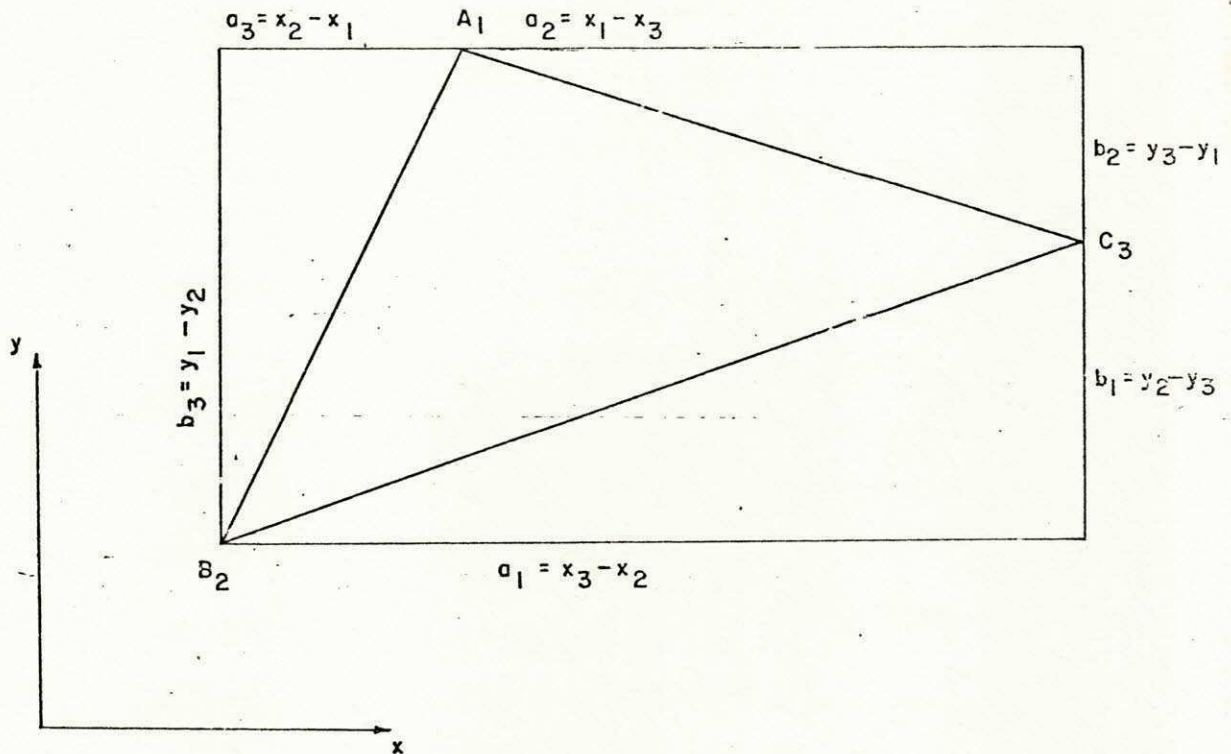


Figura 3.4a - Definição dos  $a_i, b_j$

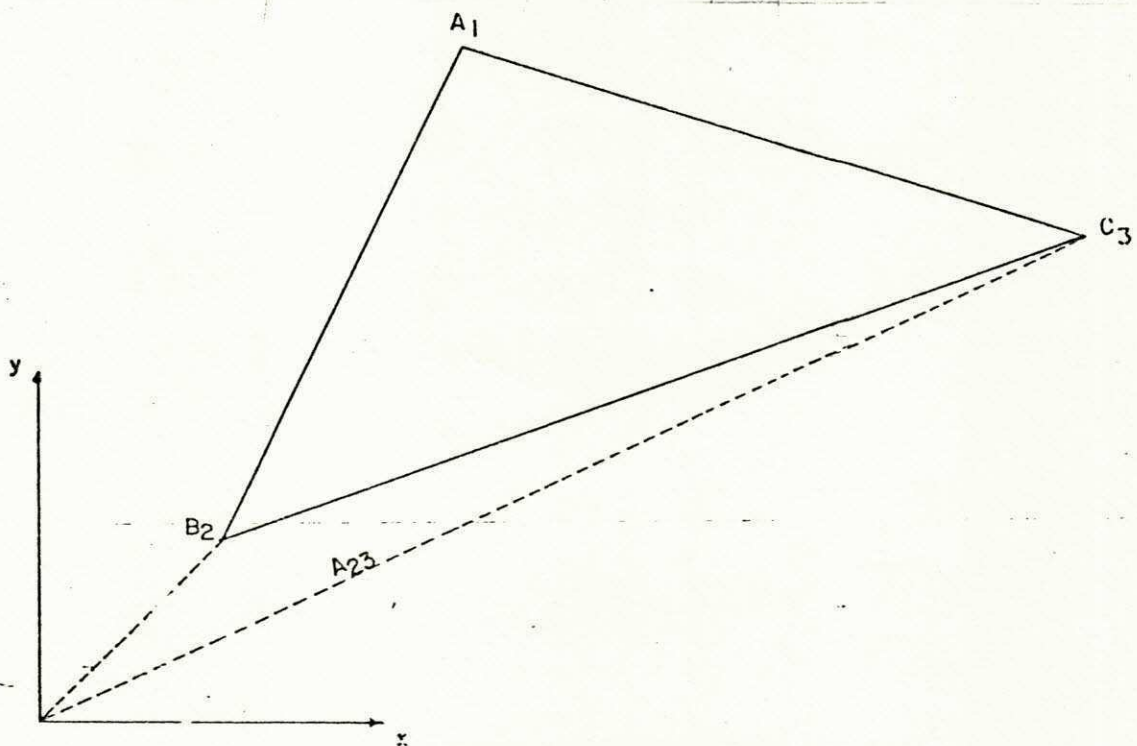


Figura 3.4b - Definição dos  $A_{ij}$

Como serão usados mais tarde, durante o cálculo das deformações os operadores  $\frac{\partial}{\partial x}$ ,  $\frac{\partial}{\partial y}$ , pode-se deduzir agora as seguintes fórmulas de diferenciação usando 3.4.

$$\frac{\partial}{\partial x} = \sum_{i=1}^3 \frac{\partial L_i}{\partial x} \cdot \frac{\partial}{\partial L_i} = \sum_{i=1}^3 \frac{b_i}{2A} \frac{\partial}{\partial L_i} \quad (3.5)$$

$$\frac{\partial}{\partial y} = \sum_{i=1}^3 \frac{\partial L_i}{\partial y} \cdot \frac{\partial}{\partial L_i} = \sum_{i=1}^3 \frac{a_i}{2A} \frac{\partial}{\partial L_i}$$

Ainda que esta formulação possa parecer complicada, uma das suas principais vantagens é a facilidade com que os termos polinomiais podem ser integrados analiticamente sobre um triângulo, usando a seguinte fórmula de integração:

$$\int_A L_1^{(p)} L_2^{(q)} L_3^{(r)} dA = \frac{p! q! r!}{(p+q+r+2)!} 2A \quad (3.6)$$

### 3.4.2 - Função de interpolação do elemento triangular convencional.

#### 3.4.2.1- Funções de interpolação dentro do elemento.

As funções de interpolação para as componentes do vetor deslocamento sobre cada triângulo, são polinômios do segundo grau nas variáveis  $x$  e  $y$ . Essa escolha das funções de interpolação junto com a escolha dos nós dentro do triângulo, assegura a  $C^0$  continuidade das funções  $u$  e  $v$  ao longo dos lados da malha.

Isso resulta do fato que, basta conhecer os valores

de um polinômio do segundo grau em três pontos distintos de um segmento (lado do triângulo) para que este polinômio seja completamente determinado ao longo deste segmento. Por isso, o elemento convencional é também chamado de elemento conforme, pois respeita a continuidade entre os elementos.

A função de interpolação para a variável pressão intersticial ( $q$ ) sobre cada triângulo, é um polinômio do primeiro grau nas variáveis  $x$  e  $y$ .

Usando a base canônica dos polinômios do segundo grau nas variáveis  $x$  e  $y$ , a função  $u$ , por exemplo, pode ser escrita:

$$u(x,y,t) = a(t) + b(t)x + c(t)y + d(t)x^2 + e(t)xy + f(t)y^2 =$$

$$(1, x, y, x^2, xy, y^2) \begin{pmatrix} a(t) \\ b(t) \\ \cdot \\ \cdot \\ \cdot \\ f(t) \end{pmatrix} \quad (3.7)$$

O uso dessa base, portanto, têm o inconveniente dos coeficientes  $a(t)$ , ...,  $f(t)$  não representarem grandezas físicas simples.

Por consequência, usa-se uma outra base utilizando agora as coordenadas baricêntricas. Essa base é dada por:

$$\begin{aligned}
 N_1 &= L_1 (2L_1 - 1) & N_4 &= 4 L_1 L_2 \\
 N_2 &= L_2 (2 L_2 - 1) & N_5 &= 4 L_2 L_3 \\
 N_3 &= L_3 (2 L_3 - 1) & N_6 &= 4 L_1 L_3
 \end{aligned} \tag{3.8}$$

De fato, usando agora essa base, as funções  $u$  e  $v$  podem ser expressas da seguinte forma:

$$\{u\} = \begin{bmatrix} N_1 & N_2 & N_3 & N_4 & N_5 & N_6 \end{bmatrix} \left\{ \begin{array}{c} u \text{ ①} \\ u \text{ ②} \\ u \text{ ③} \\ u \text{ ④} \\ u \text{ ⑤} \\ u \text{ ⑥} \end{array} \right\} \tag{3.9}$$

$$\{v\} = \begin{bmatrix} N_1 & N_2 & N_3 & N_4 & N_5 & N_6 \end{bmatrix} \left\{ \begin{array}{c} v \text{ ①} \\ v \text{ ②} \\ v \text{ ③} \\ v \text{ ④} \\ v \text{ ⑤} \\ v \text{ ⑥} \end{array} \right\} \tag{3.10}$$

Com essa formulação, as quantidades  $u \text{ ①}$ ,  $u \text{ ②} \dots u \text{ ⑥}$ , são exatamente os valores da função  $u$  nos seus nós respectivos (ver fig. 3.5), e são funções unicamente da variável

tempo.

Os seis valores  $u^{(1)}$ ,  $u^{(2)}$ , ...,  $u^{(6)}$  dos quais dependem unicamente o polinômio de interpolação dentro do elemento, são chamados também, os seis graus de liberdade do elemento para variável  $u$ . O mesmo está valendo para variável  $v$ .

Para função pressão intersticial é feita a mesma coisa, sendo dessa vez, usada a seguinte base de polinômios do primeiro grau:

$$P_4 = 1 - 2 L_3 \quad , \quad P_5 = 1 - 2 L_1 \quad , \quad P_6 = 1 - 2 L_2$$

$$\{q\} = [P_e] \quad \{p_e\} = [P_4 \quad P_5 \quad P_6] \begin{Bmatrix} q^{(4)} \\ q^{(5)} \\ q^{(6)} \end{Bmatrix} \quad (3.11)$$

onde  $q^{(4)}$ ,  $q^{(5)}$  e  $q^{(6)}$  são funções unicamente da variável tempo.

Combinando  $u$  e  $v$  num vetor coluna e intercalando as componentes do vetor deslocamento nos nós, (3.9) e (3.10), se escrevem num sistema único da seguinte maneira:

$$\begin{Bmatrix} u \\ v \end{Bmatrix} = \begin{bmatrix} N_1 & 0 & N_2 & 0 & N_3 & 0 & N_4 & 0 & N_5 & 0 & N_6 & 0 \\ 0 & N_1 & 0 & N_2 & 0 & N_3 & 0 & N_4 & 0 & N_5 & 0 & N_6 \end{bmatrix} \begin{Bmatrix} u^{(1)} \\ v^{(1)} \\ u^{(2)} \\ \vdots \\ \vdots \\ u^{(6)} \\ v^{(6)} \end{Bmatrix} \quad (3.12)$$

Com essa formulação, o elemento entra na categoria dos elementos isoparamétricos (ver C.A. BREBBIA e J. J. CONNOR ,



1974). Este nome, deve-se ao fato de poder representar a geometria do elemento em função das coordenadas dos seus pontos nodais, usando as mesmas funções de interpolação utilizadas para a definição das componentes do vetor deslocamento no interior do elemento.

De fato, pode verificar-se as seguintes relações para todos os pontos do triângulo:

$$\{x\} = \begin{bmatrix} N_1 & N_2 & \dots & N_6 \end{bmatrix} \begin{Bmatrix} x^{(1)} \\ x^{(2)} \\ \vdots \\ x^{(6)} \end{Bmatrix} \quad \{y\} = \begin{bmatrix} N_1 & N_2 & \dots & N_6 \end{bmatrix} \begin{Bmatrix} y^{(1)} \\ y^{(2)} \\ \vdots \\ y^{(6)} \end{Bmatrix}$$

$$\{x\} = \begin{bmatrix} P_4 & P_5 & P_6 \end{bmatrix} \begin{Bmatrix} x^{(4)} \\ x^{(5)} \\ x^{(6)} \end{Bmatrix} \quad \{y\} = \begin{bmatrix} P_4 & P_5 & P_6 \end{bmatrix} \begin{Bmatrix} y^{(4)} \\ y^{(5)} \\ y^{(6)} \end{Bmatrix} \quad (3.13)$$

Para isso, pode-se verificar simplesmente, que cada função  $N_i$  toma o valor 1 no nó de número  $(i)$  e se torna nula nos outros nós.

Exemplo: Considerando o nó  $(1)$  da figura 3.6, tem-se:  $L_1=1$ ,  $L_2=0$ ,  $L_3=0$ , e  $N_1 = L_1 (2L_1 - 1) = 1$ ,  $N_2 = L_2 (2L_2 - 1) = 0$ ,  $N_3 = L_3 (2L_3 - 1) = 0$ ,  $N_4 = 4 L_1 L_2 = 0$ ,  $N_5 = 4 L_2 L_3 = 0$  e  $N_6 = 4 L_1 L_3 = 0$ , o mesmo ocorre com as funções  $P_j$ .

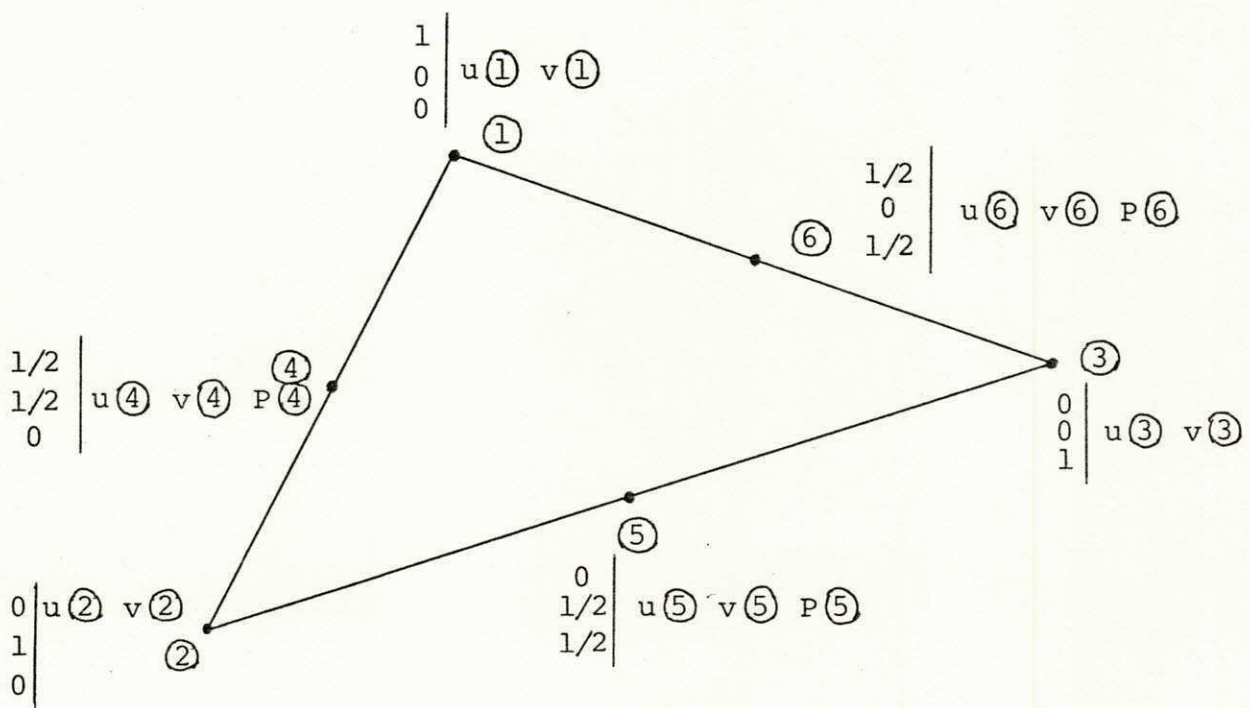


Figura 3.5 - Graus de liberdade do triângulo convencional (conforme).

3.4.2.2 - Funções de interpolação sobre as partes da fronteira  $S_t$  e  $S_Q$ .

Uma distribuição dos vetores tensões totais, cujas funções componentes são polinômios do segundo grau ao longo do lado ① - ② (ver fig. 3.6) de um elemento, pode obviamente ser escrita por analogia com as funções componentes do vetor deslocamento  $u$  e  $v$ , usando as mesmas funções de interpolação.

$$\begin{Bmatrix} T_x \\ T_y \end{Bmatrix} = [N_e] [T_{\ominus e}] = \begin{bmatrix} N_1 & N_2 & N_4 & 0 & 0 & 0 \\ 0 & 0 & 0 & N_1 & N_2 & N_4 \end{bmatrix} \begin{Bmatrix} T_x \textcircled{1} \\ T_x \textcircled{2} \\ T_x \textcircled{3} \\ T_y \textcircled{1} \\ T_y \textcircled{2} \\ T_y \textcircled{3} \end{Bmatrix} \quad (3.14)$$

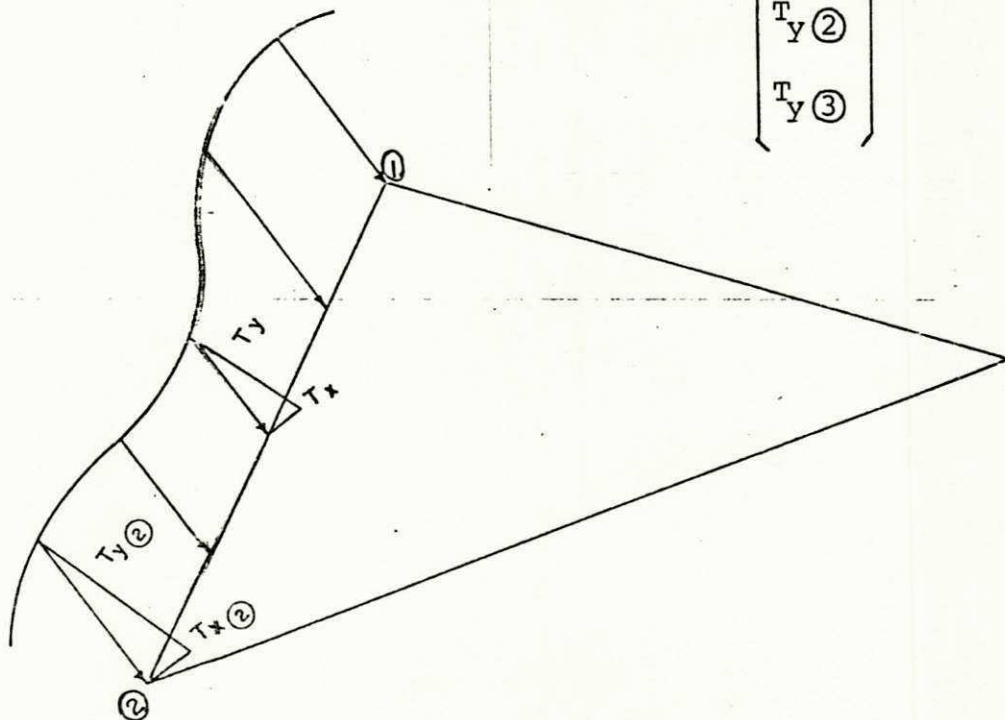


Figura 3.6 - Interpolação das componentes do vetor tensão total atuando ao longo do lado ① - ② sobre  $S_t$ .

onde  $T_x$  e  $T_y$  são as componentes do vetor tensão atuando ao longo do lado ① - ② sobre  $S_t$ .

Da mesma maneira do que foi feito para as componentes do vetor tensão, está válido para a função vazão ( $Q$ ) ao longo do lado de um elemento, quando este pertencer a parte da fronteira  $S_Q$ , sendo que neste caso as funções de interpolação  $P_4$ ,  $P_5$  e  $P_6$  são reutilizadas.

$$\{Q\} = [P_e] \{Q_e\} = [P_4 \ P_5 \ P_6] \begin{Bmatrix} Q_{④} \\ Q_{⑤} \\ Q_{⑥} \end{Bmatrix} \quad (3.15)$$

### 3.4.3--Funções de interpolação do elemento "SOL".

#### 3.4.3.1-Generalidades

O elemento triangular "SOL" usa também funções polinomiais do segundo grau como funções de interpolação dentro dos elementos.

Portanto, devido à posição dos nós e do número dos mesmos referentes aos deslocamentos serem diferentes da posição ocupada no elemento convencional, a formulação da função de interpolação em função dos seis valores nos pontos nodais é diferente.

De fato, o elemento possui sete pontos nodais para as funções componentes do vetor deslocamento ( $u$ ,  $v$ ) e três

nós para a função pressão intersticial ( $q$ ). Os três nós da função pressão intersticial permanecem os mesmos que no elemento convencional.

Portanto, a formulação da pressão intersticial fica inalterada.

$$\{q\} = \begin{bmatrix} P_4 & P_5 & P_6 \end{bmatrix} \begin{Bmatrix} q_{(4)} \\ q_{(5)} \\ q_{(6)} \end{Bmatrix} \quad (3.16)$$

Dos sete nós relativos às funções componentes do vetor deslocamento, seis são distribuídos dois a dois sobre cada lado do elemento, enquanto o sétimo ocupa a posição do centro de gravidade do triângulo (ver fig. 3.7).

Os dois pontos nodais aparecendo sobre cada lado, ocupam posições específicas sobre este lado. Eles são chamados pontos de GAUSS do lado. Na realidade, eles são as imagens dos 2 - pontos de GAUSS do segmento  $[-1, +1]$ , aparecendo na teoria de integração de GAUSS durante uma parametrização linear do lado, cujo parâmetro varia de  $-1$  a  $+1$ .

Por exemplo, analisando o lado (1) - (2) da figura 3.5, a parametrização será:  $L_1 = At + B$  onde  $A$  e  $B$  são determinados de maneira tal que quando  $t = -1$ ,  $L_1 = 1$  e quando  $t = +1$   $L_1 = 0$  .∴  $L_1 = -\frac{t}{2} + \frac{1}{2}$  .

Sabendo-se que os 2 - pontos de integração de GAUSS têm por abscissas  $-\frac{1}{\sqrt{3}}$  e  $\frac{1}{\sqrt{3}}$  (ver Abramowitz M. e Irene A. Stegun), as coordenadas baricêntricas dos pontos de GAUSS deste lado, são determinadas como sendo iguais a:

1º ponto de GAUSS  $t = -\frac{1}{\sqrt{3}}$ ,  $L_1 = 0,788675$ ,  $L_2 = 0,211325$  e  $L_3 = 0$

2º ponto de GAUSS  $t = \frac{1}{\sqrt{3}}$ ,  $L_1 = 0,211325$ ,  $L_2 = 0,788675$  e  $L_3 = 0$ ,

o mesmo é estabelecido para os dois outros lados (ver fig. 3.7).

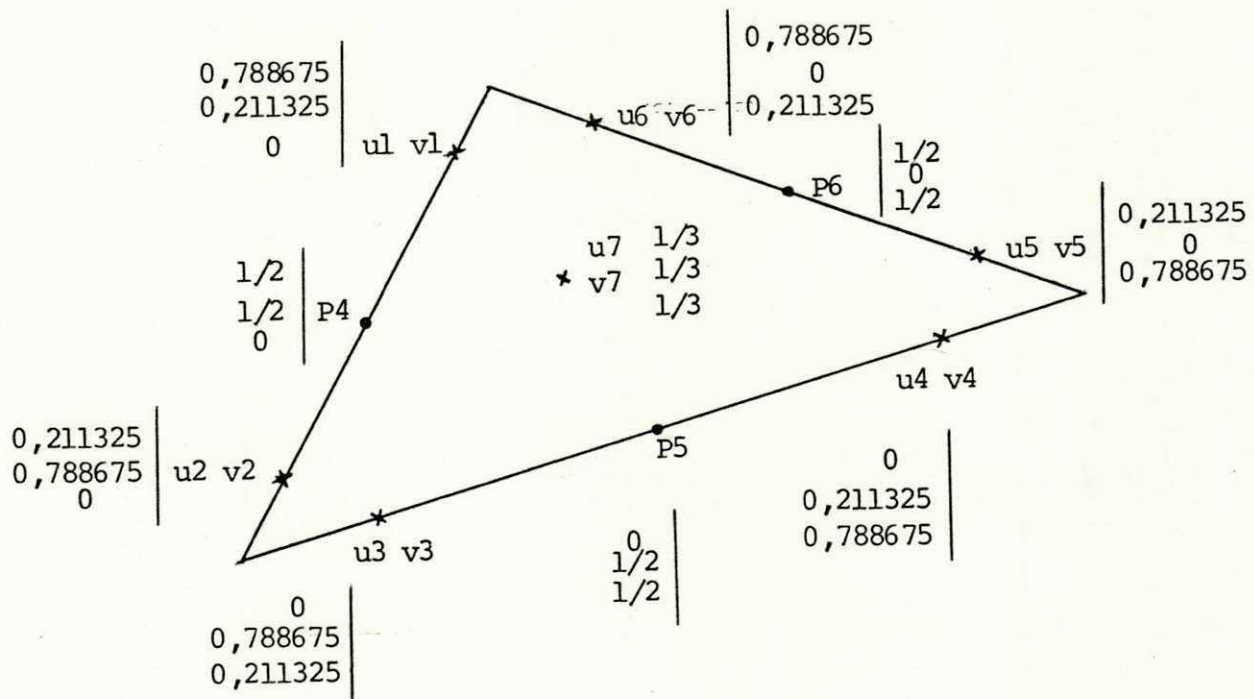


Figura 3.7 - Graus de liberdade do triângulo não convencional.

É fácil mostrar, apoiando-se na teoria de integração de GAUSS, que com essa boa escolha dos nós nos pontos de GAUSS, a  $L^1$  continuidade se conserva ao longo dos lados da malha, ou seja, que as integrais das funções componentes do vetor deslocamento ao longo de um lado independem do triângulo dentro do qual estão sendo calculadas.

De fato, a formulação de integração de GAUSS mostra que para uma função polinomial do segundo grau  $f(t)$ , temos:

$$\int_{-1}^1 f(t) dt = f\left(-\frac{1}{\sqrt{3}}\right) + f\left(\frac{1}{\sqrt{3}}\right) \quad (3.17)$$

Por consequência, duas funções polinomiais do segundo grau tomando os mesmos valores nos 2 - pontos de GAUSS de um lado, têm as mesmas integrais ao longo deste lado.

O elemento "SOL" não respeita a  $C^0$  continuidade ao longo dos lados, pelo fato de que os valores de uma função polinomial do segundo grau em dois pontos distintos de um segmento não serem suficientes para determinar completamente esta função.

Por esta razão, o elemento "SOL" é um elemento dito não conforme.

A grande vantagem da formulação do elemento "SOL", reside na facilidade de montagem das matrizes de rigidez ele

mentares dentro da matriz de rigidez global, pelo fato de que um nó ora pertence a um único elemento (quando o nó e o lado do elemento estão sobre a fronteira) ora a dois elementos (quando o nó estiver no interior da malha).

Essa situação não acontece geralmente usando o elemento convencional, pelo simples fato de que um vértice de um triângulo pode ser comum a um número variável de triângulos adjacentes.

Uma consequência importante deste fato, reside na diminuição da largura de banda da matriz de rigidez global, diminuindo conseqüentemente o tempo de execução do programa.

3.4.3.2-Relação entre os valores de uma função polinômial do segundo grau tomados nos seis pontos de GAUSS de um triângulo qualquer.

O cálculo dos valores de uma função polinômial qualquer nos seis pontos de GAUSS de um triângulo, pode ser efetuado usando a formulação 3.9.

Convenção: Os  $u_{(i)}$  escritos com um círculo significa um valor da componente horizontal do vetor deslocamento num nó do elemento conforme, enquanto  $u_i$  significa o valor da componente horizontal do vetor deslocamento num nó do elemento não conforme.

Para isso, são sucessivamente substituídos os valores das coordenadas baricêntricas dos diferentes pontos de



GAUSS. O seguinte sistema linear é obtido:

$$\begin{aligned}
 u_1 &= \frac{C1}{2} u(1) + \frac{C2}{2} u(2) + 0 u(3) + 2 C3 u(4) + 0 u(5) + 0 u(6) \\
 u_2 &= \frac{C2}{2} u(1) + \frac{C1}{2} u(2) + 0 u(3) + 2 C3 u(4) + 0 u(5) + 0 u(6) \\
 u_3 &= 0 u(1) + \frac{C1}{2} u(2) + \frac{C2}{2} u(3) + 0 u(4) + 2C3u(5) + 0 u(6) \\
 u_4 &= 0 u(1) + \frac{C2}{2} u(2) + \frac{C1}{2} u(3) + 0 u(4) + 2C3u(5) + 0 u(6) \\
 u_5 &= \frac{C2}{2} u(1) + 0 u(2) + \frac{C1}{2} u(3) + 0 u(4) + 0 u(5) + 2C3u(6) \\
 u_6 &= \frac{C1}{2} u(1) + 0 u(2) + \frac{C2}{2} u(3) + 0 u(4) + 0 u(5) + 2C3u(6)
 \end{aligned}
 \tag{3.18}$$

onde:  $C1 = 0,910683$  ,  $C2 = - 0,244017$  e  $C3 = 0,333333$

Exemplo:  $\frac{C1}{2} = 0,788675$  ( $2 \times 0,788675 - 1$ ) =  $0,4553415$

É óbvio que a partir dessas relações tenha-se:

$$u_1 - u_2 + u_3 - u_4 + u_5 - u_6 = 0 \tag{3.19}$$

A relação 3.19 mostra uma condição, devendo ser necessariamente verificada para que os valores  $u_1, u_2, \dots, u_6$ , possam ser os seis valores tomados por uma função polinômial do segundo grau nos seis pontos de GAUSS de um triângulo.

Da mesma maneira, ela mostra que o conhecimento dos valores de uma função polinômial nos seis pontos de GAUSS de um triângulo, não é suficiente para determinar completamente a função polinômial do segundo grau.

Para que a função polinômial seja completamente determinada dentro de um triângulo, deve ser conhecido além dos seis valores nos pontos de GAUSS, verificando 3.19 o valor do polinômio num outro ponto do triângulo.

O elemento "SOL" usa o valor no centro de gravidade do triângulo. Esta é a razão pela qual o elemento "SOL" possui sete pontos nodais para as funções componentes do vetor deslocamento.

A sétima equação, obtida usando as coordenadas bari-cêntricas do centro de gravidade do triângulo é dada por:

$$u_7 = \frac{C_3}{3} u_{(1)} + \frac{C_3}{3} u_{(2)} + \frac{C_3}{3} u_{(3)} + \frac{4}{3} C_3 u_{(4)} + \frac{4}{3} C_3 u_{(5)} + \frac{4}{3} C_3 u_{(6)} \quad (3.20)$$

- Relação entre os  $u_{(i)}$  e os  $u_i$

O sistema 3.18 junto com a equação 3.20 pode ser encarado como um sistema de sete equações lineares com seis incógnitas  $u_{(1)}, u_{(2)}, \dots, u_{(6)}$ . O posto deste sistema é exatamente seis, sendo as seis primeiras equações linearmente dependentes.

Para poder efetuar-se o cálculo dos  $u_{(i)}$  em função dos  $u_i$  é necessário que a condição 3.19 seja satisfeita.

Uma vez essa condição satisfeita, o sistema das sete equações pode ser resolvido, obtendo-se as seguintes relações entre os  $u_{(i)}$  e os  $u_i$ :

$$\begin{Bmatrix} u_{\textcircled{1}} \\ u_{\textcircled{2}} \\ u_{\textcircled{3}} \\ u_{\textcircled{4}} \\ u_{\textcircled{5}} \\ u_{\textcircled{6}} \end{Bmatrix} = \begin{bmatrix} 0.9106 & -0.2440 & 0.3333 & 0.3333 & -0.2440 & 0.9106 & -1.0000 \\ -0.2440 & 0.9106 & 0.9106 & -0.2440 & 0.3333 & 0.3333 & -1.0000 \\ 0.3333 & 0.3333 & -0.2440 & 0.9106 & 0.9106 & -0.2440 & -1.0000 \\ 0.5833 & 0.5833 & -0.3110 & -0.2233 & -0.2233 & -0.3110 & 0.5000 \\ -0.2233 & -0.3110 & 0.5833 & 0.5833 & -0.3110 & -0.2233 & 0.5000 \\ -0.3110 & -0.2233 & -0.2233 & -0.3110 & 0.5833 & 0.5833 & 0.5000 \end{bmatrix} \begin{Bmatrix} u_1 \\ u_2 \\ u_3 \\ u_4 \\ u_5 \\ u_6 \\ u_7 \end{Bmatrix} \quad (3.21)$$

onde a matriz (6 x 7) é a matriz  $[A]$  do programa "SOL".

3.4.3.3 - Fórmulas de interpolação dentro do elemento "SOL".

Substituindo o sistema 3.21 no sistema 3.9, temos a seguinte fórmula de interpolação para a função  $u$  do vetor deslocamento:

$$\{u\} = \begin{bmatrix} N1 & N2 & N3 & N4 & N5 & N6 \end{bmatrix} \begin{bmatrix} A \end{bmatrix} \begin{Bmatrix} u_1 \\ u_2 \\ \cdot \\ \cdot \\ u_6 \\ u_7 \end{Bmatrix} \quad (3.22)$$

O mesmo ocorre obviamente com a função  $v$  do vetor deslocamento.

$$\{v\} = \begin{bmatrix} N1 & N2 & N3 & N4 & N5 & N6 \end{bmatrix} \begin{bmatrix} A \end{bmatrix} \begin{Bmatrix} v_1 \\ v_2 \\ \cdot \\ \cdot \\ v_6 \\ v_7 \end{Bmatrix} \quad (3.23)$$

Combinando-se 3.16; 3.22 e 3.23, tem-se:





### 3.5 - CÁLCULO DA MATRIZ DE RIGIDEZ E DO VETOR SEGUNDO MEMBRO ELEMENTARES.

#### 3.5.1 - Generalidades

Nos dois casos estudados (elemento conforme e não conforme), a obtenção da matriz de rigidez e do vetor segundo membro elementares, requer que o tensor das deformações, o tensor das tensões e a deformação volumétrica sejam expressas em função dos valores dos deslocamentos nos pontos nodais dos elementos referentes aos deslocamentos.

O vetor velocidade relativa de filtração deve ser expresso em função dos valores da pressão intersticial nos nós referentes a mesma.

#### 3.5.2 - Expressão do tensor de deformação.

##### 3.5.2.1- Caso do elemento convencional (conforme).

As componentes do tensor das deformações  $\epsilon_x$ ,  $\epsilon_y$  e  $\epsilon_{xy}$ , podem ser obviamente obtidas a partir do sistema 3.12, tomando-se as respectivas derivadas parciais.

$$\{\epsilon\} = \begin{Bmatrix} \epsilon_x \\ \epsilon_y \\ \epsilon_{xy} \end{Bmatrix} = [B_e] \{\delta \otimes e\} \quad (3.27)$$

onde  $\epsilon_x = \frac{\partial u}{\partial x}$  ,  $\epsilon_y = \frac{\partial v}{\partial y}$  ,  $\epsilon_{xy} = \frac{\partial u}{\partial y} + \frac{\partial v}{\partial x}$  ,

$$[B_e] = \begin{bmatrix} \frac{\partial N_1}{\partial x} & 0 & \frac{\partial N_2}{\partial x} & 0 & \frac{\partial N_3}{\partial x} & 0 & \frac{\partial N_4}{\partial x} & 0 & \frac{\partial N_5}{\partial x} & 0 & \frac{\partial N_6}{\partial x} & 0 \\ 0 & \frac{\partial N_1}{\partial y} & 0 & \frac{\partial N_2}{\partial y} & 0 & \frac{\partial N_3}{\partial y} & 0 & \frac{\partial N_4}{\partial y} & 0 & \frac{\partial N_5}{\partial y} & 0 & \frac{\partial N_6}{\partial y} \\ \frac{\partial N_1}{\partial y} & \frac{\partial N_1}{\partial x} & \frac{\partial N_2}{\partial y} & \frac{\partial N_2}{\partial x} & \frac{\partial N_3}{\partial y} & \frac{\partial N_3}{\partial x} & \frac{\partial N_4}{\partial y} & \frac{\partial N_4}{\partial x} & \frac{\partial N_5}{\partial y} & \frac{\partial N_5}{\partial x} & \frac{\partial N_6}{\partial y} & \frac{\partial N_6}{\partial x} \end{bmatrix}$$

$$e \quad \{\delta \odot\} = \begin{pmatrix} u \textcircled{1} \\ v \textcircled{1} \\ u \textcircled{2} \\ v \textcircled{2} \\ \cdot \\ \cdot \\ \cdot \\ u \textcircled{6} \\ v \textcircled{6} \end{pmatrix}$$

### 3.5.2.2- Caso do elemento "SOL" (não conforme)

No caso do elemento não conforme, usando a relação 3.27 junto com as equações relativas às componentes do vetor deslocamento do sistema 3.26, obtém-se:

$$\{\epsilon\} = \begin{Bmatrix} \epsilon_x \\ \epsilon_y \\ \epsilon_{xy} \end{Bmatrix} = [B_e] [B'] \{\delta e\} \quad (3.28)$$



$$\text{onde } \{\delta e\} = \begin{Bmatrix} u_1 \\ v_1 \\ u_2 \\ v_2 \\ \vdots \\ \vdots \\ \vdots \\ \vdots \\ u_7 \\ v_7 \end{Bmatrix}$$

### 3.5.3 - Expressão do tensor das tensões

A partir da relação fundamental da elasticidade linear isotrópica em estado de deformação plana, tem-se que:  $\{S' - S'_0\} = [D] \{\epsilon\}$  onde  $[D]$  é a matriz de elasticidade do material constituindo o elemento.

Usando as componentes do tensor das tensões efetivas e do tensor das deformações, tem-se:

$$\begin{Bmatrix} \sigma'_x & - & \sigma'_{x0} \\ \sigma'_y & - & \sigma'_{y0} \\ \tau'_{xy} & - & \tau'_{xy0} \end{Bmatrix} = \begin{bmatrix} & & & \\ & & & \\ & & & \\ & & & \end{bmatrix} D \begin{Bmatrix} \epsilon_x \\ \epsilon_y \\ \epsilon_{xy} \end{Bmatrix} \quad (3.29)$$

$$\text{onde } D = \frac{E}{(1+\nu)(1-2\nu)} \begin{bmatrix} 1-\nu & \nu & 0 \\ \nu & 1-\nu & 0 \\ 0 & 0 & \frac{1-2\nu}{2} \end{bmatrix}$$

e  $E$ ,  $\nu$  são respectivamente o módulo de elasticidade do esqueleto sólido e seu coeficiente de Poisson.

Substituindo-se respectivamente a relação 3.27 em 3.29 no caso do elemento conforme e 3.28 em 3.29 no caso do elemento não conforme, obtém-se:

$$\begin{Bmatrix} \sigma'x & - & \sigma'xo \\ \sigma'y & - & \sigma'yo \\ \tau'xy & - & \tau'xyo \end{Bmatrix} = \begin{bmatrix} D \end{bmatrix} \begin{bmatrix} B_e \end{bmatrix} \left\{ \delta \odot e \right\} \quad (3.30)$$

$$e \begin{Bmatrix} \sigma'x & - & \sigma'xo \\ \sigma'y & - & \sigma'yo \\ \tau'xy & - & \tau'xyo \end{Bmatrix} = \begin{bmatrix} D \end{bmatrix} \begin{bmatrix} B_e \end{bmatrix} \begin{bmatrix} B' \end{bmatrix} \left\{ \delta e \right\} \quad (3.31)$$

#### 3.5.4 - Expressão da deformação volumétrica

A relação que permite calcular a deformação volumétrica ( $\epsilon_{vol}$ ) é dada por:  $\epsilon_{vol} = \text{div } \vec{V} = \epsilon_x + \epsilon_y = \frac{\partial u}{\partial x} + \frac{\partial v}{\partial y}$ , onde  $\vec{V}$  é o vetor deslocamento.

Usando novamente o sistema 3.27 e somando-se  $\epsilon_x$  com  $\epsilon_y$ , tem-se:

$$\epsilon_{vol} = \begin{bmatrix} B_{\Delta e} \end{bmatrix} \left\{ \delta \odot e \right\} \quad (3.32)$$

no caso do elemento conforme, onde:

$$\begin{bmatrix} B_{\Delta e} \end{bmatrix} = \begin{bmatrix} \frac{\partial N1}{\partial x} & \frac{\partial N1}{\partial y} & \frac{\partial N2}{\partial x} & \frac{\partial N2}{\partial y} & \frac{\partial N3}{\partial x} & \frac{\partial N3}{\partial y} & \frac{\partial N4}{\partial x} & \frac{\partial N4}{\partial y} & \frac{\partial N5}{\partial x} & \frac{\partial N5}{\partial y} & \frac{\partial N6}{\partial x} & \frac{\partial N6}{\partial y} \end{bmatrix}$$

Obviamente, no caso do elemento não conforme, tem-se:

$$\epsilon_{vol} = \begin{bmatrix} B\Delta_e \end{bmatrix} \begin{bmatrix} B' \end{bmatrix} \{\delta e\} \quad (3.33)$$

Os coeficientes de  $B_e$  e  $B\Delta_e$  são obtidos usando as relações de diferenciação obtidas em 3.5. Todas essas expressões estão deduzidas no Apêndice IV.

$$\text{Exemplo: } \frac{\partial N_1}{\partial x} = (4 L_1 - 1) \frac{b_1}{2A}$$

3.5.5 - Expressão do vetor velocidade relativa de filtração,  $\vec{W}' = -\rho_w \vec{W}$  (ver DESAI e CHRISTIAN, 1977).

O vetor velocidade relativa de filtração é dado por:

$$\left\{ W' \right\} = \left[ K' \right] \overrightarrow{\{\text{grad} (\rho_w \cdot h)\}} \quad (3.34)$$

onde  $h$  é a carga hidráulica ( $h = \frac{q}{\gamma_w} + y$ ),  $y$  é a cota vertical do ponto considerado e  $\left[ K' \right]$  é a matriz de permeabilidade.

$$\left\{ W' \right\} = \begin{Bmatrix} W'_x \\ W'_y \end{Bmatrix} = \begin{bmatrix} K_{xx} & K_{xy} \\ K_{xy} & K_{yy} \end{bmatrix} \left\{ \begin{array}{l} \frac{\partial q}{\partial x} \\ \frac{\partial q}{\partial y} \end{array} + \rho_w \right\}$$

$$\begin{Bmatrix} W'_x \\ W'_y \end{Bmatrix} = \left[ K' \right] \left\{ \begin{array}{l} \frac{\partial q}{\partial x} \\ \frac{\partial q}{\partial y} \end{array} + \rho_w \begin{Bmatrix} 0 \\ 1 \end{Bmatrix} \right\} \quad (3.35)$$

As derivadas  $\frac{\partial q}{\partial x}$  e  $\frac{\partial q}{\partial y}$  são calculadas pelo sistema 3.36.

$$\begin{Bmatrix} \frac{\partial q}{\partial x} \\ \frac{\partial q}{\partial y} \end{Bmatrix} = [B_{qe}] \{P^e\} \quad (3.36)$$

onde

$$[B_{qe}] = \begin{bmatrix} \frac{\partial P_4}{\partial x} & \frac{\partial P_5}{\partial x} & \frac{\partial P_6}{\partial x} \\ \frac{\partial P_4}{\partial x} & \frac{\partial P_5}{\partial y} & \frac{\partial P_6}{\partial y} \end{bmatrix}$$

Substituindo 3.36 em 3.35 tem-se:

$$\begin{Bmatrix} W'_x \\ W'_y \end{Bmatrix} = [K'] [B_{qe}] \{P^e\} \quad (\text{caso do elemento conforme}). \quad (3.37)$$

No caso do elemento não conforme, usando a relação 3.36 junto com as equações, relativas aos valores nodais da pressão do sistema 3.26, obtém-se:

$$\begin{Bmatrix} W'_x \\ W'_y \end{Bmatrix} = [K'] [B_{qe}] [I_3] \{p_e\} \quad (3.38)$$

onde  $I_3$  é a matriz identidade de dimensão (3x3). Essa relação é a mesma que 3.37, devido ao fato dos graus de liberdade referentes a pressão serem os mesmos nos casos dos elementos conforme e não conforme.

3.5.6 - Expressão da matriz de rigidez e do vetor segundo membro elementares do elemento conforme.

A integral  $\int (u, v, q)$  da expressão 2.42 pode ser calculada como soma de integrais sobre cada elemento constituindo a região. As componentes dos tensores das tensões e deformações, a deformação volumétrica, as componentes do vetor velocidade relativa de filtração, as componentes do vetor tensão na fronteira  $S_t$  e o valor da vazão na fronteira  $S_Q$  sobre cada elemento, são substituídas pelas suas expressões deduzidas anteriormente em função dos valores das componentes do vetor deslocamento e das pressões intersticiais nos pontos nodais.

Se NTT é o número total dos elementos constituindo a região R, tem-se a funcional 3.39.

Antes de conectar os elementos, essa expressão contém 12 NTT variáveis  $\{\delta_{\text{e}}\}$  independentes para as componentes dos vetores deslocamento nos pontos nodais referentes aos deslocamentos e 3 NTT variáveis  $\{p_{\text{e}}\}$  para os valores da pressão intersticial nos nós referentes à pressão.

Devido ao fato dos deslocamentos serem ainda independentes (elementos desconectados), a minimização da funcional 3.39 será obtida minimizando-se cada termo separadamente. Escrevendo-se as equações de EULER em relação as variáveis de deslocamentos para um termo correspondente a um

$$\begin{aligned}
\int_{\Sigma} (u, v, q) = \sum_{n=1}^{NIT} \pi^{-1} & \left( \int_{S_e} \frac{1}{2} \{ \delta \}^T \{ \delta \}^T [B_e]^T [D] [B_e] * \{ \delta \}^T ds + \right. \\
& + \int_{S_e} \{ \delta \}^T [B_{\Delta e}]^T [P_e] * \{ p \} ds + \int_{S_e} \frac{1}{2} \{ \delta \}^T * \\
& [B_e]^T \{ s'_o \} ds + \int_{S_e} \{ \delta \}^T * [N_e]^T \{ \rho F \} ds - \\
& \int_{S_e} \frac{1}{2} g * \{ p \}^T [B_{qe}] [K'] [B_{qe}] * \{ p \} ds - \\
& - \int_{S_e} g * \{ p \}^T [B_{qe}]^T [K'] * \{ \rho_w F \} ds - \\
& - \int_{S_e} \frac{1}{2} g * \{ \rho_w F \} [K'] * \{ \rho_w F \} ds - \int_{S_e} \{ \delta \}^T [N_e]^T \\
& [N_e] * \{ T \} ds + \int_{S_{QN} S_e} g * \{ p \}^T [P_e]^T [P_e] * \\
& \left. \{ Q \} ds \right)
\end{aligned}$$

(3.39)

elemento, tem-se:

$$[K_1^e] \{\delta_e\} + [C^e] \{p_e\} = - \{MM1_e\} + \{MM2_e\} + \{PF1_e\} = \{F\delta_e\} \quad (3.40)$$

Agora escrevendo as equações de EULER de um termo em relação aos valores da pressão intersticial nós nós referentes à pressão, tem-se:

$$[C^e]^T \{\delta_e\} - g * [K_p^e] \{p_e\} = g * \{MM3_e\} - g * \{PP2_e\} \quad (3.41)$$

onde:

$$[K_1^e] = \int_{S_e} [B_e]^T [D] [B_e] dS \quad \text{é a matriz de rigidez elementar do esqueleto sólido.}$$

$$[K_p^e] = \int_{S_e} [B_{qe}]^T [K'] [B_{qe}] dS \quad \text{é a matriz de escoamento elementar.}$$

$$\{MM1_e\} = \int_{S_e} [B_e]^T \{S'_0\} dS \quad \text{é o vetor força elementar equivalente às tensões iniciais.}$$

$$\{MM2_e\} = \int_{S_e} [N_e]^T \{\rho F\} dS \quad \text{é o vetor força elementar equivalente às forças de volume exercidas sobre o esqueleto sólido.}$$

$$\{MM3_e\} = \int_{S_e} [B_{qe}]^T [K'] \{\rho_w F\} dS \quad \text{é o vetor força equivalente às forças de volume exercidas sobre a água.}$$

$$[C_e] = \int_{S_e} [B_e]^T [P_e] ds \quad \text{é a matriz de acoplamento elementar.}$$

$$\{PP1_e\} = \int_{S_t \cap S_e} [N_e]^T [N_e] \{T_e\} ds \quad \text{é o vetor força elementar equivalente às tensões impostas na fronteira } S_t.$$

$$\{PP2_e\} = \int_{S_Q \cap S_e} [P_e]^T [P_e] \{Q_e\} ds \quad \text{é o vetor força elementar equivalente às vazões impostas na fronteira } S_Q.$$

Derivando-se a equação 3.41 com relação ao tempo, tem-se:

$$[C_e] \{\dot{\delta}_e\} - [K_p e] \{p_e\} = \{MM3_e\} - \{PP2_e\} = \{F_p e\} \quad (3.42)$$

onde  $\dot{\delta}_e$  significa o vetor derivada com relação ao tempo do vetor  $\delta_e$ , sendo essa derivação feita para cada componente.

Agrupando 3.40 e 3.42, obtém-se o seguinte sistema de equações para cada elemento.

$$[K_1 e] \{\delta_e\} + [C_e] \{p_e\} = -\{MM1_e\} + \{MM2_e\} + \{PP1_e\} = \{F\delta_e\} \quad (3.43)$$

$$[C_e]^T \{\dot{\delta}_e\} - [K_p e] \{p_e\} = \{MM3_e\} - \{PP2_e\} = \{F_p e\}$$

$$\text{A matriz } [K_e] = \begin{bmatrix} K_1 e & C_e \\ C_e^T & K_p e \end{bmatrix} \quad \text{é chamada a matriz de rigidez elementar do elemento conforme.}$$



O vetor  $\{F_e\} = \begin{Bmatrix} F_{\delta_e} \\ F_{p_e} \end{Bmatrix}$  é chamado o vetor segundo membro elementar do elemento conforme.

3.5.7 - Expressão da matriz de rigidez e do vetor segundo membro elementares do elemento "SOL" (não conforme).

$$\text{Usando a relação } \begin{Bmatrix} \delta_e \\ p_e \end{Bmatrix} = [B] \begin{Bmatrix} \delta_e \\ p_e \end{Bmatrix} = \begin{bmatrix} B' & 0 \\ 0 & I_3 \end{bmatrix} \begin{Bmatrix} \delta_e \\ p_e \end{Bmatrix}$$

e substituindo  $\{\delta_e\}$  e  $\{p_e\}$  na funcional 3.41 pelas suas expressões em função de  $\{\delta_e\}$  e  $\{p_e\}$ , tem-se a funcional 3.45 válida para o programa "SOL" utilizando o elemento não conforme.

Antes de conectar os elementos, essa expressão contém 14 NTT variáveis  $\{\delta_e\}$  independentes para as componentes dos vetores deslocamentos nos pontos nodais referentes aos deslocamentos e 3 NTT variáveis  $\{p_e\}$  para os valores da pressão intersticial nos nós referentes à pressão.

Por minimização de um termo da funcional 3.45 em relação às variáveis deslocamento  $\{\delta_e\}$  e em relação às variáveis pressões intersticiais  $\{p_e\}$ , tem-se:

$$[K_{1e}] \{\delta_e\} + [C_e] \{p_e\} = - \{MM_{1e}\} + \{MM_{2e}\} + \{PP_{1e}\} = \{F_{\delta_e}\} \quad (3.46)$$

$$[C_e]^T \{\delta_e\} - g * [K_{pe}] \{p_e\} = g * \{MM_{3e}\} - g * \{PP_{2e}\} = \{F_{pe}\} \quad (3.47)$$

$$\begin{aligned}
\omega(u, v, q) = \sum_{m=1}^{NTT} & \left( \int_{S_e} \frac{1}{2} \{\delta_e\}^T [B']^T [D] [B_e] [B']^* \{\delta_e\} dS + \right. \\
& + \int_{S_e} \{\delta_e\}^T [B'] [B_{\Delta e}] [P_e]^* [I_3] \{p_e\} dS + \\
& + \int_{S_e} \frac{1}{2} \{\delta_e\}^T [B']^T [B_e]^T * \{s'_o\} dS - \\
& \int_{S_e} \{\delta_e\}^T [B']^T * [N_e]^T \{\rho_F\} dS - \\
& - \int_{S_e} \frac{1}{2} g * \{p_e\}^T [I_3]^T [B_{qe}] [K'] [B_{qe}] * [I_3] \{p_e\} dS - \quad (3.45) \\
& - \int_{S_e} g * \{p_e\}^T [I_3]^T [B_{qe}]^T [K'] * \{\rho_{wF}\} dS - \\
& - \int_{S_e} \frac{1}{2} g * \{\rho_{wF}\}^T [K'] \{\rho_{wF}\} dS - \int_{S_t \cap S_e} \{\delta_e\}^T [B']^T \\
& \quad [N_e]^T [N_e]^* \{T_e\} dS + \int_{S_Q \cap S_e} g * \{p_e\}^T [I_3]^T \\
& \quad [p_e]^* \{Q_e\} dS \left. \right)
\end{aligned}$$

Derivando-se a equação 3.47 com relação ao tempo ,  
obtem-se:

$$[K_{1e}] \{\delta_e\} + \{C_e\} \{p_e\} = \{F_{\delta_e}\} \quad (3.48)$$

$$[C_e]^T \{\dot{\delta}_e\} - [K_{pe}] \{p_e\} = \{F_{pe}\}$$

onde  $[K_e] = \begin{bmatrix} K_{1e} & C_e \\ C_e^T & K_{pe} \end{bmatrix} = [B] [K_{\textcircled{e}}] [B]^T$  é a ma-

triz de rigidez elementar do elemento não conforme e

$\{F_e\} = \begin{Bmatrix} F_{\delta_e} \\ F_{pe} \end{Bmatrix} = [B]^T \{F_{\textcircled{e}}\}$  é o vetor segundo membro elementar do elemento não conforme.

3.6 - Discretização no tempo durante o processo de consolidação. Obtenção das condições iniciais.

### 3.6.1 - Generalidades

Todo programa de consolidação calcula uma solução aproximada do problema de consolidação para uma sequência de tempos especificados pelo usuário. O tempo  $t=0$ , corresponde à hora da aplicação da carga e está automaticamente incluído na sequência dos tempos, visto que ele corresponde ao tempo do carregamento inicial. A marcha geral do programa consiste, então, em calcular para o tempo,  $t=0$  a solu-

ção para calcular as soluções para os tempos da sequência subsequentes ao tempo  $t=0$ .

Para cada tempo da sequência, o programa executa uma completa lupe de cálculos, quer para fabricar a solução inicial, quer para calcular a solução para o próximo tempo, a partir das soluções calculadas nos tempos antecedentes.

O caso onde o programa está fabricando a solução inicial é referido no trabalho como "caso não drenado".

No caso, onde o programa está calculando a solução para um tempo  $(t)$ , da sequência, a partir da solução encontrada para o tempo anterior, é chamado "caso drenante".

### 3.6.2 - Discretização no tempo: Caso drenante.

Devido à presença de derivadas ( $\dot{\delta}_e$ ) com relação ao tempo na equação 3.44, torna-se necessária a seguinte discretização no tempo. Dentro do intervalo de tempo  $(t, t + \Delta t)$  a solução para o tempo  $(t + \frac{\Delta t}{2})$  é calculada a partir da solução conhecida no tempo  $(t)$ , através do esquema que se segue:

$$\frac{1}{2} \left[ K_1 \otimes (t+\Delta t) \right] \{ \delta \otimes (t+\Delta t) \} \left[ C \otimes \right] \{ P \otimes (t + \frac{\Delta t}{2}) \} = \{ F_{\delta} \otimes (t + \frac{\Delta t}{2}) \} -$$

$$\{ F_{\delta} \otimes (t) \} + \frac{1}{2} \left[ K_1 \otimes (t) \right] \{ \delta \otimes (t) \} + \left[ C \otimes \right] \{ P \otimes (t) \} \quad (3.49)$$

$$\begin{aligned} [C^e]^T \{\delta^e(t+\Delta t)\} - \Delta t [K_p^e] \{P^e(t+\frac{\Delta t}{2})\} &= C^e \{\delta^e(t)\} + \\ \Delta t \{F_p^e(t+\frac{\Delta t}{2})\} & \end{aligned} \quad (3.50)$$

Onde

$$\begin{aligned} \{F_\delta^e(t+\frac{\Delta t}{2})\} - \{F_\delta^e(t)\} &= -\{MM1^e(t+\frac{\Delta t}{2})\} - MM1^e(t) + \\ \{MM2^e(t+\frac{\Delta t}{2}) - MM2^e(t)\} &+ \{PP1^e(t+\frac{\Delta t}{2}) - PP1^e(t)\} \\ e, & \end{aligned} \quad (3.51)$$

$$\{F_p^e(t+\frac{\Delta t}{2})\} = \{MM3^e(t+\frac{\Delta t}{2})\} - \{PP2^e(t+\frac{\Delta t}{2})\} \quad (3.52)$$

Esse esquema é obtido aproximando  $(\dot{\delta}^e)$  pelo coeficiente  $\frac{\delta^e(t+\Delta t) - \delta^e(t)}{\Delta t}$  na equação 3.44.

As equações 3.49 e 3.50 permitem calcular os valores das componentes do vetor deslocamento nos pontos nodais, no tempo  $(t + \Delta t)$  e as pressões no tempo  $(t + \frac{\Delta t}{2})$ , a partir dos valores dos mesmos conhecidos no tempo  $(t)$ .

O cálculo das componentes do vetor deslocamento no tempo  $(t + \frac{\Delta t}{2})$  é feito usando:

$$\delta^e(t+\frac{\Delta t}{2}) = \frac{\delta^e(t+\Delta t) + \delta^e(t)}{2} \quad (3.53)$$

As mesmas equações 3.49, 3.50 e 3.53 podem ser es

critas obviamente trocando todos os índices  $\textcircled{e}$  pelos índices  $\bar{e}$ , usando o elemento não conforme.

$$\frac{1}{2} \left[ K_{le}(t+\Delta t) \right] \{ \delta_{e(t+\Delta t)} \} + \left[ C_e \right] \{ p_{e(t+\frac{\Delta t}{2})} \} = \{ F_{\delta_{e(t+\frac{\Delta t}{2})}} \} - \{ F_{\delta_{e(t)}} \} + \frac{1}{2} \left[ K_{le}(t) \right] \{ \delta_{e(t)} \} + \left[ C_e \right] \{ p_{e(t)} \} \quad (3.54)$$

$$\left[ C_e \right]^T \{ \delta_{e(t+\Delta t)} \} - \Delta t \left[ K_{pe} \right] \{ p_{e(t+\frac{\Delta t}{2})} \} = \left[ C_e \right]^T \{ \delta_{e(t)} \} +$$

$$\Delta t \{ F_{pe(t+\frac{\Delta t}{2})} \} \quad (3.55)$$

$$\delta_{e(t+\frac{\Delta t}{2})} = \frac{\delta_{e(t+\Delta t)} + \delta_{e(t)}}{2} \quad (3.56)$$

### 3.6.3 - Obtenção das condições iniciais. Caso não drenado.

O processo de discretização anterior, requer o conhecimento das componentes do vetor deslocamento nos pontos nodais e das pressões intersticiais no tempo  $t=0$ , para que o processo de consolidação possa evoluir no tempo, a partir dessas condições iniciais.

Se as cargas são aplicadas intantaneamente, o solo comporta-se como um material incompressível e não drenado.

Para levar em consideração a condição de não drenagem durante a aplicação das cargas, basta considerar a ma

triz de permeabilidade  $[K']$  como sendo nula, assim como, considerar nulas as vazões especificadas  $\{Q_e\}$  na fronteira  $S_Q$ .

Anular  $[K']$  e  $Q_e$  na expressão 3.45, tem por consequência a anulação dos dois vetores  $\{MM3_e\}$ ,  $\{PP2_e\}$  e da matriz  $[K_{pe}]$  na expressão 3.47. Portanto, o sistema a ser resolvido, nesse caso, se escreve:

$$[K_{1e}] \{\delta_{e o}\} + [C_{e o}] \{P_{e o}\} = \{F^{\delta}_{e o}\} \quad (3.57)$$

$$[C_{e o}] \{\delta_{e o}\} = 0 \quad (3.58)$$

A equação 3.58 traduz a incompressibilidade do elemento.

### 3.7 - Condensação estática do programa "SOL".

#### 3.7.1- Caso drenante

No caso drenante, tanto as componentes do vetor deslocamento nos pontos de GAUSS do elemento quanto as pressões no centro de cada lado, serão conectados com os mesmos do elemento adjacente. Portanto, nesse caso, os únicos graus de liberdade de um elemento que podem ser eliminados são as componentes do vetor deslocamento no centro de gravidade do elemento.

Essa eliminação está feita no programa "SOL" pelo

processo de condensação estática (ver DESAI e ABEL, 1972).

Durante esse processo, o tamanho da matriz de rigidez elementar não conforme é reduzida do tamanho (17x17) para o tamanho (15x15), como também, o vetor segundo membro elementar é reduzido do tamanho (17x1) para o tamanho (15x1).

### 3.7.2- Caso não drenado

De acordo com as recomendações feitas por DESAI e CHRISTIAN (1977), o cálculo das condições iniciais (deslocamentos e pressões iniciais) é efetuado conectando somente as componentes do vetor deslocamento, e deixando as pressões intersticiais independentes de um elemento para um outro adjacente. Dessa forma, os valores iniciais da pressão intersticial, nos nós da malha, podem ser diferentes de um triângulo para um outro vizinho.

Neste caso, algumas pressões intersticiais dentro de um elemento podem ser eliminadas, além das duas componentes do vetor deslocamento no centro do triângulo.

O programa "SOL" elimina pelo mesmo processo de condensação estática, as pressões intersticiais nos centros do segundo e terceiro lado de cada elemento.

Portanto, a matriz de rigidez elementar não conforme é reduzida do tamanho (17 x 17) para o tamanho (13 x 13), assim como, o vetor segundo membro elementar é reduzido do tamanho (17x1) para o tamanho (13x1). O sistema de equações 3.57 e 3.58 é também reduzido do tamanho (17x17) para



o tamanho (13x13), sendo que a última linha deste sistema traduz agora a incompressibilidade no centro do primeiro lado de cada elemento, onde não foi eliminada a pressão intersticial.

- 3.8 - Imposição das relações entre as componentes do vetor deslocamento nos nós de GAUSS do elemento "SOL" (caso drenante e não drenado), e imposição da condição de incompressibilidade no centro do primeiro lado do elemento (caso não drenado).

Lembre-se que a relação 3.19 deve ser satisfeita entre as seis componentes horizontais do vetor deslocamento nos seis pontos de GAUSS do elemento não conforme, para que essas seis componentes possam ser os valores tomados por uma mesma função polinomial do segundo grau, nos seis pontos de GAUSS de um triângulo. O mesmo vale para as seis componentes verticais do vetor deslocamento.

Por isso, essas relações ( $u_1 - u_2 + u_3 - u_4 + u_5 - u_6 = 0$  e  $v_1 - v_2 + v_3 - v_4 + v_5 - v_6 = 0$ ) têm que ser impostas nas soluções das componentes do vetor deslocamento dentro de cada elemento.

A relação 3.19 pode ser escrita da seguinte maneira, envolvendo ao mesmo tempo os  $u_i$  e  $v_i$ :

$$u_1+0v_1-u_2+0v_2+u_3+0v_3-u_4+0v_4+u_5+0v_5-u_6+0v_6 = 0 \quad (3.59)$$

O método usado para que essa condição seja satisfeita nas soluções das componentes horizontais do vetor deslocamento, é o método chamado: método da função de penalidade (ver David G. Luenberger).

Basicamente, este método consiste em somar a matriz de rigidez elementar, uma matriz que é  $2\alpha$  ( $\alpha > 0$ ) vezes uma matriz  $[C]$ , obtida a partir dos coeficientes da relação linear existente entre as componentes horizontais e verticais do vetor deslocamento.

No caso das componentes horizontais, a construção da matriz  $[C]$  é a seguinte:

a) forma-se um vetor linha  $\{L\}$  com os coeficientes da relação linear;

b) forma-se a matriz  $[C]$  pela fórmula  $[C] = \{L\}^T \{L\}$ .

O mesmo deve ser feito para a relação entre as componentes verticais do vetor deslocamento nos seis pontos de GAUSS do elemento.

O método da função de penalidade, consistirá em resolver o sistema com grandes valores do coeficiente ( $\alpha$ ) para cada triângulo.

Essa modificação da matriz de rigidez elementar não conforme, está realizada pelo programa "SOL" para os

casos drenante e não drenado.

No caso não drenado, uma relação suplementar existe entre as componentes do vetor deslocamento nos nós do elemento não conforme, traduzindo a incompressibilidade no centro do primeiro lado do elemento.

Essa relação é imposta na solução das componentes do vetor deslocamento pelo mesmo método da função de penalidade, utilizando o processo usado para impor a relação 3.19. Dessa maneira, a matriz de rigidez elementar sofre uma outra modificação para levar em consideração a condição de incompressibilidade do elemento no centro do primeiro lado.

### 3.9 - Imposição das condições fronteiras

As matrizes de rigidez e os vetores segundo membro elementares, devem ser modificados quando sobre um lado do elemento é imposto um valor conhecido para uma das componentes do vetor deslocamento ou para a pressão intersticial.

A modificação do vetor segundo membro elementar, é feita da seguinte maneira:

a) determinação do número (N) do grau de liberdade, cujo valor será imposto;

b) cálculo do produto do vetor coluna, de número N da matriz elementar pelo valor imposto ao grau de liberu

dade de número  $N$ ;

c) subtração do vetor calculado no item (b) do vetor original segundo membro;

d) troca do  $N$ -ésimo elemento do vetor segundo membro pelo valor imposto.

A modificação da matriz de rigidez elementar, é efetuada da seguinte maneira:

e) anulação dos elementos na linha e na coluna de número  $N$  da matriz de rigidez elementar, conservando o valor 1 no cruzamento da  $N$ -ésima linha com a  $N$ -ésima coluna.

3.10 - Montagem das matrizes de rigidez e dos vetores segundo membro elementares não conforme.

#### 3.10.1- Caso drenante

Depois de ter efetuado a eliminação das componentes do vetor deslocamento no centro dos elementos, cada elemento possui 12 graus de liberdade para as componentes do vetor deslocamento nos nós de GAUSS, e 3 graus de liberdade para os valores da pressão intersticial nos centros dos lados. Em toda a malha desconectada, tem-se então  $15 \times$  NTT variáveis na funcional 3.45.

A operação de conexão dos elementos, consiste em impor que os valores dos graus de liberdade num nó pertencendo a dois elementos adjacentes, sejam os mesmos dentro

dos dois elementos, tornado-se, então, valores dos graus de liberdade de um nó da malha global.

Por conexão dos elementos, a funcional 3.45 pode ser escrita em função das  $5 \times NCT$  graus de liberdade da malha ( $NCT =$  número total de lados da malha).

Minimizando-se essa nova expressão da funcional 3.45 em relação às componentes do vetor deslocamento nos nós da malha referentes aos deslocamentos, tem-se:

$$\left[ K_1 \right] \{ \delta \} + \left[ C \right] \{ p \} = -\{ MM1 \} + \{ MM2 \} + \{ PP1 \} = \{ F_\delta \} \quad (3.60)$$

Minimizando-se agora a nova expressão da funcional 3.45 em relação aos valores da pressão intersticial nos nós da malha referentes à pressão, obtém-se:

$$\left[ C \right]^T \{ \delta \} - g_* \left[ K_p \right] \{ p \} = g_* \{ MM3 \} - g_* \{ PP2 \} = \{ F_p \} \quad (3.61)$$

$\{ MM1 \}$  é o vetor força global equivalente às tensões iniciais, obtido por montagem dos vetores elementares  $\{ MM1_e \}$ .

$\{ MM2 \}$  é o vetor força global equivalente às forças de volume exercidas sobre o esqueleto sólido, obtido por montagem dos vetores elementares  $\{ MM2_e \}$ .

$\{ MM3 \}$  é o vetor força global equivalente às forças de volume exercidas sobre a água, obtido por montagem dos vetores elementares  $\{ MM3_e \}$ .

$\{ PP1 \}$  é o vetor força global equivalente às tensões especificadas e impostas na fronteira  $S_t$ .

{PP2} é o vetor força equivalente às vazões especificadas e impostas na fronteira  $S_Q$ .

O sistema da equação 3.62 junto com a equação 3.63, obtida por derivação com relação ao tempo da equação 3.61, é o sistema de equações nas variáveis globais  $\{\delta\}$  e  $\{p\}$  governando o processo de consolidação.

$$[K_1] \{\delta\} + [C] \{p\} = \{F_\delta\} \quad (3.62)$$

$$[C]^T \{\dot{\delta}\} + [K_p] \{p\} = \{F_p\} \quad (3.63)$$

Trocando-se  $\dot{\delta}$  por  $\frac{\delta(t+\Delta t) - \delta(t)}{\Delta t}$  na equação 3.63, obtem-se o seguinte sistema de equações lineares, permitindo calcular a solução global no tempo  $(t + \frac{\Delta t}{2})$  em função da solução conhecida no tempo  $(t)$  e permitindo, assim, seguir a evolução do processo de consolidação no tempo.

$$\frac{1}{2} [K_{(t+\Delta t)}] \{\delta_{(t+\Delta t)}\} + [C] \{p_{(t+\frac{\Delta t}{2})}\} = \{F_\delta(t+\frac{\Delta t}{2})\} - \{F_\delta(t)\} + \frac{1}{2} [K_{(t)}] \{\delta_{(t)}\} \quad (3.64)$$

$$[C]^T \{\delta_{(t+\Delta t)}\} - \Delta t [K_p] \{p_{(t+\frac{\Delta t}{2})}\} = [C]^T \{\delta_{(t)}\} + \Delta t \{F_p(t+\frac{\Delta t}{2})\} \quad (3.65)$$

$$\text{Usando também: } \delta(t + \frac{\Delta t}{2}) = \frac{\delta(t + \Delta t) + \delta(t)}{2} \quad (3.66)$$

### 3.10.2 - Caso não drenado

Depois de ter efetuado a eliminação das componentes do vetor deslocamento no centro dos elementos, e das duas pressões intersticiais no centro do segundo e terceiro lados dos elementos, cada elemento possui agora 12 graus de liberdade para as componentes do vetor deslocamento nos nós de GAUSS e 1 grau de liberdade para o valor da pressão intersticial no centro do primeiro lado dos elementos. Em toda a malha desconectada, tem-se então  $13 \times N_{TT}$  variáveis na funcional 3.45.

O programa "SOL" conecta somente os graus de liberdade referentes às componentes do vetor deslocamento, enquanto ele não faz a conexão das pressões intersticiais atuando no centro dos primeiros lados do triângulo. Portanto, a funcional 3.45, torna-se agora, função de  $(4 \times N_{CT} + N_{TT})$  variáveis.

Anulando  $[K']$  e  $\{Q_e\}$  na funcional 3.45 expressa em função dessas  $(4 \times N_{CT} + N_{TT})$  variáveis, tem-se uma nova expressão para a funcional 3.45.

A minimização dessa nova expressão com relação às componentes do vetor deslocamento nos nós da malha, e depois com relação aos valores das pressões no centro dos primeiros lados dos elementos, leva ao seguinte sistema linear:

$$[K_{10}] \{\delta_o\} + [C_o] \{p_{eo}\} = \{F\delta_o\} \quad (3.67)$$

$$[C_{\theta}] \{\delta_o\} = 0 \quad (3.68)$$

onde  $[K_{10}]$  é a matriz obtida por montagem das matrizes elementares  $[K_{1e_0}]$  e  $[C_0]$  é a matriz obtida por justaposição das matrizes  $[C_{e_0}]$ , que não são montadas dessa vez, devido ao fato de não conectar as pressões intersticiais entre os elementos.

observação: Nota-se que na equação 3.67 se escreve  $\{p_{e_0}\}$ , devido ao fato de não se ter conectado as pressões intersticiais entre os elementos.

### 3.11 - Resolução dos sistemas lineares

#### 3.11.1 - Caso drenante

O sistema das equações lineares 3.64 e 3.65 é resolvido pelo processo de eliminação de GAUSS, permitindo calcular a solução no tempo  $(t + \frac{\Delta t}{2})$ , a partir da solução conhecida no tempo  $(t)$ .

#### 3.11.2 - Caso não drenado

Nesse caso, o sistema 3.67 é resolvido junto às condições suplementares 3.68.

##### 3.11.2.1 - Geração das pressões intersticiais nos centros dos primeiros lados dos elementos.

As pressões são  $p_0$ , geradas por interações conforme mostra o seguinte esquema interativo:



a) inicialmente, o sistema 3.67 é resolvido com  $p_{e_0} = p_{e_0}^{(0)} = 0$ , obtendo assim a solução  $\delta_0^{(0)}$  do sistema  $[K_{10}] \{\delta_0^{(0)}\} = \{F\delta_0\}$ ;

b) a partir dessa solução  $\delta_0^{(0)}$ , calcula-se  $p_{e_0}^{(1)}$  pela fórmula  $p_{e_0}^{(1)} = p_{e_0}^{(0)} - 2\alpha_{e_i} [C_{e_0}]^T \{\delta_{e_0}^{(0)}\}$ , onde  $\alpha_{e_i}$  é o coeficiente de penalidade do  $i$ -ésimo elemento;

c) o vetor segundo membro  $\{F\delta_0\}$  do sistema 3.67, é modificado usando os novos valores  $p_{e_0}^{(1)}$  das pressões intersticiais pela seguinte fórmula:

$$\{F\delta_0^{(1)}\} = \{F\delta_0^{(0)}\} - [C_0] \{p_{e_0}^{(1)}\};$$

d) o sistema  $[K_{10}] \{\delta_0^{(1)}\} = \{F\delta_0^{(1)}\}$  é resolvido para calcular  $\delta_0^{(1)}$ ;

e) o processo iterativo, cujo primeiro ciclo foi explicado nos itens (a), (b), (c) e (d), continua obedecendo as seguintes fórmulas:

$$p_{e_0}^{(j)} = p_{e_0}^{(j-1)} - 2\alpha_{e_i} [C_{e_0}]^T \{\delta_{e_0}^{(j-1)}\}$$

$$\{F\delta_0^{(j)}\} = \{F\delta_0^{(j-1)}\} - [C_0] \{p_{e_0}^{(j)}\} \text{ e}$$

$$[K_{10}] \{\delta_0^{(j)}\} = \{F\delta_0^{(j)}\}$$

Após alguns ciclos iterativos, a solução converge para uma solução  $\delta_0$  e  $p_{e_0}$ , obedecendo às condições de incompressibilidade junto com as relações do tipo 3.19.

3.12 - Cálculo das grandezas secundárias dentro de cada elemento.

3.12.1 - Caso drenante

A partir dos valores das componentes dos vetores deslocamentos nos nós de GAUSS de um triângulo e pressões no centro dos lados, as componentes do vetor deslocamento no centro de gravidade do triângulo são calculadas usando as equações de eliminação que foram obtidas durante o processo de condensação estática.

A relação 3.26, permite calcular, em seguida, as componentes do vetor deslocamento nos vértices e meios dos lados de cada triângulo.

A relação 3.27, permite calcular em todos os pontos de um triângulo, as componentes do vetor deformação.

A relação 3.29, permite em seguida calcular em todos os pontos do triângulo, o acréscimo das componentes das tensões efetivas.

A relação 2.11, permite calcular o valor da pressão intersticial em cada ponto do triângulo.

No fim, os campos das componentes do vetor deslocamento, o campo das pressões intersticiais, o campo das componentes dos tensores de deformação e tensões efetivas, são determinadas em qualquer ponto da região, no tempo  $(t + \frac{\Delta t}{2})$ , a partir dos valores dos mesmos calculados anteriormente no tempo  $(t)$ .

### 3.12.2 - Caso não drenado

A partir dos valores das componentes dos vetores deslocamentos nos pontos nodais de GAUSS de um triângulo, e do valor da pressão no centro do primeiro lado do triângulo, os valores das pressões nos centros dos segundo e terceiro lados do triângulo, são calculadas, usando também, as equações de eliminação obtidas durante o processo de condensação estática.

O resultado fundamental do programa "SOL", é que a convergência do processo iterativo mostrado em 3.11.2.1, tem por consequência a continuidade do campo das pressões nos centros dos lados dos triângulos, quando se passa de um elemento para um outro adjacente.

Este resultado numérico surpreendente está sendo pesquisado por SOULIÉ e FORTIN (1980).

A partir dos valores das componentes dos vetores deslocamento nos nós de GAUSS e dos valores da pressão nos centros dos três lados, as componentes do vetor deslocamento no centro de gravidade do triângulo são calculadas.

Os campos das componentes do vetor deslocamento inicial, o campo da pressão intersticial inicial, os campos das componentes dos tensores iniciais de tensão efetiva e deformação são determinadas em qualquer ponto da região, usando também, as equações 3.26, 3.27, 3.29 e 3.11 de maneira análoga ao caso drenante anterior.

## CAPÍTULO 4

### DESCRIÇÃO DO PROGRAMA "SOL"

#### 4.1 - Generalidades

Este programa de elementos finitos foi desenvolvido por M. SOULIÉ (1975), para análise de tensões, deslocamentos e pressão intersticial de um maciço bidimensional de solo, durante o processo de consolidação subsequente a um carregamento externo na fronteira. O esqueleto sólido têm um comportamento elástico, linear por trechos com anisotropia. As suas características de permeabilidade são as de um solo anisotrópico, obedecendo à lei de DARCY.

O programa sofreu, durante este trabalho, algumas alterações, tais como: a introdução de um programa que gere as coordenadas dos meios dos lados dos triângulos; a numeração antihorária dos lados dos triângulos e as condições fronteiras do problema.

Este programa na sua composição original, possui as opções do uso de elemento de junção, assim como, a possibilidade de aplicação à terra armada por geotêxteis. O tamanho do programa foi reduzido, retirando-se essas opções, a fim de compatibilizá-lo com o sistema operacional do Núcleo de Processamento de Dados da UFPb.

Codificado em linguagem FORTRAN IV-G no computador

do Núcleo de Computação da Escola Politécnica de Montreal, podendo também ser utilizado em computadores IBM 360 e similares.

O programa "SOL" é constituído de um programa principal e quatorze subrotinas específicas que são utilizadas na resolução dos cálculos matemáticos. As subrotinas recebem os seguintes nomes: COMP, COMPC, GTPRDA, SGMPRD, LIGNCO, REDUC, SPBC, SIGELA, DECOMP, SOLVEB, AIBI, RESULT, SBNTA e YIELD.

Este capítulo IV, apresenta uma descrição detalhada das diferentes etapas de cálculo realizadas durante a execução do programa.

Uma relação das variáveis usadas nas etapas de cálculo, encontra-se no Apêndice I.

O programa "SOL", possui uma grande flexibilidade, podendo analisar os diferentes casos que se seguem:

- 1) Elasticidade bidimensional:  $NLIM=1$ ,  $NPERM=0$  e  $NOPT=0$ ;
- 2) Evolução do processo de consolidação com todo carregamento aplicado no início:  $NLIM=1$ ,  $NPERM=0$  e  $NOPT=1$ ;
- 3) Evolução do processo de consolidação com o carregamento aplicado progressivamente (construção por etapa de um aterro);  $NLIM > 1$ ,  $NPERM=0$  e  $NOPT=1$ ;
- 4) Caso, onde o processo de consolidação não acabou, devido às sequências de tempos fornecidos não terem sido suficientes para chegar à etapa final. A solução pode ser alcançada, usando-se uma etapa de consolidação suplementar;  $NLIM > 1$ ,  $NPERM=1$  e  $NOPT=1$ ;
- 5) Elasticidade unidimensional, bastando, para isso, bloquear as componentes do vetor deslocamento horizontais de todos os pontos nodais da malha de elementos finitos, referentes ao mesmo.

## 4.2 - ETAPAS DE CÁLCULOS EXECUTADOS PELO PROGRAMA "SOL"

## 4.2.1 - PROGRAMA PRINCIPAL

LINHAS  
DO  
PROGRAMA

- 001-028 Dimensionamento de todas as variáveis dimensionais. A descrição detalhada de todas as variáveis, encontra-se no Apêndice I.
- 029-030 Enchimento dos vetores CU e CV, cujas componentes são os coeficientes da relação 3.59, para as componentes horizontais do vetor deslocamento, e uma relação análoga para as componentes verticais do vetor deslocamento.
- 031-031 Enchimento do quadro tridimensional LIGN (2, 2, 17), composto de 68 posições, que serão usadas na determinação do primeiro vetor transposição ITRA (17).
- 032-032 Enchimento da matriz A (6 x 7) do sistema linear 3.21.
- 033-042 Leitura e impressão dos dados adimensionais do problema.
- 043-100 Cálculo e impressão das coordenadas do meio dos lados dos triângulos; cálculo da numeração dos lados de cada triângulo; fornecimento do tipo de condições fronteiras a ser verificado dentro dos triângulos.
- 101-105 Numeração dos triângulos adjacentes a um triângulo

pela subrotina SBNTA e impressão da numeração dos lados dos triângulos; dos triângulos adjacentes e do tipo de condições fronteiras a serem verificadas dentro dos triângulos.

- 106-110 Leitura e impressão dos dados referentes às condições especificadas sobre as variáveis (u, v, q, Q) nas fronteiras  $S_d$ ,  $S_p$  e  $S_Q$ .
- 111-113 Leitura e impressão dos tempos, para os quais a solução será calculada durante o processo de consolidação.
- 114-121 Leitura e impressão dos parâmetros de elasticidade, permeabilidade e pressão de pré-adensamento dos materiais constituindo os elementos da malha.
- 122-161 Declaração de todos os formatos de leitura e impressão dos resultados.
- 162-162 Inicialização da variável  $NPRIM=0$ .
- 163-163 Etiqueta de chegada do comando GOTO da linha 768 do programa principal. Esse GOTO, serve para obter uma etapa de consolidação suplementar, no caso, onde o último tempo não for suficiente para obter uma quase total consolidação. Neste caso,  $NPERM$  será dado igual a 1 ao programa, o que permitirá calcular os recalques finais, pois, durante uma etapa de consolidação suplementar todos os elementos estão completamente drenados. No caso de  $NPERM=0$ , o programa irá somente até o último tempo de consoli

- dação solicitado.
- 164-164 Definição da variável  $CPR=1$
- 165-165 Cálculo do número total de pontos de GAUSS na malha.
- 166-166 Cálculo do número total de especificações de deslocamento em  $u$  e  $v$ .
- 167-167 Cálculo do número total de lados com pressões especificadas no seu centro.
- 168-170 Cálculo das coordenadas baricêntricas dos dois pontos de GAUSS, dentro de cada lado da malha.
- 171-176 Anulação da matriz de elasticidade do esqueleto sólido  $D$  ( $3 \times 3$ ) (ver equação 3.29), e da matriz  $B(15 \times 17)$  do sistema 3.25.
- 177-183 Cálculo e enchimento da matriz  $[B]$  do sistema 3.25, a partir da matriz  $[A]$  da linha 32.
- 184-184 Teste usado para não levar em consideração as pressões especificadas no centro dos lados dos triângulos, uma vez que, no caso onde  $NPRIM=1$ , atinge-se a etapa de consolidação suplementar, que é por definição completamente drenada.
- 185-185 Teste similar ao anterior, no caso onde não existe nenhuma pressão especificada na fronteira da região do problema.
- 186-186 Cálculo da variável  $NPSZ$ , usada para escolher na lista das especificações de  $u$ ,  $v$  e  $q$ , a posição correspondente à primeira pressão especificada.



- 187-189 Normalização dos valores das pressões especificadas e troca dos sinais, pelo fato do programa considerar as tensões de tração positivas, por consequência as de compressão negativas.
- 190-190 Etiqueta de chegada do comando GOTO das linhas 184 e 185.
- 191-192 Anulação do vetor de tensões efetivas SIGTW (9). Esse vetor será enchido posteriormente pelos valores das componentes do tensor das tensões efetivas no centro dos lados de um triângulo.
- 193-193 Normalização da variável CONTRI (contribuição de tensões iniciais), no caso onde exista tensões iniciais.
- 194-194 Colocação da quarta unidade periférica de memória (UPM4), na posição inicial.
- 195-212 Cálculo do tensor das tensões efetivas iniciais ( $t=0$ ); anulação das sobrepressões iniciais no centro de cada lado de cada elemento da malha, como também , dos deslocamentos iniciais nos pontos de GAUSS e centro do elemento, e colocação sobre a UPM4 destes resultados para cada elemento.
- 213-216 Leitura e impressão das componentes horizontais e verticais do vetor tensão total, correspondentes ao carregamento inicial, atuando nas extremidades dos lados dos elementos, onde existem tensões especificadas.

- 217-217 Início da lupe das etapas de consolidação. Essa lupe, é executada para cada tempo fornecido ao programa. A primeira lupe executada, corresponde à obtenção das condições iniciais (caso não drenado). Uma etapa suplementar, levando aos deslocamento finais correspondente ao fim da consolidação, pode ser realizada pelo usuário.
- 218-218 Teste usado para não levar em consideração as pressões especificadas, ou seja, considerar apenas as especificações referentes às componentes do vetor deslocamento, visto que a positividade do teste indica que o programa está efetuando a etapa de consolidação suplementar.
- 219-221 Definição e cálculo da variável CONS, cujos valores 1 ou 2 são utilizados na fórmula 3.56.
- 222-231 Definição e cálculo das variáveis NLC, LR, LLR, KDIM, KDIM1 e KINC.
- 232-239 Transferência do conjunto de dados da UPM4 para UPM2, durante a execução da lupe das condições iniciais da etapa de consolidação suplementar.
- 240-240 Colocação da UPM3 na posição inicial durante o processo de consolidação.
- 241-241 Cálculo do número de linhas da matriz de rigidez global (ABAND).
- 242-250 Cálculo do incremento de tempo ( $DTIME=\Delta t$ ), correspondente à próxima etapa e cálculo da largura de

- banda (NBW) da matriz de rigidez global, conforme o número da etapa de consolidação executada.
- 251-252 Colocação das UPM1 e UPM2 nas posições iniciais.
- 253-257 Anulação do vetor segundo membro global (FAS) e da matriz de rigidez global (ABAND).
- 258-258 Início da lupe de cálculo das matrizes de rigidez elementares (AKNC), dos vetores segundo membro elementares (FNC) e da montagem desses, respectivamente, na matriz de rigidez global (ABAND) e no vetor segundo membro global (FAS). Essa lupe, está sendo efetuada sucessivamente sobre cada elemento.  
( $J = 1, NTT$ ).
- 259-263 Leitura das variáveis (SIGTW, UVT, PREST) nas UPM3 ou UPM2, indicando o estado das tensões efetivas, dos deslocamentos e da pressão intersticial no elemento ( $J$ ), no fim da etapa de consolidação anterior.
- 264-264 Chamada da subrotina YIELD, destinada a determinar o valor da variável INDEX para a próxima etapa de consolidação. O valor da variável INDEX será 1 ou 2 dependendo do nível das tensões efetivas, no fim da etapa de consolidação anterior, resulta um estado sobreadensado ou normalmente adensado.
- 265-266 Anulação do vetor segundo membro elementar não conforme (FNC).
- 267-269 Cálculo dos coeficientes da matriz de permeabilidade  $[K']$  do esqueleto sólido do elemento.

- 270-270 Chamada da subrotina SIGELA, para o cálculo da matriz de elasticidade do esqueleto sólido  $[D]$  do elemento.
- 271-279 Cálculo das componentes horizontais e verticais dos três vetores fabricados sobre os três lados do elemento (J), orientado no sentido antihorário.
- 280-283 Cálculo da área do elemento (J) orientado; teste de impressão e de parada, caso de achar a área do elemento (J) como sendo negativa. Isto ocorre, exclusivamente, quando existe erro de dados de coordenadas ou de numeração dos lados dos triângulos.
- 284-286 Cálculo dos comprimentos dos lados do elemento (J).
- 287-303 Cálculo da matriz de escoamento elementar  $[K_p^e]$ .
- 304-307 Anulação da matriz de rigidez elementar conforme
- $$\begin{bmatrix} K_1^e & c^e \\ c^{T^e} & K_p^e \end{bmatrix}$$
- é do vetor segundo membro  $\begin{Bmatrix} F_\delta^e \\ F_p^e \end{Bmatrix}$  elementar conforme
- 308-312 Anulação do vetor vazão, especificado ao longo dos lados de cada elemento  $\{Q^e\}$  e das tensões especificadas nas extremidades dos lados de cada elemento  $\{T^e\}$ .
- 313-316 Chamada da subrotina COMP, para cálculo dos coeficientes da matriz de rigidez elementar conforme, do esqueleto sólido  $[K_1^e]$ .
- 317-324 Chamada da subrotina COMPC, para cálculo dos coeficientes da matriz de acoplamento conforme  $[C^e]$ .

325-330 Anulação dos vetores segundo membro  $\{MM1 \textcircled{e}\}$ ,  $\{MM2 \textcircled{e}\}$ ,  $\{MM3 \textcircled{e}\}$  e  $\{PP2 \textcircled{e}\}$ . Os três vetores  $\{MM1 \textcircled{e}\}$ ,  $\{MM2 \textcircled{e}\}$  e  $\{MM3 \textcircled{e}\}$ , são considerados nulos pelo programa "SOL".

331-371 Cálculo da parcela  $\{MM1 \textcircled{e}(t + \frac{\Delta t}{2}) - MM1 \textcircled{e}(t)\}$  da equação 3.51.

372-379 Cálculo da parcela  $\{PP2 \textcircled{e}(t + \frac{\Delta t}{2})\}$  da equação 3.52.

380-406 Cálculo dos blocos  $\frac{1}{2} [K1 \textcircled{e}(t + \Delta t)]$ ,  $[C \textcircled{e}]$ ,  $-\Delta t [Kp \textcircled{e}]$ , e cálculo das parcelas  $\{F\delta \textcircled{e}(t + \frac{\Delta t}{2}) - F\delta \textcircled{e}(t)\}$  e  $\{Fp \textcircled{e}(t + \frac{\Delta t}{2})\}$  das equações 3.49 e 3.50.

407-408 Chamada de subrotina SGTPRDA, para efetuar o produto das matrizes  $[B^T] \begin{bmatrix} \frac{1}{2} K1 \textcircled{e}(t + \frac{\Delta t}{2}) & C \textcircled{e} \\ C^T & -\Delta t Kp \textcircled{e} \end{bmatrix} [B]$

e obter  $\begin{bmatrix} \frac{1}{2} K_e(t + \frac{\Delta t}{2}) & C_e \\ C_e^T & -\Delta t K_{pe} \end{bmatrix}$ , do sistema 3.54

e 3.55.

409-409 Chamada da mesma subrotina SGTPRDA, para efetuar o produto da matriz  $[B^T]$ , pela parcela do vetor segundo membro  $\left\{ \begin{array}{l} F\delta \textcircled{e}(t + \frac{\Delta t}{2}) - F\delta \textcircled{e}(t) \\ \Delta t Fp \textcircled{e}(t + \frac{\Delta t}{2}) \end{array} \right\}$  do

sistema 3.49 - 3.50, e obter a parcela do vetor segun

do membro

$$SM = \left\{ \begin{array}{l} F\delta e(t + \frac{\Delta t}{2}) - F\delta e(t) \\ \Delta t F_{pe}(t + \frac{\Delta t}{2}) \end{array} \right\} \text{do sistema 3.54 - 3.55.}$$

410-413 Cálculo do coeficiente de penalidade  $\alpha e$ .

414-418 Modificação da matriz  $M = \begin{bmatrix} \frac{1}{2} K_e(t + \frac{\Delta t}{2}) & C_e \\ C_e^T & -\Delta t K_{pe} \end{bmatrix}$ ,

pelo método das funções de penalidade, conforme o que foi visto no parágrafo 3.8.

419-433 Modificações da mesma matriz, feitas somente no caso, onde o usuário requer uma etapa de consolidação suplementar para calcular os deslocamentos finais, a partir de um tempo correspondente somente a uma consolidação inacabada.

434-439 Adição das parcelas  $\frac{1}{2} K_e(t) \{ \delta e(t) \}$  e  $C_e \{ p_e(t) \}$ , aparecendo na equação 3.54, no caso drenante.

440-441 Multiplicação da parcela  $F_{pe}(t + \frac{\Delta t}{2})$  por  $\Delta t$  aparecendo na equação 3.55, no caso drenante.

442-446 Adição da parcela  $C_e^T \{ \delta e(t) \}$ , aparecendo na equação 3.55, no caso drenante.

447-470 Cálculo do vetor ITRA (17). Este vetor é calculado para ser usado na subrotina LIGNCO, a fim de permutar as linhas e colunas das matrizes M e linhas dos vetores SM.

471-473 Chamadas da subrotina LIGNCO. Essas permutações das linhas e colunas das matrizes M e das linhas dos

vetores SM, são necessárias para modificar a sequência dos graus de liberdade de um elemento.

Caso drenante: A sequência, é tal que, para cada lado do triângulo, o grau de liberdade referente à pressão no centro do lado segue os quatro graus de liberdade, referentes às componentes do vetor deslocamento nos pontos de GAUSS deste lado. Dessa maneira, os dois graus de liberdade pertencentes ao centro de gravidade do triângulo, correspondem às duas últimas posições.

Caso não drenado (condições iniciais): A sequência consiste em usar as doze primeiras posições para os doze graus de liberdade referentes às componentes do vetor deslocamento nos 6 - pontos de GAUSS do elemento, seguidos das três pressões nos centros dos lados do elemento e dos graus de liberdade referentes às componentes do vetor deslocamento no centro de gravidade do triângulo.

474-476 Chamada da subrotina REDUC, para eliminar dois ou quatro graus de liberdade, conforme o item 3.7.

477-478 Chamada da subrotina SPBC, para impor as condições fronteiras nas variáveis u, v e q, conforme o item 3.9.

479-490 Modificação da matriz  $[K]_{e0}$  do sistema 3.57 - 3.58, para forçar a condição de incompressibilidade no centro do primeiro lado do triângulo, conforme

me o que foi visto no ítem 3.8.

- 491-529 Montagem das matrizes elementares e vetores segundo membro elementares respectivamente, na matriz de rigidez global e vetor segundo membro global.
- 530-610 Lupe de cálculo dos valores das componentes do vetor deslocamento nos pontos de GAUSS da malha, e dos valores da pressão no centro dos lados (caso drenante) ou somente no centro do primeiro lado de cada triângulo (caso não drenado), conforme o que foi visto em 3.8.
- 611-612 Colocação das UPM<sub>2</sub> e UPM<sub>3</sub> nas posições iniciais.
- 613-747 Lupe de cálculo e armazenamento das grandezas secundárias em cada elemento. Durante essa lupe são calculadas:
- 1) As pressões nos centros dos segundo e terceiro lados do triângulo no caso não drenado.
  - 2) As componentes do vetor deslocamento no centro de gravidade do elemento.
  - 3) As componentes do vetor deslocamento nos vértices e meios dos lados de cada triângulo.
  - 4) As deformações no centro de cada lado do triângulo.
  - 5) As componentes do tensor das tensões efetivas no centro de cada lado do elemento.



- 748-750 Impressão das variáveis tempo de consolidação e número total de interações, necessárias durante a penúltima lupe (530 - 610). Impressão dos cabeçalhos "TENSÕES E DESLOCAMENTOS", conforme o que está apresentado na página de resultados, mostrado no Apêndice VI.
- 751-754 Colocação das UPM<sub>1</sub>, UPM<sub>2</sub>, UPM<sub>3</sub> e UPM<sub>4</sub> nas posições iniciais.
- 755-763 Lupe de escritura dos resultados definitivos para cada triângulo, sendo impressos:
- 1) O número do triângulo junto com a variável INDEX correspondente ao estado normalmente ou sobre-adensado do material constituindo o elemento, no fim da etapa de consolidação anterior.
  - 2) O estado das tensões efetivas; as pressões e os valores e direções das tensões efetivas principais nos centros dos três lados do triângulo e no seu centro de gravidade.
  - 3) Os valores das componentes do vetor deslocamento nos pontos de GAUSS de cada lado do triângulo e no seu centro de gravidade.
- 764-768 Testes para executar ou não a etapa de consolidação suplementar.
- 769-770 Fim do programa principal.

## 4.2.2 - Subrotinas

## Subrotina COMP:

Executa as integrações necessárias, para o cálculo da matriz de rigidez elementar, conforme  $[K_1^e]$ .

## Subrotina COMPC:

Executa as integrações necessárias, para o cálculo da matriz de acoplamento conforme  $[C^e]$ .

## Subrotina GPRDA:

Executa o produto  $R = [B]^T \times [K^e]$  das matrizes  $[B]$  e  $[K^e]$ .

## Subrotina SGMPRD:

Executa o produto  $[R] \times [B]$ , para obter a matriz  $[K_e]$ , conforme o que foi visto no parágrafo 3.5.7.

## Subrotina LIGNCO:

Permuta linhas ou colunas de uma matriz ou linhas de um vetor.

## Subrotina REDUC:

Elimina dois ou quatro graus de liberdade de um elemento, conforme o que foi visto no parágrafo 3.7.

## Subrotina SPBC:

Impõe as condições fronteiras sobre as compo<sub>n</sub>entes do vetor deslocamento e sobre as pressões, nos nós

de um lado do elemento na fronteira da malha, conforme o que foi visto no parágrafo 3.9.

Subrotina SIGELA:

Calcula a matriz de elasticidade  $[D]$  do esqueleto sólido para cada elemento.

Subrotina DECOMP:

Executa a eliminação de GAUSS sobre a matriz de rigidez global.

Subrotina SOLVEB:

Calcula a solução do sistema linear global, a partir dos resultados da eliminação de GAUSS, feita durante a subrotina DECOMP.

Subrotina AIBI:

Calcula os coeficientes da matriz UMAT, permitindo, dessa forma, o cálculo das componentes do tensor das deformações, a partir das componentes do vetor deslocamento nos nós do elemento conforme.

Subrotina RESULT:

Diagonaliza o tensor das tensões efetivas, no centro de cada lado de um triângulo e imprime os resultados, conforme o que está mostrado no Apêndice VI.

Subrotina SBNTA

Numera os triângulos adjacentes a um triân-

gulo e imprime essa numeração junto ao tipo de condições fronteiras, caso haja.

Subrotina YIELD:

Verifica para cada elemento o seu estado de pré-adensamento, e muda, caso necessário, as características mecânicas do material constituindo o elemento, de acordo com o estado de pré-adensamento atingido na fase final de consolidação anterior.

## CAPÍTULO 5

ANÁLISE DE ALGUNS RESULTADOS OBTIDOS COM O PROGRAMA "SOL".

### 5.1 - Generalidades

A finalidade desse capítulo é a de verificar o funcionamento do programa "SOL", depois dele ter sido implantado no sistema computacional do NPD-UFPb.

Basicamente, dois problemas fundamentais do fenômeno de consolidação, foram analisados.

O primeiro problema consiste em calcular os valores dos recalques finais de consolidação quando todas as sobrepessões estiverem dissipadas. Por isso, foram calculados com o programa "SOL" os recalques finais de consolidação de um aterro de forma trapezoidal, de dimensões variáveis, postos sobre uma camada de solo compressível, sendo esses resultados comparados com os obtidos através da teoria unidimensional vertical de TERZAGHI.

O segundo problema consiste, na determinação do grau de recalque de consolidação em função do tempo, calculado a partir da colocação de um aterro, de forma retangular, de dimensões variáveis, aplicado sobre uma camada de solo compressível. Essa configuração, corresponde ao problema que foi tratado analiticamente por YAMAGUCHI e MURAKAMI (1978), onde se tem para fins de comparação, resultados, mostrando a evolução do grau de recalque de consolidação em função do tempo.

## 5.2 - PROBLEMA I

## 5.2.1 - Generalidades.

Onze casos diferentes de um aterro, colocado sobre uma camada de solo compressível, cujo parâmetro  $b$  (semi-largura da plataforma do aterro) varia de zero a dez, foram analisados. Os parâmetros geométricos e mecânicos envolvidos nessa análise são mostrados na Figura 5.1.

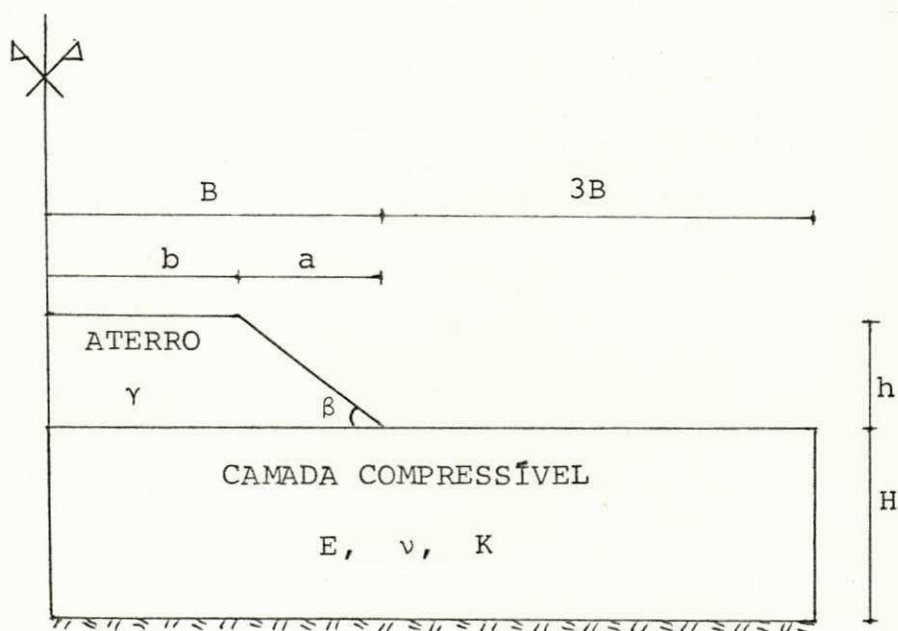


Figura 5.1 - Parâmetros geométricos e mecânicos envolvidos no problema.

## - Parâmetros geométricos

$H$  - altura da camada de solo compressível ( $H=10\text{m}$ ).

$h$  - altura do aterro ( $h = 4\text{m}$ ).

$B$  - semi-largura da base do aterro.

$b$  - semi-largura da plataforma do aterro.

$a$  - diferença entre a semi-largura da base do aterro e a semi-largura da plataforma do aterro.

$\beta$  - ângulo de inclinação do talude do aterro ( $\beta=3:2$ )

- Parâmetros mecânicos

E - módulo de deformação elástica da camada de solo compressível.

$\nu$  - coeficiente de Poisson da camada de solo compressível.

$\gamma$  - massa específica do material do aterro.

K - permeabilidade da camada de solo compressível.

#### 5.2.2 - Malha de elementos finitos

A fundação do aterro correspondente à camada compressível foi dividida em 64 elementos, que se distribuem conforme mostra a Figura 5.2. Essa malha de elementos finitos é gerada pelo programa "SOL", bastando para isso, que o usuário forneça as respectivas coordenadas, horizontal e vertical, dos meios dos lados dos triângulos.

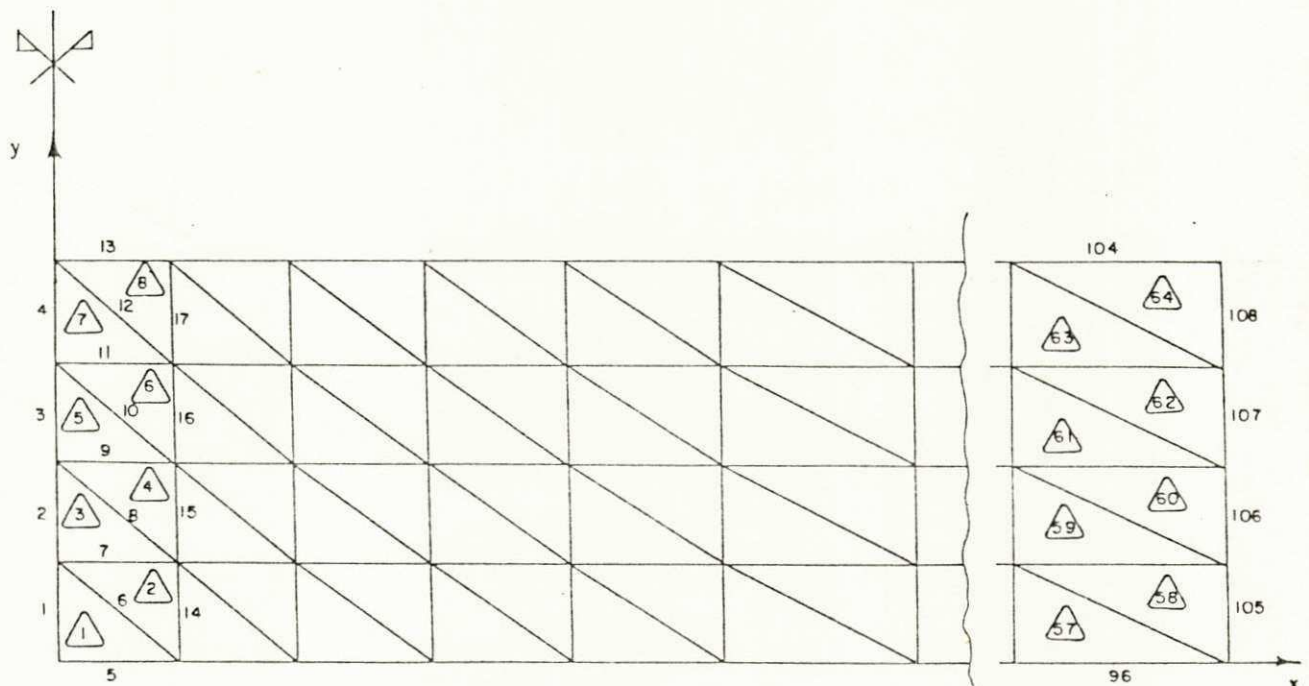


Figura 5.2 - Rede de elementos finitos.

A região mais próxima do centro do aterro, onde maiores deslocamentos eram esperados, dividiu-se em elementos menores. As dimensões dos elementos aumentam gradativamente à medida que os mesmos se distanciam dessa região.

### 5.2.3 - Condições fronteiras

A fixação das fronteiras confinantes da rede de elementos finitos, obedecem aos seguintes critérios:

- a fronteira à frente do talude foi determinada analisando-se várias distâncias do pé do talude a esta fronteira, considerando-se os deslocamentos horizontais bloqueados ( $u = 0$ ), e liberando-se os mesmos sobre a fronteira em foco. Acredita-se que a situação real, ocupa uma posição intermediária. Desta forma, os deslocamentos a serem comparados com a teoria de TERZAGHI, serão aqueles obtidos pela média entre as duas situações. A fronteira ideal é considerada aquela que dista  $3,0 B$  a partir do pé do talude (ver Figura 5.1).

- a outra fronteira lateral foi colocada no eixo de simetria vertical do aterro. Nesses pontos de GAUSS somente os deslocamentos verticais são permitidos.

- a fronteira superior, corresponde à superfície superior da camada de solo compressível (ver Figura 5.3).

- a fronteira inferior, corresponde à superfície inferior da camada de solo compressível (ver Figura 5.3).



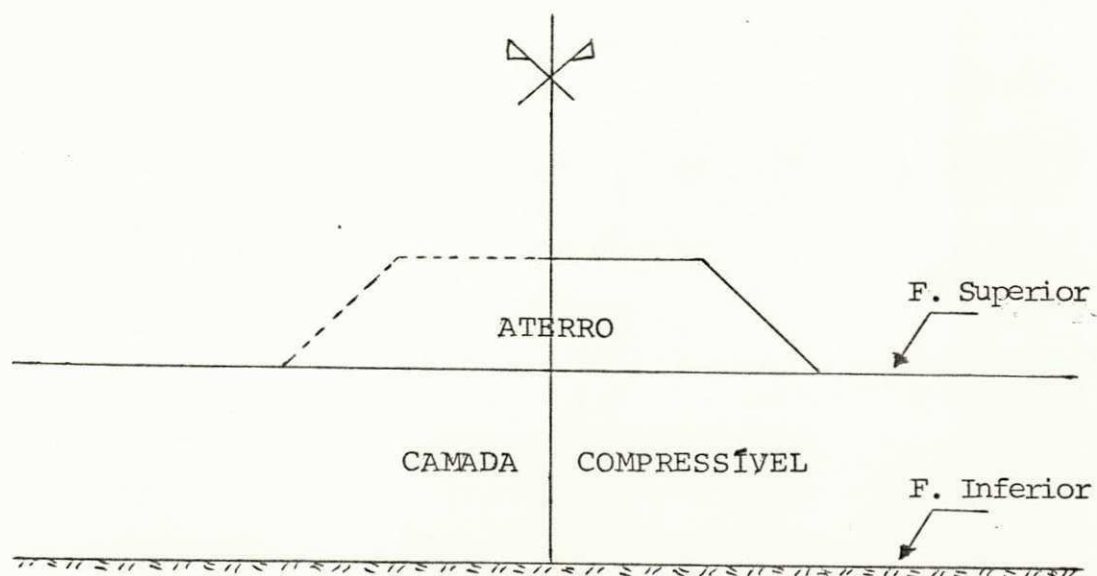


Figura 5.3 - Camada compressível e aterro.

Para obtenção dos recalques finais de consolidação pelo programa "SOL" foram estabelecidas as seguintes especificações sobre as fronteiras do problema:

- os deslocamentos horizontais, ora são especificados nulos na fronteira lateral à frente do talude (fronteira bloqueada), ora são liberados (fronteira não bloqueada).

- os deslocamentos verticais, são especificados nulos na fronteira inferior, pois, trata-se de uma fronteira rígida (por exemplo: camada rochosa).

- as pressões são especificadas nulas na fronteira superior da camada compressível, permitindo, desta forma, uma perfeita drenagem.

- as vazões são especificadas nulas nas fronteiras

laterais e inferior, não permitindo, assim, nenhuma percolação de água, através das mesmas, sendo, portanto, fronteiras impermeáveis.

- as tensões são especificadas em partes da fronteira superior correspondentes à interface (aterro-camada compressível).

#### 5.2.4 - Escolha dos parâmetros mecânicos

Os parâmetros mecânicos foram estabelecidos, analisando-se, através das fontes bibliográficas, valores que melhor se adaptavam ao problema estudado. Portanto, adotaram-se os seguintes valores:  $\nu = 0,33$ ,  $E = 1500 \text{ kPa}$ ,  $K = 2 \times 10^{-5} \text{ m/dia}$  e  $\gamma = 18 \text{ kN/m}^3$ .

5.2.5 - Cálculo dos recalques finais através da teoria de TERZAGHI.

Os recalques finais de consolidação foram calculados usando a expressão 5.1.

$$r = m_v \sigma H = \frac{\gamma h H I \sigma}{E} \quad (5.1)$$

onde:  $r$  é o recalque final de consolidação.

$m_v$  é o coeficiente de compressão

$\sigma$  é a tensão correspondente à carga aplicada sobre a camada compressível.

$I \sigma$  é o coeficiente de influência, no nível correspondente ao centro da altura da camada compressível.

$H$  é a altura da camada compressível.

A determinação dos coeficientes de influência, foi feita em função dos parâmetros geométricos do aterro ( $\frac{a}{z}$ ,  $\frac{b}{z}$ ,  $z = \frac{H}{2}$ ), através da Figura 5.4.

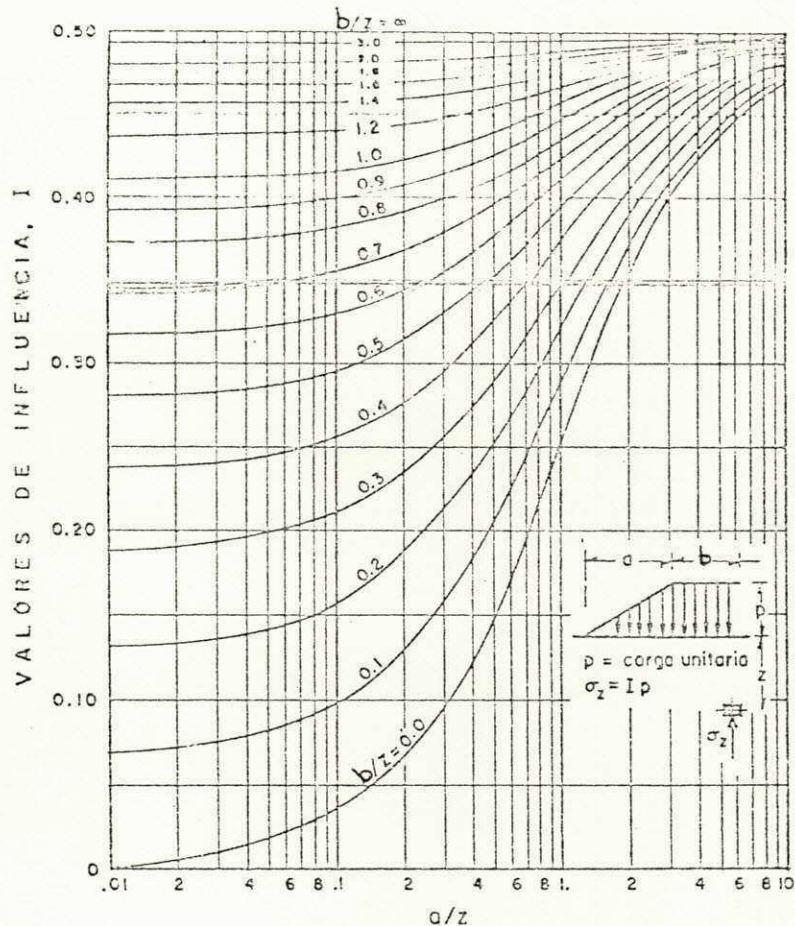


Figura 5.4 - Gráfico dos valores de influência para o cálculo de esforços verticais devido à sobrecarga imposta por uma carga trapezoidal de longitude infinita (segundo J. O. Osterberg).

#### 5.2.6 - Análise dos resultados

O bom funcionamento do programa "SOL" foi mostrado, comparando-se os recalques finais obtidos pela teoria clássica unidimensional de TERZAGHI com a solução unidimensio-

nal obtida com o programa, pois, constatou-se uma discrepância praticamente desprezível.

Para verificar o uso da teoria acima citada, a fim de aproximar um problema bidimensional, durante o cálculo do recalque final no centro e no pé do talude de um aterro trapezoidal de geometrias variáveis, colocado acima de uma camada compressível, comparou-se o resultado obtido com a solução bidimensional obtida pelo programa.

Os recalques finais calculados no centro do aterro por ambas as teorias, estão apresentados na Tabela 5.1, com as suas respectivas discrepâncias, podendo as mesmas chegarem até 11,2%, enquanto os calculados no pé do talude apresentaram discrepâncias de até 35,0%.

b (m)	r(bloqueado) (cm)	r(não bloqueado) (cm)	r(médio) (cm)	r(Terzaghi) (cm)	Diferença Relativa (%)
0,0	24,6	25,5	25,1	26,9	7,2
1,0	29,0	29,9	29,5	32,8	11,2
2,0	34,0	35,5	34,7	37,2	7,2
3,0	36,5	38,0	37,3	40,5	8,6
4,0	38,1	39,7	38,9	42,4	9,0
5,0	39,3	40,9	40,1	44,1	10,0
6,0	40,0	41,7	40,8	45,1	10,5
7,0	40,4	42,3	41,4	45,7	8,9
7,5	41,0	42,8	41,9	46,3	10,5
9,0	41,3	43,2	42,2	46,6	10,4
10,0	41,4	43,2	42,3	46,8	10,6

Tabela 5.1 - Recalques calculados no centro do aterro.

### 5.3 - PROBLEMA II

#### 5.3.1 - Generalidades

Dois casos diferentes de um aterro, colocado acima de uma camada compressível, apresentando relações entre a semi-largura ( $b$ ) e a altura da camada compressível ( $H$ ), tais como,  $\frac{b}{H} = 0,1$  e  $\frac{b}{H} = 2,0$  foram analisados, visando-se avaliar a velocidade de consolidação. Para isso, traçaram-se curvas do grau de recalque de consolidação no centro da base inferior do aterro em função do tempo com os resultados obtidos pelo programa, a fim de compará-las com as curvas de YAMAGUCHI e MURAKAMI (1978), mostradas na Figura 3(a) da página 101. Essas curvas de YAMAGUCHI e MURAKAMI (1978) foram obtidas a partir de uma solução analítica do mesmo problema, usando as mesmas geometrias.

Os autores acima citados, analisaram curvas de evolução do grau de recalque de consolidação em função do tempo para cinco diferentes geometrias, porém, foram escolhidos os dois casos extremos citados anteriormente, ou sejam,  $\frac{b}{H} = 0,1$  e  $\frac{b}{H} = 2,0$ , a fim de compará-las com as curvas obtidas com o programa "SOL".

Os parâmetros mecânicos envolvidos nessa análise são os mesmos mostrados na Figura 5.1, enquanto os geométricos estão apresentados na Figura 5.5.

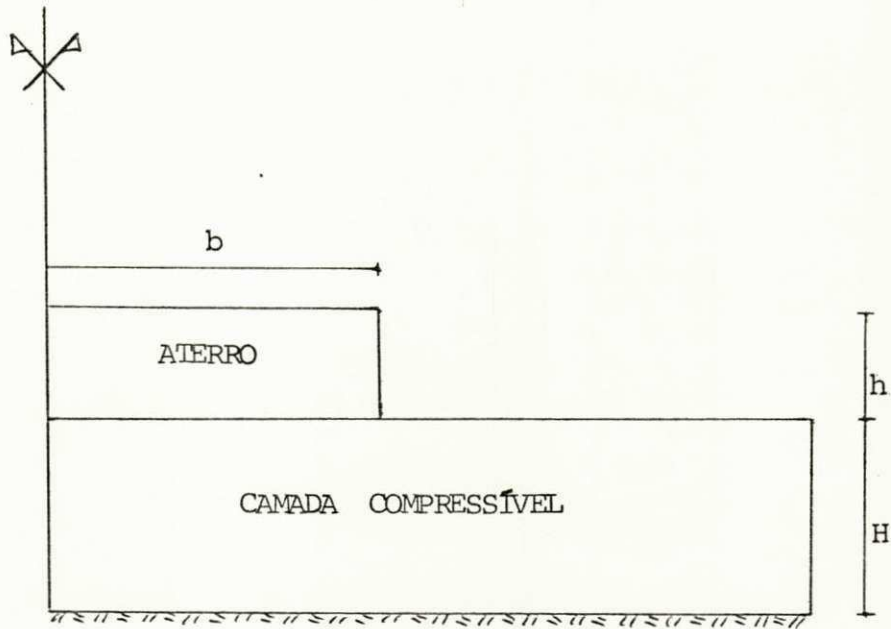


Figura 5.5 - Parâmetros geométricos.

onde,

H - altura da camada compressível

h - altura do aterro ( $h = 4\text{m}$ )

b - semi-largura do aterro.

### 5.3.2 - Malha de elementos finitos

A malha usada é a mesma que a apresentada no parágrafo 5.2.2.

### 5.3.3 - Condições fronteiras

As condições fronteiras utilizadas são as mesmas usadas durante a análise dos recalques finais, apresentadas

no parágrafo 5.2.3.

#### 5.3.4 - Escolha dos parâmetros mecânicos

Apenas o coeficiente de Poisson do esqueleto sólido foi modificado para o valor  $\nu = 0,30$ , a fim de concordar com o mesmo usado por YAMAGUCHI e MURAKAMI (1978). Os outros parâmetros permaneceram os mesmos utilizados no parágrafo 5.2.4.

#### 5.3.5 - Cálculo do grau de recalque de consolidação

O grau de recalque de consolidação foi calculado usando a mesma expressão utilizada por YAMAGUCHI e MURAKAMI (1978), sendo dada pela seguinte equação:

$$U_s(T) = \frac{\begin{matrix} (T = T) \\ Wz = 1 \end{matrix} - \begin{matrix} (T = 0) \\ Wz = 1 \end{matrix}}{\begin{matrix} (T \rightarrow \infty) \\ Wz = 1 \end{matrix} - \begin{matrix} (T = 0) \\ Wz = 1 \end{matrix}} \quad (5.2)$$

Nessa equação 5.2 T é o fator tempo, sendo o mesmo calculado pela expressão 5.3.

$$T = \frac{C_v t}{H^2} \quad (5.3)$$

onde,  $C_v$  é o coeficiente de consolidação vertical

t é o tempo de consolidação

H é o maior caminho de drenagem, sendo nesse caso, a altura total da camada compressível devido a mesma ser apenas drenada pela fronteira superior.

O numerador da expressão 5,2 é o recalque de consolida  
ção, calculado no centro da base inferior do aterro ( $z = 1$ ),  
 para o tempo  $t$  correspondente ao fator tempo ( $T$ ). Esse recal-  
 que de consolidação é dado pela diferença entre o recalque  
 calculado no tempo  $t$   $(T = T)$  e o mesmo calculado no tempo  
 $t=0$   $(T = 0)$ ,  
 $(Wz = -1)$ .

O denominador da expressão 5,2 é o recalque de consoli  
dação calculado no centro da base inferior do aterro, sendo o  
 mesmo dado pela diferença entre o recalque final  $(T \rightarrow \infty)$  e o  
 recalque inicial  $(T = 0)$ ,  
 $(Wz = -1)$ .

No caso da teoria unidimensional de TERZAGHI, o grau  
 de recalque de consolidação é igual ao grau de consolidação ,  
 pelo fato de que no tempo  $t=0$ , correspondente ao momento da  
 aplicação do carregamento, o recalque inicial é nulo. Isto se  
 deve ao fato de, nesse caso particular, tanto a parte esféri-  
 ca quanto a desviatôrica do tensor das deformações serem nu  
las.

### 5,3.6 - Análise dos resultados

O processo de evolução do grau de recalque de consoli-  
 dação no tempo, após a aplicação do carregamento foi verifica-  
 do, comparando-se os resultados obtidos com o programa com os  
 mesmos obtidos analiticamente por YAMAGUCHI e MURAKAMI (1978),  
 durante a obtenção da solução de um problema de elasto-conso-  
 lidação bidimensional de um maciço de solo compressível subme-  
 tido ao carregamento de um aterro retangular. Essa comparação



foi feita para duas geometrias diferentes, onde se observou uma aceitável concordância entre os resultados.

A evolução do grau de recalque de consolidação com o tempo, correspondente à solução de um problema unidimensional usando o programa "SOL", está apresentada na Figura 5.6, juntamente com a curva obtida por YAMAGUCHI e MURAKAMI (1978), como também, a curva de TERZAGHI convencional utilizada frequentemente em projetos de fundações. Como se pode observar, houve uma aceitável concordância entre os resultados obtidos.

As Figuras 5.7 e 5.8 apresentam respectivamente as curvas do grau de recalque de consolidação em função do tempo, correspondentes à solução de um problema bidimensional usando o programa, juntamente com as curvas obtidas por YAMAGUCHI e MURAKAMI (1978), referentes às duas geometrias analisadas, ou sejam,  $\frac{b}{H} = 0,1$  e  $\frac{b}{H} = 2,0$ , como também, a curva de TERZAGHI convencional.

Comparando-se os resultados obtidos com o programa e os mesmos determinados analiticamente por YAMAGUCHI e MURAKAMI (1978), observou-se uma aceitável concordância.

As discrepâncias observadas para os tempos maiores são devidos à imprecisão dos cálculos, quando usados grandes incrementos de tempo ( $\Delta t$ ), pois como se sabe durante a discretização no tempo mostrada no parágrafo 3.6.2, usou-se a seguinte aproximação:

$$\dot{\delta}^{\textcircled{e}} = \frac{\delta^{\textcircled{e}}(t + \Delta t) - \delta^{\textcircled{e}}(t)}{\Delta t} \quad (5.4)$$

Portanto, para maiores valores de  $\Delta t$  a aproximação das derivadas com relação ao tempo do vetor  $\delta^{\textcircled{e}}$  mostrada na equação 5.4, pode acarretar erros e gerar resultados imprecisos.

Analisando-se por exemplo a curva do grau de recalque de consolidação em função do tempo para a geometria  $\frac{b}{H} = 0,1$  (ver Fig. 5.7), pode-se constatar que para um tempo  $T = 0,01$ , o grau de recalque de consolidação atinge aproximadamente 10% usando a curva de TERZAGHI convencional, enquanto atingiria 41% do mesmo utilizando a curva obtida com o programa "SOL".

As mesmas curvas da Figura 5.7 mostram também que para atingir o mesmo grau de recalque de consolidação ( $U_s = 41\%$ ) obtido pelo programa depois de 11 meses ( $T=0,01$ ), precisa-se de aproximadamente 13 anos usando a curva de TERZAGHI convencional.

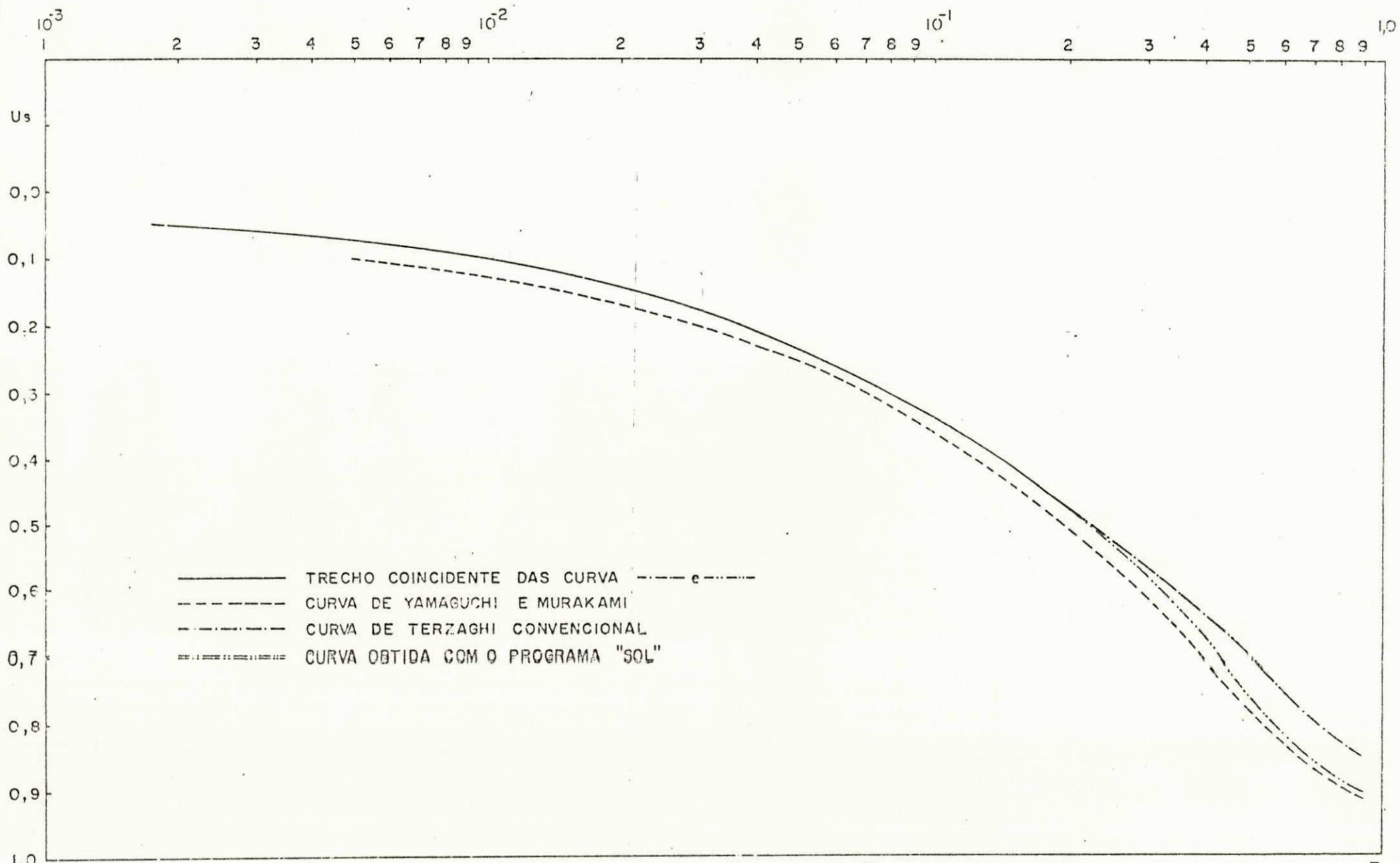


Figura 5.6 - Curvas do grau de recalque de consolidação em função do fator tempo, no caso de um problema unidimensional.

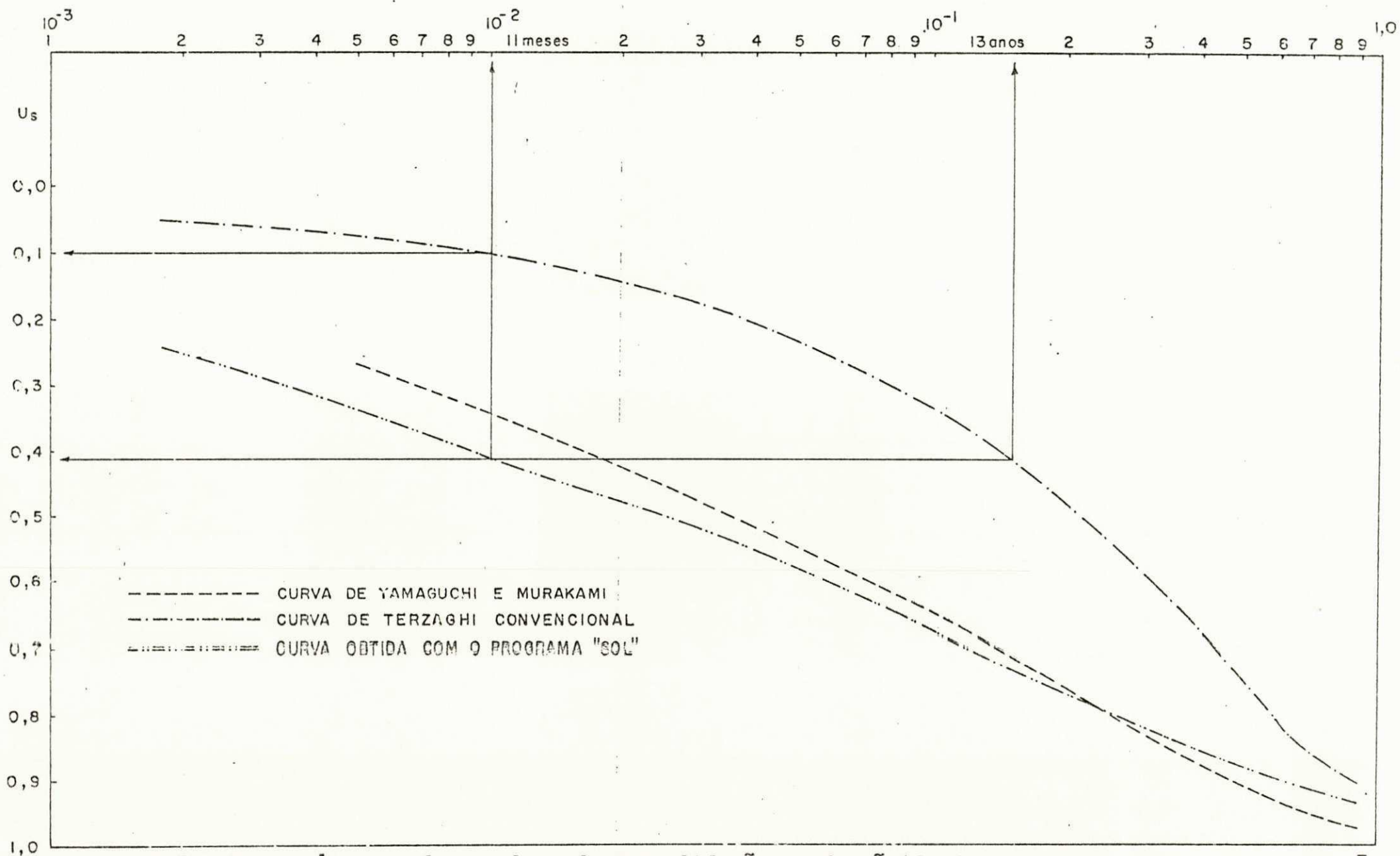


Figura 5.7 - Curvas do grau de recalque de consolidação em função do fator tempo, no caso de um problema bidimensional, para a geometria  $\frac{b}{H} = 0,1$ .

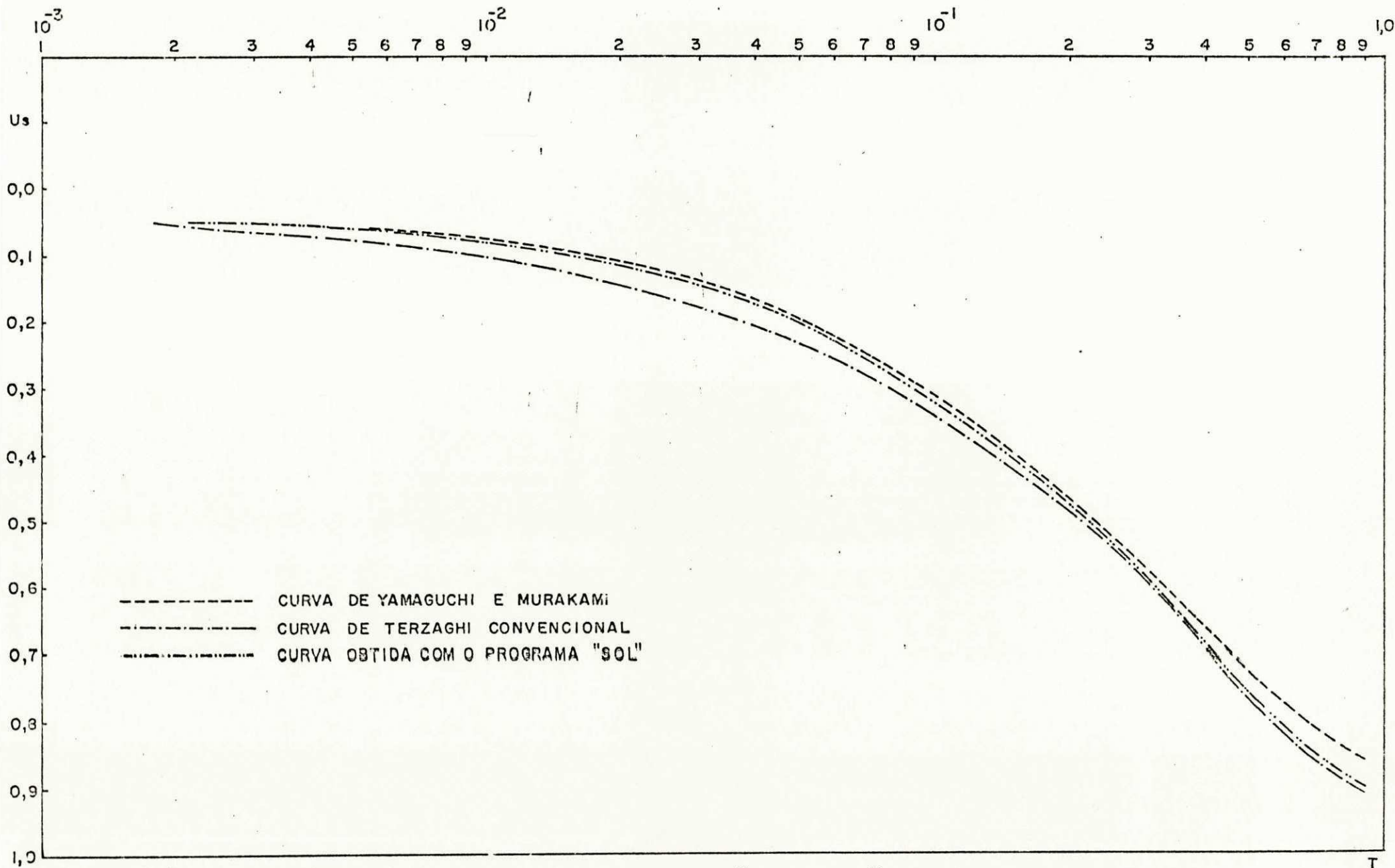


Figura 5.8 - Curvas do grau de recalque de consolidação em função do fator tempo, no caso de um problema bidimensional, para a geometria  $\frac{b}{H} = 2,0$ .

#### 5.4 - USO GERAL DO PROGRAMA "SOL

O uso geral do programa "SOL, consiste em estudar o comportamento a curto prazo, longo prazo e no decorrer do tempo de quaisquer tipos de fundações bidimensionais postas sobre camadas compressíveis.

Dois casos podem ser considerados dependendo da rigidez da fundação:

a) a rigidez da fundação pode ser desprezada (fundação completamente flexível). Isto se refere ao caso particular analisado neste trabalho, ou seja, construção de aterros e barragens de terra no topo das camadas compressíveis. Neste caso, o corpo do aterro não está incorporado na malha de elementos finitos, e as pressões de contato entre a base inferior do aterro e a camada compressível são algumas das condições fronteiras do problema, devendo ser determinadas antecipadamente a fim de servirem de dados do programa.

Evidentemente, nenhuma informação sobre o estado das deformações e tensões dentro do corpo do aterro será determinada pelo programa. Este caso será usado quando as deformações e recalques das camadas compressíveis forem muito mais importantes que a própria deformação do corpo do aterro.

b) a rigidez da fundação é levada em consideração na análise das deformações e recalques. Portanto, a geome-

tria do maciço da fundação (sapata corrida, radier, muro de arrimo) está incorporada à malha de elementos finitos. As características mecânicas dos materiais que constituem a fundação são também consideradas.

Dois subcasos podem então ser tratados:

- b.1 - O maciço da fundação atua como simples transmissor de cargas entre uma superestrutura (edifícios, pontes) e as camadas compressíveis. Essas cargas, como também, os seus pontos de aplicação devem ser conhecidos, a fim de fazer parte dos dados de entrada do programa.
  
- b.2 - O maciço da fundação atua como carga pelo seu peso próprio. Isto, se refere ao caso de um aterro sobre uma camada compressível, onde as próprias deformações e recalques, dentro do corpo do aterro sob o único efeito do peso do seu material constituente não são desprezadas na frente das mesmas nas camadas inferiores. Essas camadas inferiores, podem ser camadas rígidas como no caso de uma barragem de terra sobre rocha.

## CAPÍTULO 6

### CONCLUSÕES E SUGESTÕES PARA PESQUISAS FUTURAS

#### 6.1 - CONCLUSÕES

As conclusões que podem ser fornecidas, a partir dos resultados numéricos obtidos, são as seguintes:

1) O programa "SOL" uma vez implantado no sistema computacional do NPD-UFPb, está fornecendo resultados numéricos aceitáveis, quando trata de um problema de elasto-consolidação bidimensional.

2) Os resultados apresentados na Tabela 5.1 mostram que o uso da teoria unidimensional de TERZAGHI para aproximar um problema bidimensional, durante o cálculo do recalque final no centro da base inferior de um aterro, colocado acima de uma camada compressível, pode gerar discrepâncias de até 11,2%.

3) No pé do talude, os resultados obtidos mostram que os recalques finais calculados pelo programa podem chegar a ter uma discrepância de até 35,0% com relação aos mesmos calculados pelos métodos clássicos.

4) O uso da teoria clássica unidimensional de TERZAGHI para aproximar um problema bidimensional, como foi o caso de uma camada compressível submetida a um carregamento retangular, pode trazer grandes erros quando da avaliação da



velocidade de consolidação.

5) Sempre que surgir um problema bidimensional, em que se tenha grande interêsse de conhecer melhor a evolução do grau de recalque de consolidação em função do tempo (projeto de construção por etapa de um aterro), deve ser utilizado o programa "SOL" para tratá-lo.

## 6.2 - SUGESTÕES PARA PESQUISAS FUTURAS

- Modificação do programa "SOL", para o tratamento de um problema tridimensional, apresentando uma simetria de revolução (projetos de drenos de areia).

- Fazer um estudo comparativo entre os resultados obtidos com o programa "SOL" e a teoria de TERZAGHI com os mesmos obtidos durante uma instrumentação de um aterro sobre camada compressível.

- Estudar o efeito dos parâmetros mecânicos ( $E$ ,  $\nu$ ) da camada de solo compressível, sobre as curvas do grau de recalque de consolidação em função do fator tempo.

## REFERÊNCIAS BIBLIOGRÁFICAS

- Abramowitz, M. and Stegun, I. A., Handbook of Mathematical Functions, DOVER PUBLICATIONS, Inc., New York, p. 916, 1972.
- Brebbia, C. A. and Cannon, J. J., Fundamentals of finite Element Techniques, A HALSTED PRESS BOOK, 1974.
- Biot, M. A., General Theory of Three-dimensional consolidation, J. Appl. Phys., Vol. 12, pp. 155-164, 1941.
- Biot, M. A. and Willis, D. G., The Elastic Coefficients of the theory of consolidation, J. Appl. Phys., Vol. 79, pp. 594-601, 1957.
- Biot, M. A., Consolidation Settlement under a Rectangular Load Distribution, J. Appl. Phys., Vol. 12, pp. 426 - 430, 1941.
- Biot, M. A., and Clingam, F. M., Consolidation Settlement of a Soil With an Impervious Top Surface, J. Appl. Phys, Vol. 12, pp. 578-581, 1941.
- Cryer, C. W., A comparison of the three-dimensional theories of Biot and Terzaghi, Q. J. Mech. Appl. Math., Vol. 16, pp. 401-412, 1962.

Christian, J. T., Soil Mechanics and Foundations Division, J. Soil Mech. Found. Div. ASCE, Vol. 94, n<sup>o</sup> SM6, pp. 1333-1345, 1968.

Christian, J. T. and Boehmer W., Plane Strain Consolidation by Finite Elements, J. Soil. Mech. Found. Div. ASCE , Vol. 96, n<sup>o</sup> SM4, pp. 1435-1457, 1970.

Desai, C. S. and Christian, J. T., Numerical Methods in Geotechnical Engineering, McGraw-Hill Book Company, 1977.

Desai, C. S. and Abel, J. F., Introduction to the Finite Element Method, VAN NOSTRAND REINHOLD COMPANY, Inc., New York, 1972.

Fortin, M. and Soulié, M., A non conforming piecewise quadractic finite element on triangles, International Journal for Numerical Methods in Engineering, Vol. 19, pp. 505-520, 1983.

Luenberger, D. G., Optimization by Vector Space Methods , JOHN WILEY, & SONS, Inc., New York, pp. 302-307, 1969.

Mandel, J., Consolidation des Sols, Geotechnique, Vol. 3, pp. 287-299, 1957.

Terzaghi, K., Teorical Soil Mechanics, JOHN WILEY & SONS , Inc., New York, 1943.

Zienkiewicz, O. C., The Finite Element Method, McGraw-Hill Book Company, 1977.

Yamaguchi, H. and Murathami, Y., Plane Strain Consolidation of a Clay Loayer With Finite Thickness, Soils and Foundations, vol. 16, n<sup>o</sup> 3, pp. 67-79, 1976.

Yamaguchi, H., and Murakami, Y., Some Analytical Results of a Plane Strain Consolidation Problem of a Clay Layer With Finite Thickness, Soil and Foundations, Vol. 16, n<sup>o</sup> 3, pp. 98 - 104, 1978.

APÊNDICE I

## LISTA DAS VARIÁVEIS DO PROGRAMA "SOL"

- ANOR - fator de normalização
- R - fator de convergência
- EPI - critério de convergência da solução
- K<sub>0</sub> - coeficiente de empuxo no repouso
- CONTRI- critério de existência de tensões efetivas iniciais
- NBW4 - largura da banda da matriz de rigidez global com 4 graus de liberdade por lado
- NBW5 - largura de banda da matriz de rigidez global com 5 graus de liberdade por lado
- NN5 - número de linhas da matriz de rigidez global com 5 graus de liberdade por lado
- NEC - número total de etapas de consolidação
- NLIM - número de etapa de consolidação a partir da qual o carregamento permanece constante
- NP<sub>ERM</sub> - critério de opção para obtenção da etapa de consolidação suplementar
- NOPT - critério de opção para acompanhamento ou não do processo de consolidação
- N<sub>S</sub> - número de vértices do elemento (N<sub>S</sub> = 3)
- NDSOM - critério de opção para determinação das componentes do vetor deslocamento nos vértices do elemento da malha

- ROW - peso específico da água conforme o sistema de unidades
- NTT - número total de triângulos da malha
- NCT - número total de lados da malha
- NSPEC - número total de especificações em  $u$ ,  $v$  e  $q$
- NSPx - número total de lados da malha, onde existe especificações das componentes horizontais do vetor deslocamento ( $u$ )
- NSPy - número total de lados da malha, onde existe especificações das componentes verticais do vetor deslocamento ( $v$ )
- NTSP - número total de lados na fronteira  $S_t$ , onde existe tensões especificadas
- NKEL - número total dos diferentes materiais
- NQS - número total de lados na fronteira  $S_Q$ , através dos quais a vazão está especificada
- NC - número de lados por elemento  $NC = 3$  (elemento triangular)
- J - número do triângulo
- NPRIM - critério inicializado com o valor nulo, sendo o mesmo modificado para o valor 1 no caso de execução de uma etapa de consolidação suplementar ( $NPERM=1$ )
- NTN - número total de pontos de GAUSS na malha
- NSPZ - número total de especificações em  $u$  e  $v$
- NPS - número de lados com pressões especificadas
- G - raiz positiva do polinômio de LEGENDRE do segundo grau

- AA - constante de passagem do centro de um lado para o primeiro ponto de GAUSS deste lado
- BB - constante de passagem do centro de um lado para o segundo ponto de GAUSS deste lado
- N - número da etapa de consolidação
- CONS - constante cujo valor é 1 para fase não drenada ( $N=1$ ) e 2 durante o processo de consolidação ( $N > 1$ )
- NLC - número de graus de liberdade por lado:  $NLC=4$  para fase não drenada e  $NLC=5$  durante o processo de consolidação
- LR - número de graus de liberdade eliminados dentro da matriz de rigidez elementar:  $LR=4$  para fase não drenada e  $LR=2$  durante o processo de consolidação
- LLR - número de graus de liberdade restante depois da eliminação na matriz de rigidez elementar:  $LLR=13$  para fase não drenada e  $LLR=15$  durante o processo de consolidação
- KDIM - número de graus de liberdade sobre os lados de um triângulo:  $KDIM=12$  para fase não drenada e  $KDIM = 15$  durante o processo de consolidação
- KDIM<sub>1</sub> - variável inteira destinada a subdividir o vetor auxiliar  $yyw$  em blocos de 13 posições, onde cada bloco se refere a um triângulo, no caso não drenado
- KINC - variável inteira igual ao produto do número de graus de liberdade sobre um lado (4 ou 5) pelo número de lados de um triângulo ( $NC=3$ ) vezes o número total de triângulos (MIT)



- NGEL - maior número possível de graus de liberdade dentro de um triângulo (MGEL = 17)
- NN - número total de graus de liberdade sobre os lados da malha: NN = NN4 para fase não drenada e NN = NN5 durante o processo de consolidação
- DTIME - incremento da variável tempo, sendo o mesmo igual a duas vezes o intervalo de tempo entre o tempo atual e o último tempo para o qual a solução foi calculada.
- TIMEN - tempo atual para o qual se quer calcular a solução
- NBW - largura de banda da matriz de rigidez global
- KELJ) - número do material constituindo o elemento número J
- INDEX - indicador do estado de adensamento do material constituindo o elemento número J
- N1 - número do primeiro lado do triângulo de número J
- N2 - número do segundo lado do triângulo de número J
- N3 - número do terceiro lado do triângulo de número J
- A1 - componente horizontal do segundo lado do triângulo de número J, orientado no sentido antihorário
- A2 - componente horizontal do terceiro lado do triângulo de número J, orientado no sentido antihorário
- A3 - componente horizontal do primeiro lado do triângulo de número J, orientado no sentido antihorário
- B1 - componente vertical do segundo lado do triângulo de número J, orientado no sentido antihorário
- B2 - componente vertical do terceiro lado do triângulo de número J, orientado no sentido antihorário

- B<sub>3</sub> - componente vertical do primeiro lado do triângulo de número J, orientado no sentido antihorário
- AIRE - área orientada do triângulo de número J
- LONG5 - comprimento do segundo lado do triângulo de número J
- LON6 - comprimento do terceiro lado do triângulo de número J
- LON4 - comprimento do primeiro lado do triângulo de número
- NTTSP - número total de triângulos, onde em um dos lados existe tensões especificadas
- NTUVPQ - número total de triângulos, onde em um dos lados existe pelo menos uma das variáveis (u, v, p, Q) especificadas
- F - vetor segundo membro elementar conforme
- UV - componentes do vetor deslocamento generalizado no elemento "SOL"
- UVS - componentes do vetor deslocamento no elemento conforme
- UMAT - matriz de passagem dos deslocamentos para as deformações, no caso do elemento conforme
- EG - vetor auxiliar, descrevendo o tensor das deformações num ponto nodal
- XYG - vetor deformação reduzido
- SIG - vetor tensão reduzido
- S - vetor constante, usado para calcular as deformações nos meios dos lados e centro dos elementos

- CU - vetor formado pelos coeficientes da relação entre as componentes horizontais do vetor deslocamento nos pontos de GAUSS
- CV - vetor formado pelos coeficientes da relação entre as componentes verticais do vetor deslocamento nos pontos de GAUSS
- WU - vetor formado pelos coeficientes da relação entre as componentes horizontais do vetor deslocamento nos pontos de GAUSS e as pressões nos meios dos la dos dos elementos
- WV - vetor formado pelos coeficientes da relação entre as componentes verticais do vetor deslocamento nos pontos de GAUSS e as pressões nos meios dos lados do elemento
- ALFA - coeficiente de penalidade
- INDEX - variável indicadora do estado de adensamento do material constituindo o elemento
- NNE - número do lado do elemento
- KEL - número do material constituindo o elemento
- NTA - número do triângulo adjacente
- KW - variável indicadora da existência de água ou não dentro do elemento
- $R_x$  - quociente da permeabilidade horizontal pelo peso específico da água
- $R_y$  - Quociente da permeabilidade vertical pelo peso específico da água
- IT - variável indicadora de tensões especificadas sobre os lados dos elementos

- ISP - variável indicadora de  $u$ ,  $v$  e  $q$  especificadas sobre os lados dos triângulos
- FK - vetor auxiliar, onde estão arquivados os segundos membros das equações lineares, provenientes das eliminações dos graus de liberdade
- Y<sub>W</sub> - vetor auxiliar, onde estão arquivados os coeficientes das equações lineares provenientes das eliminações dos graus de liberdade
- (xx,yy,zz, ww) - matrizes auxiliares calculadas na subrotina COMP e usadas na construção da parte da matriz de rigidez elementar conforme RAS, referente aos esqueleto sólido
- (CCA, CCB) - matrizes auxiliares calculadas na subrotina COMPC e usadas na construção das partes da matriz de rigidez elementar conforme FAS, referentes ao acoplamento elasticidade-escoamento
- RKB - matriz auxiliar de permeabilidade usada na construção da parte da matriz de rigidez elementar RAS, referente ao escoamento
- MM<sub>2</sub> - é o vetor força global equivalente às forças de volume exercidas sobre o esqueleto sólido, obtido por montagem dos vetores elementares {MM<sub>2e</sub>}
- MM<sub>1</sub> - vetor força global equivalente às tensões iniciais, obtido por montagem dos vetores elementares {MM<sub>1e</sub>}

- MM<sub>3</sub> - vetor força global equivalente às forças de volume exercidas sobre a água, obtido por montagem dos vetores elementares  $\{MM_{3e}\}$
- PP<sub>1</sub> - vetor força global equivalente às tensões especificadas e imposta na fronteira  $S_t$
- PP<sub>2</sub> - vetor força global equivalente às vazões especificadas e impostas na fronteira  $S_Q$
- T<sub>x</sub> - componente horizontal do vetor tensão
- T<sub>y</sub> - componente vertical do vetor tensão
- D - matriz de elasticidade
- A - matriz que relaciona as componentes horizontais ou verticais do vetor deslocamento do elemento "SOL" com os mesmos do elemento conforme
- LIGN - quadro tridimensional, composto de 68 posições, que serão utilizadas na determinação do primeiro vetor transposição ITRA
- ITRA - vetor transposição
- B - matriz que relaciona ao mesmo tempo todos os graus de liberdade do elemento "SOL" com os mesmos do elemento conforme
- BTK - matriz auxiliar, obtida pelo produto da matriz por B
- FNC - vetor segundo membro elementar não conforme
- XI - abscissa do meio do lado do triângulo

- YI - ordenada do meio do lado do triângulo
- FFK - vetor auxiliar, onde estão arquivados os décimos terceiros valores dos vetores segundo membro elementares não conforme, no caso não drenado (vetor reduzido)
- YYW - vetor auxiliar onde estão arquivados os coeficientes das décimas terceiras linhas das matrizes de rigidez elementares não conforme, no caso não drenado (matriz reduzida)
- NDEL - número do lado onde u, v ou q é especificado
- DEL - valor da especificação de u, v ou q no lado cujo número é NDELICI)
- DEP - vetor deslocamento global
- ABAND - matriz de rigidez global
- FAS - vetor segundo membro global
- T - componentes do vetor tensão nas extremidades do lado
- LT - número do lado onde existe tensões especificadas
- LQ - número do lado onde (Q) é especificado
- NUV - coeficiente de Poisson vertical
- NUH - coeficiente de Poisson horizontal
- ELASTV - módulo de elasticidade vertical de YOUNG
- ELASTH - módulo de elasticidade horizontal de YOUNG
- GV - módulo de cisalhamento
- R<sub>o</sub> - peso específico do solo compressível

- $R_{XT}$  - coeficiente de permeabilidade horizontal do solo compressível
- $R_{YT}$  - coeficiente de permeabilidade vertical do solo compressível
- SIVC - pressão do pré-adensamento vertical
- SIHC - pressão do pré-adensamento horizontal
- TIME - tempo de consolidação
- NWN - vetor auxiliar usado para fabricação dos triângulos adjacentes a um triângulo
- SIGT - vetor auxiliar descrevendo o estado das tensões efetivas num ponto nodal
- UVP - vetor deslocamento elementar existente no tempo posterior
- UVT - vetor deslocamento elementar atual (no tempo t)
- SIGPW - vetor auxiliar descrevendo o estado das tensões efetivas nos centros de cada lado de um elemento, no tempo posterior
- SIGTW - vetor auxiliar descrevendo o estado das tensões efetivas nos centros de cada lado de um elemento, no tempo atual
- PRES - vetor auxiliar dos acréscimos das pressões nos centros de cada lado de um elemento, obtidos durante uma fase de consolidação
- PRESP - vetor auxiliar das pressões calculadas nos centros de cada lado de um elemento, no tempo posterior

- PREST - vetor auxiliar das pressões calculadas nos centros de cada lado de um elemento, no tempo atual
- AKNC - matriz de rigidez elementar não conforme
- RAS - matriz de rigidez elementar conforme.



APÊNDICE II

## DADOS DE ENTRADA DO PROGRAMA "SOL"

1º CARTÃO (ANOR, R, EPI, Ko, CONTRI, ROW)

FORMAT (6F10.6)

ANOR - Fator de normalização

R - Fator de convergência

EPI - Critério de convergência da solução

Ko - Coeficiente de empuxo no repouso

CONTRI- Critério de existência de tensões efetivas iniciais.

$$\text{CONTRI} = \begin{cases} 0 & \text{(não existe tensões efetivas iniciais)} \\ 1 & \text{(existe tensões efetivas iniciais)} \end{cases}$$

ROW - Pêso específico da água.

2º CARTÃO (NBW4, NBW5, NN5, NLIM, NPERM)

FORMAT (5I5)

Escolhida a malha de elementos finitos, lados e elementos devem ser numerados para identificação de modo que se possa obter uma largura de banda de menor tamanho possível. A largura de banda dependerá da maior diferença entre os números dos lados de um mesmo elemento. Seja D (maior diferença existente entre os lados de um mesmo elemento dentro da malha), a largura de banda é então dada por:

$$\text{NBW} = (D + 1) \text{NLC}$$

Onde, NLC é o número de graus de liberdade por lado (4 ou 5)..

- NBW4 - largura de banda da matriz de rigidez global com 4 graus de liberdade por lado.
- NBW5 - largura de banda da matriz de rigidez global com 5 graus de liberdade por lado.
- NN5 - número de linhas da matriz de rigidez global com 5 graus de liberdade por lado.
- NLIM - número da etapa de consolidação a partir da qual o carregamento permanece constante.
- NPERM - critério de opção para obtenção da etapa de consolidação suplementar.

$$NPERM = \begin{cases} 0 & \text{( não executa essa etapa suplementar).} \\ 1 & \text{(executa essa etapa suplementar)} \end{cases}$$

3º CARTÃO (NOPT, NS, NDSOM)

FORMAT (3I5)

- NOPT - critério de opção para acompanhamento ou não do processo de consolidação.

$$NOPT = \begin{cases} 0 & \text{(atinge diretamente o fim da consolidação)} \\ 1 & \text{(passa pelas diversas etapas de consolidação )} \end{cases}$$

- NS - número de vértices do elemento. Como os elementos são triangulares NS = 3.

- NDSOM - critério de opção para determinação das componentes do vetor deslocamento nos vértices dos elementos da malha.

$$\text{NDSOM} = \begin{cases} 0 & \text{(calcula as componentes do vetor deslocamento nos v\u00e9rtices)} \\ 1 & \text{(n\u00e3o calcula as componentes do vetor deslocamento nos v\u00e9rtices).} \end{cases}$$

4º CARTÃO (NTT, NCT, NEC, NSPEC, NSPx, NSPy, NTSP ,  
NKEL, NQS, NTTSP, NTUVPQ).

FORMAT (11I5)

- NTT - número total de triângulos da malha.
- NCT - número total de lados da malha.
- NEC - número total de tapas de consolidação.
- NSPEC - número total de especificações em (u, v, q).
- NSPx - número total de lados da malha, onde existe especificações das componentes horizontais do vetor deslocamento (u).
- NSPy - número total de lados da malha, onde existe especificações das componentes verticais do vetor deslocamento (v).
- NTSP - número total de lados na fronteira  $S_t$ , onde existe tensões especificadas.
- NKEL - número total dos diferentes materiais.
- NQS - número total de lados na fronteira  $S_Q$ , através dos quais a vazão está especificada.
- NTTSP - número total de triângulos, onde em um dos lados existe tensões especificadas.

NTUVPQ - número total de triângulos, onde em um dos lados existe pelo menos uma das variáveis (u, v, q, Q.) especificadas.

5º CARTÃO (XI(I), YI(I), I = 1, NCT)

FORMAT (5x, 2F10.2)

XI(I) - abscissa do nó I situado no meio do lado I.

YI(I) - ordenada do nó I situado no meio do lado I.

6º CARTÃO (NNE (1,I), NNE(2,I), NNE(3,I), IT(I),  
ISP(I), KW(I), KEL(I), I = 1, NTT).

FORMAT (5x, 7I5)

NNE(1,I) - número do primeiro lado do triângulo de número J.

NNE(2,I) - número do segundo lado do triângulo de número J.

NNE(3,I) - número do terceiro lado do triângulo de número J.

IT(I) - variável indicadora de tensões especificadas sobre os lados dos elementos.

$$IT(I) = \begin{cases} 0 & \text{(não têm tensões especificadas)} \\ 1 & \text{(têm tensões especificadas)} \end{cases}$$

ISP(I) - variável indicadora de u, v e q especificados sobre os lados dos triângulos.

$$ISP(I) = \begin{cases} 0 & \text{(não têm especificações de u, v ou q)} \\ 1 & \text{(têm especificações de u, v ou q).} \end{cases}$$

KW(I) - variável indicadora da existência de água ou não dentro do elemento.

$$KW(I) = \begin{cases} 0 & \text{(não existe água)} \\ 1 & \text{(existe água)} \end{cases}$$

KEL(I) - número do material constituindo o elemento.

7º CARTÃO (NDEL(I), DEL(I), I = 1, NSPEC)

FORMAT (8(I4, F6.1)).

NDEL(I) - número do lado onde u, v ou q é especificado.

DEL(I) - valor da especificação de u, v ou q no lado cujo número é NDEL(I).

8º CARTÃO (LQ(I), XQ(I), I = 1, NQS)

FORMAT (8(I4, F6.1)).

LQ(I) - número do lado onde (Q) é especificado.

XQ(I) - valor da especificação de (Q) no lado cujo número é LQ(I).

9º CARTÃO (TIME(I), I = 1, NEC)

FORMAT (8 F10.2)

TIME(I) - tempos de consolidação, sendo que:

TIME(1) = 0. (etapa de consolidação inicial), é obrigatoriamente igual a zero.

10º CARTÃO (NUV(I,J), NUH(I,J), ELASTV(I,J), ELASTH(I,J), GV(I,J), RO(I,J), RXT(I,J), RYT(I,J), J=1,2), I= 1, NKEL).

FORMAT (3X, 2F7.3, 4F10.0, 2E10.4)

NUV(I,J) - Coeficiente de Poisson vertical.

NUH(I,J) - Coeficiente de Poisson horizontal.

ELASTV(I,J) - Módulo de elasticidade vertical de YOUNG.

ELASTH(I,J) - Módulo de elasticidade horizontal de YOUNG.

GV(I,J) - Módulo de cisalhamento.

RO(I,J) - Pêso específico do solo compressível.

RXT(I,J) - Coeficiente de permeabilidade horizontal do solo compressível.

RYT(I,J) - Coeficiente de permeabilidade vertical do solo compressível.

J = 1 o material é considerado sobreadensado.

J = 2 o material é considerado normalmente adensado.

11º CARTÃO (SIVC(I), SIHC(I), I = 1, NKEL)

FORMAT (5X, 2F10.2)

SIVC(I) - Pressão de pré-adensamento vertical.

SIHC(I) - Pressão de pré-adensamento horizontal.

129 CARTÃO (LT(I), T(1,I), T(2,I), T(3,I), T(4,I),  
I = 1, NTSP)

FORMAT (I5, 4F10.2)

LT(I) - número do lado onde existe tensões especificadas.

T (1,I) componentes horizontais do vetor tensão nas extre-  
midades do lado.

T (3,I)

T (2,I) componentes verticais do vetor tensão nas extremi-  
dades do lado.

T (4,I)



5	6	7	8	9	10	11	12	13	14	15	16	17	18	19	20	21	22	23	24	25	26	27	28	29	30	31	32	33	34	35	36	37	38	39	40	41	42	43	44	45	46	47	48	49	50	51	52	53	54	55	56	57	58	59	60	61	62	63	64	65	66	67	68	69	70	71	72	73	74	75	76	77	78	79	80																									
OBS			DESCRIÇÃO DA DADOS DO PROGRAMA "SOL"																																																																																																	
NOME			JOCILASSIFI																																																																																																	
SILIBI			DSDNSIYISILINKLIB,DISPI=SHR																																																																																																	
XIEC			PIGM=ISOL,PIARM='SIZIE=SD2000',TIME=																																																																																																	
SIRINT			DDSYISOUT=IA																																																																																																	
SOUT			DDSYISOUT=IA																																																																																																	
06F001			DDSYISOUT=IA,OUTLIM=SD2000																																																																																																	
01F001			DDUNIT=SYSDA,SPACIE=(CYL,JO)																																																																																																	
02F001			DDUNIT=SYSDA,SPACIE=(CYL,JO)																																																																																																	
03F001			DDUNIT=SYSDA,SPACIE=(CYL,JO)																																																																																																	
04F001			DDUNIT=SYSDA,SPACIE=(CYL,JO)																																																																																																	
05F001			DD*																																																																																																	
SIDEINT			TRADIA DO PROGRAMA "SOL"																																																																																																	
ARTAO																																																																																																				
DI			1-18					10-1000S										1-10										10-										9-181																																																														
ARTAO																																																																																																				
S			415					15410					11					10																																																																																		





APÊNDICE III

FORTRAN IV G LEVEL 21

MAIN

DATE = 83082

11/29/42

PAGE 0001

```

0001      IMPLICIT REAL (A-H,O-Z)
0002      REAL NUF,NUV,NU1,NU2,NU3,NU4,NU5,NU6,MM1,MM2,MM3,LON4,LCN5,LON6
      +,K1ERRD
0003      C DIMENSÕES FUNÇÃO DO TIPO DE ELEMENTO (FIXO)
      DIMENSION ZZ(6,6),YY(6,6),XX(6,6),WW(6,6),CCB(6,3),CCA(6,3),MM2(
0004      112),MM1(12),MM3(3),PP1(12),PP2(3),RKB(3,3),PP(3),TX(3,2),TY(3,2)
0005      DIMENSION DC(3,3)
0006      COMMON/TPRE2/AKNC(17,17)
0007      COMMON/FEUP/RAS(15,15)
0008      DIMENSION AC(6,7)
0009      DIMENSION LIGN(2,2,17),ITRA(17)
0010      DIMENSION EC(15,17),STK(17,15)
0011      DIMENSION FNC(17),F(15)
0012      DIMENSION UV(17),UVS(12)
0013      DIMENSION UMAT(3,5),XYG(3),EG(9),SIG(3),S(3)
      DIMENSION CU(12),CV(12),WU(15),WV(15)
0014      C DIMENSÃO FUNÇÃO DO NÚMERO DE ELEMENTOS (NNT)
      DIMENSION ALFA( 64),LXC( 64),VXC( 64),PXC( 64),INDEX( 64)
0015      DIMENSION NNE(3, 64),XEL( 64),NTA(3, 64),KWC( 64),RX( 64),RY( 64),
      +ITC( 64),ISPC( 64),FFKC( 64)
0016      DIMENSION YK( 4352),FK(256),YYK( 832)
0017      DIMENSION XI(108),YI(108)
0018      C DIMENSÕES FUNÇÕES DO NÚMERO DE LADOS (NCT)
      DIMENSION NDEL(120),DEL(130)
0019      DIMENSION MWN(108)
0020      DIMENSION BEFC( 540),ABAND( 540, 45),FASC(540)
0021      C DIMENSÕES FUNÇÕES DAS TRACÕES ESPECIFICADAS (NTSP)
      DIMENSION TC(4,25),LT(25)
0022      C DIMENSÕES FUNÇÕES DAS VAZÕES ESPECIFICADAS (NQ5)
      DIMENSION LC(50),XC(50)
0023      C DIMENSÕES FUNÇÕES DOS DIFERENTES MATERIAIS (NKEL)
      DIMENSION NUV(1,2),NUH(1,2),ELASTV(1,2),ELASTH(1,2),GV(1,2),RO(1,2
0024      +),RXT(1,2),RYT(1,2)
      DIMENSION SIVC(12),SIHC(12)
0025      C DIMENSÃO FUNÇÃO DO NÚMERO DE ETAPAS DE CONSOLIDAÇÃO (NEC)
      DIMENSION TIME(25)
0026      C DIMENSÕES FUNÇÕES DO CARGAMENTO POR ETAPAS
      DIMENSION SIGT(3),UVP(14),LVT(14),SIGPW(9),SIGTW(9)
      1,PRESC(2),PREST(2),PRESP(3)
0027      C ESSAS DIMENSÕES FORAM INCORPORADAS PARA TESE DE GUSTAVO
      DIMENSION NDEL(70),NTIT(20)
0028      DIMENSION ABC(10),HAGA(9)
0029      C FIM DA MODIFICAÇÃO DA TESE DE GUSTAVO
0030      C REDEFINIR N&M
      C *****
0031      C
      DATA CU/1.,0.,-1.,0.,1.,0.,-1.,0.,1.,0.,-1.,0./
0032      DATA CV/0.,1.,0.,-1.,0.,1.,0.,-1.,0.,1.,0.,-1./
0033      C ENCHIMENTO DAS TABELAS A E LIGN
      DATA LIGN/1,1,3,2,2,2,4,4,3,3,1,1,4,4,2,2,5,15,7,15,6,5,8,7,7,6,5,
0034      16,8,7,4,5,6,9,11,6,10,16,12,16,11,9,9,11,12,10,10,12,15,11,15,9,16
      2,12,16,10,17,17,17,13,13,13,13,14,14,14,14/
0035      DATA A / .910563,-.244017,.333333,.583333,-.0223
      129,-.311004,-.244017,-.910563,-.333333,.583333,-.311004,-.022329,.33
      23333,.910563,-.244018,-.311004,.583333,-.022329,.333333,-.244018,.

```

FORTRAN IV G LEVEL 21

MAIN

DATE = 83082

11/29/42

PAGE 0002

```

3910683,-.022329,.583333,-.311004,-.244018,.333333,.910683,-.022329
4,-.311004,.583333,-.310682,.333333,-.244018,-.311004,-.022329,.5833
533,-1.00000,-1.00000,-1.00000,.500000,.500000,.500000/

```

```

C
C LEITURA E IMPRESSAO DAS CARACTERISTICAS DO PROBLEMA
0033 READ(5,100) ANCR,R,EPI,KZERO,CONTRI,ROW
0034 WRITE(6,195) ANCR,R,EPI,KZERO,CONTRI,ROW
0035 READ(5,101)NBW4,NEWS,MNS,NLIM,NPERM
0036 WRITE(6,108)NBW4,NBWS,NWS,NLIM,NPERM
0037 READ(5,112) NCPT,NS,NDSOM
0038 WRITE(6,160)
0039 WRITE(6,112) NCPT,NS,NDSOM
0040 READ(5,124) NTT,NCT,NEC,NSPEC,NSPX,NSPY,NTSP,NKEL,NQS,NTTSP,NTUVPO
0041 WRITE(6,162)
0042 WRITE(6,111) NTT,NCT,NEC,NSPEC,NSPX,NSPY,NTSP,NKEL,NQS,NTTSP,
1NTUVPO
0043 READ(5,125) (ABC(I),I=1,10)
0044 125 FORMAT(2F10.4)
0045 HAGA(1)=0.
0046 DO 240 I=2,9
0047 240 HAGA(I)=HAGA(I-1)+ABC(10)/8.
0048 DO 650 IH=1,9
0049 ICA=13*(IH-1)+1
0050 ICA4=ICA+3
0051 DO 201 IV=ICA,ICA4
0052 201 XI(IV)=ABC(IH)
0053 IF(IH.EQ.9) GO TO 650
0054 ICA4=ICA+1
0055 ICA4F=ICA4+3
0056 DO 550 IV=ICA4,ICA4F
0057 550 XI(IV)=(ABC(IH)+ABC(IH+1))/2.
0058 650 CONTINUE
0059 DO 750 IV=1,5
0060 INC=3+IV
0061 IF(IV.EQ.5) GO TO 800
0062 DO 600 IH=1,9
0063 YI(13*(IH-1)+IV)=HAGA(2*IV)
0064 IF(IH.EQ.9) GO TO 600
0065 YI(13*(IH-1)+IV+INC+1)=HAGA(2*IV)
0066 600 CONTINUE
0067 800 CONTINUE
0068 DO 700 IV=1,8
0069 YI(IV+INC+13*(IH-1))=HAGA(2*IV-1)
0070 700 CONTINUE
0071 750 CONTINUE
0072 WRITE(6,163)
0073 WRITE(6,167)
0074 WRITE(6,102) (I,XI(I),YI(I),I=1,NCT)
0075 DO 241 I=1,8
0076 J1=13*(I-1)+1
0077 DO 242 J=1,4
0078 I1=J1-(J-1)
0079 JT=3*(I-1)+1+2*(J-1)
0080 NNE(1,JT)=I1
0081 NNE(2,JT)=I1+4*(J-1)
0082 NNE(3,JT)=I1+5*(J-1)
0083 NNE(1,JT+1)=I1+5*(J-1)
0084 NNE(2,JT+1)=I1+13

```

FORTRAN IV G LEVEL 21

MAIN

DATE = 83082

11/29/42

PAGE 0003

```

0085      NNE(3, JT+1)=I1+6*(J-1)
0086      242 CONTINUE
0087      241 CONTINUE
0088      DO 243 I=1, NTT
0089      KCL(I)=1
0090      KW(I)=1
0091      ISP(I)=0
0092      IT(I)=0
0093      243 CONTINUE
0094      READ(5, 126)(NTDEL(I), I=1, NTUVPQ)
0095      DO 244 I=1, NTUVPQ
0096      244 ISP(NTDEL(I))=1
0097      READ(5, 126)(NTIT(I), I=1, NTTSP)
0098      DO 245 I=1, NTTSP
0099      245 IT(NTIT(I))=1
0100      126 FORMAT(16I5)
0101      WRITE(6, 164)
0102      NC=3
0103      CALL SENTA(NNE, NTA, NWN, NTT, NCT, NC)
0104      WRITE(6, 165)
0105      WRITE(6, 103)(I, NNE(1, I), NNE(2, I), NNE(3, I), NTA(1, I), NTA(2, I), NTA(3,
+ I), IT(I), ISP(I), KW(I), KCL(I), I=1, NTT)
0106      READ(5, 104)(NDEL(I), DEL(I), I=1, NSPEC)
0107      WRITE(6, 166)
0108      WRITE(6, 104)(NDEL(I), DEL(I), I=1, NSPEC)
0109      READ(5, 104)(LC(I), XC(I), I=1, NQS)
0110      WRITE(6, 104)(LC(I), XC(I), I=1, NQS)
0111      READ(5, 110)(TIME(I), I=1, NEC)
0112      WRITE(6, 168)
0113      WRITE(6, 110)(TIME(I), I=1, NEC)
0114      READ(5, 115)((NUV(I, J), NUH(I, J), ELASTV(I, J), ELASTH(I, J), GV(I, J),
1 PXT(I, J), RXT(I, J), RYT(I, J), J=1, 2), I=1, NKEL)
0115      WRITE(6, 164)
0116      WRITE(6, 117)
0117      WRITE(6, 121)((NUV(I, J), NUH(I, J), ELASTV(I, J), ELASTH(I, J), GV(I, J),
1 PXT(I, J), RXT(I, J), RYT(I, J), J=1, 2), I=1, NKEL)
0118      READ(5, 105)(SIVC(I), SIHC(I), I=1, NKEL)
0119      WRITE(6, 118)
0120      WRITE(6, 119)
0121      WRITE(6, 105)(SIVC(I), SIHC(I), I=1, NKEL)
C
0122      100 FORMAT(6F10.6)
0123      101 FORMAT(12I5)
0124      102 FORMAT(15, 2F10.2)
0125      103 FORMAT(11I10)
0126      104 FORMAT(8(I4, F6.1))
0127      105 FORMAT(5X, 2F10.2)
0128      106 FORMAT(15, 4F10.2)
0129      107 FORMAT(15)
0130      108 FORMAT(//, T20, " NW4", T30, " NW5", T40, " NN5", T50, " NLIM", T57, "
1 NPERK", //, T20, I5, T30, I5, T40, I5, T50, I5, T57, I5, //)
0131      109 FORMAT(20X, I5, 6F6.1, 10X, F7.3)
0132      110 FORMAT(2F10.2)
0133      111 FORMAT(///, T10, " NTT", T20, " NCT", T30, " NEC", T40, " NSPEC",
1 T50, " NSPX", T60, " NSPY", T70, " NTSP", T80, " NKEL", T90, " NQS",
2 T100, " NTISP", T110, " NTUVPQ", //, T10, I6, T20, I6, T30, I6, T40, I6, T50, I6,
3 T60, I6, T70, I6, T80, I6, T90, I6, T100, I6, T110, I6, //)
0134      112 FORMAT(4I5)

```

FORTRAN IV G LEVEL 21

. MAIN

DATE = 83082

11/29/42

PAGE 0004

```

0135      113 FORMAT(//,20X33H NUMERO DE ITERACOES EFETUADAS = I5)
0136      115 FORMAT(3Y,2F7.3,4F10.0,2E10.4)
0137      117 FORMAT(//,T3,"NOV",T18,"NUH",T28,"ELASTV",T41,"ELASTH",T58,"GV",
          1176,"RD",T60,"RXT",T67,"RYT",//)
0138      118 FORMAT(//,5X,"VALORES PARA CADA MATERIAL DAS PRESSOES DE PRECONSOLI
          10CACO VERTICAL E HORIZONTAL",//)
0139      119 FORMAT(//,T12,"SIVC",T22,"SIVC",//)
0140      120 FORMAT(//,T5,"I",T10,"T(X,1)",T20,"T(Y,1)",T30,"T(X,2)",T40,"T(Y,
          12)",//)
0141      121 FORMAT(2Y,F7.3,3X,F7.3,3X,F10.0,3X,F10.0,3X,F10.0,2X,F10.0,6X,E10.
          14,6X,E10.4)
0142      124 FORMAT(15I5)
0143      127 FORMAT(1H1,40X15H TEMPO (DIAS )=F6.0)
0144      131 FORMAT(5X,F10.5)
0145      152 FORMAT(///,1X,"TRIANGULO NUMERO",I5,1X,"-",I1)
0146      153 FORMAT( //,5X,"TENSOES")
0147      154 FORMAT( //,5X,"DESLOCAMENTOS")
0148      155 FORMAT(10X,"NUMERO DO LADO",I5,5X,3F20.4)
0149      160 FORMAT(///," NDPT NS NDSOM")
0150      162 FORMAT(///" NOME DE CADA UM DOS PARAMETROS")
0151      163 FORMAT(1H1,///" COORDENADAS DOS PONTOS DOS MEIOS DOS LADOS")
0152      164 FORMAT(1H1,///" LADOS DO TRIANGULO , TRIANGULOS ADJACENTES E ESPEC
          11IFICACOES CENTRO DO TRIANGULO")
0153      165 FORMAT(//,T10,"J",T13,"NNE(1,J)",T23,"NNE(2,J)",T33,"NNE(3,J)",
          1743,"NTA(1,J)",T53,"NTA(2,J)",T63,"NTA(3,J)",T76,"IT(J)",T84,"ISP
          2(J)",T95,"KX(J)",T105,"KEL(J)",//)
0154      166 FORMAT(1H1,///" DESLOCAMENTOS,PRESSOES E VALDES ESPECIFICADAS")
0155      167 FORMAT(//,T5,"I",T13,"XI",T23,"Y1",//)
0156      168 FORMAT(///" TEMPOS DE CONSOLIDACAO")
0157      172 FORMAT(///" TRACCES ESPECIFICADAS")
0158      184 FORMAT(///" PARAMETROS DOS SCLOS")
0159      195 FORMAT(1H1,T20,"DADOS DO PROBLEMA",///,T10,"ANOR",T20,"R",T30,"EPI"
          1,T40,"K2IF0",T50,"CONTRI",T60,"ROW ",//,T10,F6.1,T20,F4.2,T30,E9.2,
          2T40,F4.2,T52,F3.1,T60,F10.5,//)
0160      198 FORMAT(1H1,40X,"TENSOES E DESLOCAMENTOS FINAIS")
0161      200 FORMAT(F7.5)

```

C

C=====

C

```

0162      NPRIM=0
0163      70 CONTINUE
0164      CFR=1.
0165      NTN=2*WCT
0166      NSFI=NSPX+NSPY
0167      NPS=NSPEC-(NSPX+NSPY)
0168      G=0.57735026919
0169      AA=(1.+G)/2.
0170      BB=(1.-G)/2.

```

C

```

0171      DO 555 I=1,3
0172      DO 555 K=1,3
0173      555 D(I,K)=0.
0174      DO 5 I=1,15
0175      DO 5 K=1,17
0176      5 E(I,K)=0.
0177      DO 3 IL=1,6
0178      DO 3 IC=1,7
0179      B(2*IL-1,2*IC-1)=A(IL,IC)

```



FORTRAN IV G LEVEL 21

MAIN

DATE = 83082

11/29/42

PAGE 0005

```

0180      E(2*IL,2*IC)=A(IL,IC)
0181      3 CONTINUE
0182      DO 4 I1=1,3
0183      4 R(II+I2,II+I4)=1.
C
0184      IF(NPRIM.EQ.1) GO TO 7904
0185      IF(NPS.EQ.0) GO TO 7904
0186      NPSZ=NSPZ+1
0187      DO 7900 I=NPSI,NSPEC
0188      DEL(I)=-GBL(I)/ANOR
0189      7900 CONTINUE
0190      7904 CONTINUE
0191      DO 755 I=1,9
0192      755 SIGTWC(I)=0.
C****
C      DESLOCAMENTOS INICIAIS NULOS
C      TENSORES INICIAIS NULAS SE CONTRI=0
C      VALIDO SOMENTE PARA SUPERFICIE HORIZONTAL
C
0193      IF(CONTRI.NE.0.) CONTRI=1./ANOR
0194      REWIND 4
0195      DO 754 J=1,NTT
0196      DO 761 L=1,NC
0197      TX=(L-1)*3
0198      K=XEL(J)
0199      NI=NN=(L,J)
0200      SIGT(2)=-RO(K,1)+YI(NI)*CONTRI
0201      SIGT(1)=SIGT(2)*KZER0
0202      SIGT(3)=0.
0203      PREST(L)=0
0204      DO 762 I=1,3
0205      SIGTW(I+I)=SIGT(I)
0206      762 CONTINUE
0207      761 CONTINUE
0208      DO 756 I=1,14
0209      LVT(I)=0.
0210      756 CONTINUE
0211      WRITE(4)SIGTW,LVT,PREST
0212      754 CONTINUE
C
C*****
C
C      LUPE DAS ETAPAS DE CONSOLIDACAO
C
0213      READ(5,106)(LT(I),T(1,I),T(2,I),T(3,I),T(4,I),I=1,NTSP)
0214      WRITE(6,172)
0215      WRITE(6,120)
0216      WRITE(6,106)(LT(I),T(1,I),T(2,I),T(3,I),T(4,I),I=1,NTSP)
C
C      CARREGAMENTO POR ETAPAS
C
0217      DO 1 N=1,NEC
0218      IF(NPRIM.EQ.1) NSPEC=NSPX+NSPY
0219      CPF=1.
0220      CONS=1.
0221      IF(N.GT.1) CONS=2.
0222      NLC=5
0223      LR=2

```

```

FORTRAN IV G LEVEL 21          MAIN          DATE = 83082          11/29/42          PAGE 0006

0224          IF(N.GT.1) GO TO 751
0225          NLC=4
0226          LP=4
0227          751 LLR=17-LR
0228          KDIM=NC*NLC
0229          KDIM1=KDIM+1
0230          KINC=KDIM*NTT
C
0231          MGEL=17
C
C*****
C
C LURE DOS CARGAMENTOS POR ETAPAS
C
0232          IF(N.GE.2)GO TO 756
0233          REWIND 2
0234          REWIND 4
0235          DO 757 J = 1,NTT
0236          READ(4)SIGTW,UVT,PREST
0237          WRITE(2)SIGTW,UVT,PREST
0238          757 CONTINUE
0239          756 CONTINUE
0240          IF(N.GT.1)REWIND 3
C****
0241          NN=NLC*NTT
0242          IF(N.EC.1)GO TO 503
0243          DTIME=2.*(TIME(N)-TIME(N-1))
0244          TIMEN=TIMEN+DTIME/2.
0245          NEW=N*NR
0246          GO TO 502
0247          503 TIMEN=0.
0248          DTIME=0.
0249          NEW=NEW+4
0250          502 CONTINUE
0251          REWIND 2
0252          REWIND 1
0253          DO 4000 I=1,NN
0254          FACC(I)=0.
0255          DO 4044 I=1,NEW
0256          4044 ABAND(I,L)=0.
0257          4000 CONTINUE
0258          DO 3001 Q=1,NTT
0259          IF(N.EC.1) GO TO 7999
0260          READ(3) SIGTW,UVT,PREST
0261          GO TO 799E
0262          7999 READ(2) SIGTW,UVT,PREST
0263          799E CONTINUE
0264          CALL YIELD(SIGTW,SIGC,SIVC,J,KEL,INDEX,ANDR)
0265          DO 352 I=1,17
0266          352 FACC(I)=0.
0267          KFLJ=KEL(J)
0268          FX(J)=RXT(KELJ,INDEX(J))/RCW
0269          FY(J)=RYT(KELJ,INDEX(J))/RCW
0270          CALL SIGELACJ,KEL,NTT,KELJ,NUH,NUV,ELASTH,ELASTV,GV,D,ANDR,INDEX)
C
C CALCULO DAS COORDENADAS ELEMENTARES
C
0271          NI=NH(1,J)

```

FORTRAN IV C LEVEL 21

PAIN

DATE = 83082

11/29/42

PAGE 0007

```

0272      N2=NR*(2,J)
0273      N3=NR*(3,J)
0274      A1=-2.*XI(N1)+2.*XI(N3)
0275      A2= 2.*XI(N1)-2.*XI(N2)
0276      A3= 2.*XI(N2)-2.*XI(N3)
0277      B1= 2.*YI(N1)-2.*YI(N3)
0278      B2=-2.*YI(N1)+2.*YI(N2)
0279      B3=-2.*YI(N2)+2.*YI(N3)
0280      AIRE=(A3*B2-A2*B3)/2.0
0281      IF(AIRE.GT.0) GO TO 224
0282      WRITE(6,109) J,A1,A2,A3,B1,B2,B3,AIRE
0283      GO TO 269
0284 224  LON5= SQRT(A1*A1+B1*B1)
0285      LON6= SQRT(A2*A2+B2*B2)
0286      LON4= SQRT(A3*A3+B3*B3)
C
0287      IF(KK(J).EQ.0.OR.NOPT.EQ.0) GO TO 822
C
C      CALCULO DA MATRIZ DE RIGIDEZ ELEMENTAR
C
0288      RKE(1,1)=(RX(J)*E2*B2+RY(J)*A3*A3)/( AIRE)
0289      RKE(2,1)=(RX(J)*E1*B2+RY(J)*A1*A3)/( AIRE)
0290      RKE(1,2)=RKE(2,1)
0291      RKE(3,1)=(RY(J)*E2*B2+RX(J)*A2*A3)/( AIRE)
0292      RKE(1,3)=RKE(3,1)
0293      RKE(2,2)=(RX(J)*E1*B1+RY(J)*A1*A1)/( AIRE)
0294      RKE(3,2)=(RX(J)*E1*B2+RY(J)*A1*A2)/( AIRE)
0295      RKE(2,3)=RKE(3,2)
0296      RKE(3,3)=(RX(J)*E2*B2+RY(J)*A2*A2)/( AIRE)
0297      GO TO 823
0298 822  DO 823 L=1,3
0299      DO 824 M=1,3
0300      RKE(L,M)=0.
0301      IF(M.EQ.L)RKE(L,M)=1./4NDR
0302 834  CONTINUE
0303 822  CONTINUE
0304      DO 8063 M=1,15
0305      F(M)=0.
0306      DO 8063 L=1,15
0307 8063  FAS(L,M)=0.
0308      DO 8221 I=1,3
0309      FP(I)=0.
0310      DO 8221 K=1,2
0311      TX(I,K)=0.
0312 8221  TY(I,K)=0.
C      CALCULO DA MATRIZ DE RIGIDEZ ELEMENTAR DO ESQUELETO DO ELEMENTO
C
0313      CALL COMFC(ZZ,6,A1,A2,A3,B1,B2,B3)
0314      CALL COMFC(XX,6,B1,B2,B3,A1,A2,A3)
0315      CALL COMFC(YY,6,A1,A2,A3,A1,A2,A3)
0316      CALL COMFC(WW,6,B1,B2,B3,B1,B2,B3)
C
C      CALCULO DA MATRIZ DE RIGIDEZ ELEMENTAR DE ACOPLAMENTO
0317      IF(KK(J).EQ.0.OR.NOPT.EQ.0) GO TO 99
0318      CALL COMFC(CCB,6,2,B1,B2,B3)
0319      CALL COMFC(CCA,6,2,A1,A2,A3)
0320      GO TO 97
0321 99  DO 58 I=1,6

```

FORTRAN IV G LEVEL 21

MAIN

DATE = 83082

11/29/42

PAGE 0008

```

0322      DO 98 L=1,3
0323      CC(I,L)=0.
0324      98 CC(I,L)=0.
0325      97 DO 300 I=1,12
0326      AM2(I)=0.
0327      300 AM1(I)=0.
C
C   CALCULO DO VETOR FORCA EQUIVALENTE AUXILIAR DAS FORCAS DE FILTRACAO
C
0328      DO 6161 L=1,3
0329      AM3(L)=0.
0330      6161 FP2(L)=0.
0331      IF(IT(J).EQ.C.OR.N.GT.NLIM) GO TO 7055
0332      DO 6055 I=1,3
0333      DO 6160 K=1,NTSP
0334      IF(NNE(I,J).NE.LI(K)) GO TO 6160
0335      IF(N.GT.1) GO TO 82
0336      T1=0.
0337      T2=0.
0338      T3=0.
0339      T4=0.
0340      GO TO 81
0341      82 T1=T(1,K)/ANDR
0342      T2=T(2,K)/ANDR
0343      T3=T(3,K)/ANDR
0344      T4=T(4,K)/ANDR
0345      81 CONTINUE
0346      IF(NFERIM.EQ.1) GO TO 8181
0347      IF(N.FO.1.OR.N.GT.NLIM) GO TO 8181
0348      F=CC(I,105) LT(K),T(1,K),T(2,K),T(3,K),T(4,K)
0349      WRITE(6,172)
0350      WRITE(6,100)
0351      WRITE(6,106)LT(K),T(1,K),T(2,K),T(3,K),T(4,K)
0352      8181 CONTINUE
0353      TX(1,1)= T(1,K)/ANDR-T1
0354      TX(1,2)= T(3,K)/ANDR-T3
0355      TY(1,1)= T(2,K)/ANDR-T2
0356      TY(1,2)= T(4,K)/ANDR-T4.
0357      6160 CONTINUE
0358      6055 CONTINUE
0359      7055 CONTINUE
0360      FP1(1) =TX(1,1)*LON4/6.+TX(3,2)*LON6/6.
0361      FP1(2) =TX(1,2)*LON4/6.+TX(2,1)*LON5/6.
0362      FP1(3) =TX(2,2)*LON5/6.+TX(3,1)*LON6/6.
0363      FP1(4) =(TX(1,1)+TX(1,2))*LON4/3.
0364      FP1(5) =(TX(2,1)+TX(2,2))*LON5/3.
0365      FP1(6) =(TX(3,1)+TX(3,2))*LON6/3.
0366      FP1(7) =TY(1,1)*LON4/6.+TY(3,2)*LON6/6.
0367      FP1(8) =TY(1,2)*LON4/6.+TY(2,1)*LON5/6.
0368      FP1(9) =TY(2,2)*LON5/6.+TY(3,1)*LON6/6.
0369      FP1(10)=(TY(1,1)+TY(1,2))*LON4/3.
0370      FP1(11)=(TY(2,1)+TY(2,2))*LON5/3.
0371      FP1(12)=(TY(3,1)+TY(3,2))*LON6/3.
C   VETOR EQUIVALENTE AUXILIAR DE VAZES ESPECIFICADAS AO LONGO DOS LADOS
C
0372      DO 6162 I=1,3
0373      DO 6162 K=1,NQS
0374      IF(NNE(I,J).NE.LI(K)) GO TO 6162

```

FORTRAN IV G LEVEL 21

MAIN

DATE = 83082

11/29/42

PAGE 0009

```

0375      PP(I)=XQ(K)
0376      6162 CONTINUE
0377      PP2(1)=PP(1)*LON4
0378      PP2(2)=PP(2)*LON5
0379      PP2(3)=PP(3)*LON6

C
C  MONTAGEM DA MATRIZ DE RIGIDEZ GLOBAL POR ELEMENTO
C
0380      DO 6064 M=1,6
0381      DO 6064 L=1,6
0382      RAS(2#L-1,2#M-1)=(D(1,1)*WH(L,M)+D(3,3)*YY(L,M))/(12.*AIRE)
0383      RAS(2#L ,2#M )=(D(2,2)*YY(L,M)+D(3,3)*WH(L,M))/(12.*AIRE)
0384      RAS(2#L ,2#M-1)=(D(2,1)*XX(L,M)+D(3,3)*ZZ(L,M))/(12.*AIRE)
0385      RAS(2#L-1,2#M )=(D(1,2)*ZZ(L,M)+D(3,3)*XX(L,M))/(12.*AIRE)
0386      IF(X.EQ.1) GO TO 6064

C
C
0387      F(2#L-1)=MH2(L)-MM1(L)/6+PP1(L)
0388      F(2#L)=MH2(L+6)-MM1(L+6)/6+PP1(L+6)
0389      DO 6004 I=1,3
0390      RAS(2#L-1,I+12)=CGC(L,I)/6
0391      RAS(2#L ,I+12)=CGA(L,I)/6
0392      RAS(I+12,2#L-1)=RAS(2#L-1,I+12)
0393      RAS(I+12,2#L )=RAS(2#L ,I+12)
0394      6004 CONTINUE
0395      6064 CONTINUE
0396      IF(N.EQ.1) GO TO 6066
0397      DO 6045 I=1,12
0398      DO 6045 K=1,12
0399      6065 RAS(I,K)=RAS(I,K)/Z.
0400      6066 CONTINUE
0401      DO 812 L=1,3
0402      F(L+12)=-PP2(L)+MM3(L)*CPR*DTIME*KKW(J)*NOPT
0403      DO 812 M=1,3
0404      RAS(L+L,12+M)=-FKB(L,M)*DTIME*ANDR
0405      IF(KK(J).EQ.0.OR.NOPT.EQ.0)RAS(L+12,L+12)=-1E-10
0406      812 CONTINUE

C
C  CALCULO DA MATRIZ DE RIGIDEZ E DO VETOR FORCA NAO-CONFORME
C
0407      CALL GTPEDA(B,RAS,BTK,15,17,15,255,225,255)
0408      CALL GTPADA(B,F,FNC,15,17,1,255,15,17)
0409      CALL SOMPRO(BTK,B,AKNC,17,15)
0410      SUM=0.
0411      DO 813 I=1,12
0412      813 SUM=SUM+AKNC(I,I)
0413      ALFA(J)=SUM*4./AIRE
0414      DO 404 I=1,12
0415      DO 404 K=1,12
0416      CUCV=CUCV(I)*CU(K)+CV(I)*CV(K)
0417      AKNC(I,K)=AKNC(I,K)+2.*ALFA(J)*CUCV
0418      404 CONTINUE

C
C  CALCULO DO VETOR TRANSPOSICAO ITRA
C
0419      I3=2
0420      IF(NPRIM.EQ.0) GO TO 61
0421      FEAD(1) PRESF

```

FORTRAN IV C LEVEL 21

. PATH

DATE = 83062

11/29/42

PAGE 0010

```

0422      DO 64 I=1,14
0423          DO 64 K=15,17
0424      64 FNC(I)= FNC(I)+AKNC(I,K)*CPR*PRESK(K-14)/ANOR
0425      61 CONTINUE
0426          IF(NPRIM.EQ.1)KW(J)=0
0427          IF(NPRIM.EQ.0) GO TO 66
0428          DO 65 I=1,14
0429          DO 65 K=15,17
0430              AKNC(K,K)=-1E-10
0431              AKNC(I,K)=0.
0432      65 AKNC(K,I)=0.
0433      66 CONTINUE
0434          IF(N.EQ.1)GO TO 410
0435          READ(2)SIGPW,UVP,PRESK
0436          DO 405 I=1,14
0437          DO 405 K=1,14
0438              IF(K.LT.4)FNC(I)=FNC(I)-AKNC(I,14+K)*PRESK(K)/ANOR
0439      405 FNC(I)=FNC(I)+AKNC(I,K)*UVP(K)
0440          DO 411 I= 1 , 3
0441      411 FNC (I+14) = FNC (I+14)*ETIME
0442          DO 408 I=1,3
0443          DO 408 M=1,14
0444      408 FNC(I+14)=FNC(I+14)+AKNC(I+14,M)*UVP(M)
0445          DO 421 I=1,12
0446      421 FNC(I)=FNC(I)+CU(I)*UX(J)+CV(I)*VX(J)
0447      410 CONTINUE
0448          IF(N.EQ.1) I3=1
0449          DO 451 I=1,NC
0450              I2=2
0451              NA1=NTA(I,J)
0452              IF(NA1.EQ.0.OR.NA1.GT.J) I2=1
0453              DO 452 IL=1,NLC
0454                  II=(I-1)*4LC
0455                  I1=II+1L
0456      452 ITRAC(I1+IL)=LTGN(I3,I2,II+IL)
0457      451 CONTINUE
0458          ICC=13
0459          IF(I3.EQ.2) ICC=15
0460          DO 453 I=ICC,17
0461      453 ITRA(I)=UIGN(I3,I2,I)
0462          DO 454 L=1,17
0463              I=ITRA(L)
0464              IF(I.EQ.L)GO TO 454
0465          DO 455 LL=L,17
0466              LLL=ITRA(LL)
0467              IF(LLL.NE.L) GO TO 455
0468              ITRA(LL)=ITRA(L)
0469      455 CONTINUE
0470      454 ITRA(L)=I
0471
0471      CALL LIGNCD(AKNC,17,17,ITRA,1)
0472      CALL LIGNCD(AKNC,17,17,ITRA,0)
0473      CALL LIGNCD(FNC,17,1,ITRA,0)
0474      MFX=L*RNHTT
0475      M*W=MFX*17

```

FORTRAN IV G LEVEL 21

MAIN

DATE = 82082

11/29/42

PAGE 0011

```

C      MODIFICACAO DA MATRIZ DE RIGIDEZ ELEMENTAR
C
0476      CALL REDUC(FNC,LR,YW,FK,KFK,KYW,J,LLR,MGEL,0)
0477      IF (ISPC(J).EC.0) GO TO 401
0478      CALL SPDC(J,NTT,N,NSPEC,DEL,KDEL,NSPX,NSPZ,NNE,NLC,NC,FNC)
0479      401 CONTINUE
0480      IF(N.GT.1)GO TO 402
0481      DO 403 I=1,KDIM1
0482      KD=KDIM1*(J-1)+I
0483      403 YY(KD)=AKNC(KDIM1,I)
0484      FPK(J)=FNC(KDIM1)
0485      DO 5858 I=1,12
0486      DO 5858 K=1,12
0487      KDI=KDIM1*(J-1)+I
0488      KDK=KDIM1*(J-1)+K
0489      5858 AKNC(I,K)=AKNC(I,K)+2.*ALFA(J)*YY(KDI)*YY(KDK)
0490      402 CONTINUE
C*****
C*****
C
C      MONTAGEM ORDINARIA
C
0491      NUN=ANNC(1,J)
0492      NDEU=ANNC(2,J)
0493      NTR=ANNC(3,J)
0494      LUN=(NUN-1)*NLC
0495      LDE=(NDEU-1)*NLC
0496      LTR=(NTR-1)*NLC
0497      DO 4001 I=1,NC
0498      NE=NN(I,J)
0499      LNE=(NE-1)*NLC
0500      LI=(I-1)*NLC
0501      CPP=1.
0502      IF(N.GT.1)CPP=CPP
0503      DO 4002 I=1,NLC
0504      FAS(LNE+L)=FAS(LNE+L)+FNC(LI+L)*CPP
0505      DO 4003 LL=1,NLC
0506      LLI=0
0507      LDI=NLC
0508      LSI=2*NLC
0509      LLNE=LNE+L
0510      LLDE=LDE+LL
0511      LLTR=LTR+LL
0512      LLT=LTR+LL
0513      IF(LLNE.GT.LLUN) GO TO 4004
0514      INDO=(LLUN+LL)-(LLNE+L)+1
0515      ABAND(LLNE+L,INDO)=ABAND(LLNE+L,INDO)+AKNC(LI+L,LLI+LL)
0516      4004 IF(LLNE.GT.LLDE) GO TO 4005
0517      INDO=(LLDE+LL)-(LLNE+L)+1
0518      ABAND(LLNE+L,INDO)=ABAND(LLNE+L,INDO)+AKNC(LI+L,L2I+LL)
0519      4005 IF(LLNE.GT.LLTR) GO TO 4003
0520      INDO=(LTR+LL)-(LLNE+L)+1
0521      ABAND(LLNE+L,INDO)=ABAND(LLNE+L,INDO)+AKNC(LI+L,L3I+LL)
0522      4003 CONTINUE
0523      4002 CONTINUE
0524      4001 CONTINUE
0525      6001 CONTINUE
0526      GO 555 J=1,NTT

```

FORTRAN IV G LEVEL 21

MAIN

DATE = 83082

11/29/42

PAGE 0012

```

0527          UX(J)=0.
0528          VX(J)=0.
0529          556 PX(J)=0.
C*****
C
C      DECOMPOSICAO E SOLUCAO
C
0530          CALL DECCMP (NN,NBW,ABAND,NN5,NBW5)
0531          NID=1
0532          IF(N.GT.1.OR.NDPT.EQ.0) NID=0
0533          DO 7001 I=1,15
0534          SUMUV=0.
0535          SUMX=0.
0536          CALL SOLVER(NN,NBW,FAS,DEP,ABAND,NN5,NBW5)
0537          DO 7002 J=1,NTT
0538          SUM=0.
0539          SUMU=0.
0540          SUMV=0.
0541          DO 7021 K=1,NC
0542          ALA=(K-1)*NLC
0543          ALAM=(K-1)*4
0544          DO 7022 I=1,4
0545          WU(NLA+I)=CU(NLAF+I)
0546          WV(NLA+I)=CV(NLAM+I)
0547          7022 CONTINUE
0548          IF (NLC.EQ.4) GO TO 7021
0549          WU(NLA+NLC)=0.
0550          WV(NLA+NLC)=0.
0551          7021 CONTINUE
0552          DO 7008 K=1,NC
0553          ALA=(K-1)*NLC
0554          ALAM=(K-1)*4
0555          NI=NNEL(K,J)
0556          NK=NTACK(K,J)
0557          IF (ISP(J).EQ.0) GO TO 7013
0558          IF (NK.NE.0) GO TO 7013
0559          DO 7014 LK=1,NSP2
0560          MI=0
0561          NSP=NOEL(LK)
0562          IF (NSP.NE.NI) GO TO 7014
0563          IF (LK.GT.NSPX) MI=1
0564          DO 7015 LL=1,3,2
0565          WU(NLA+LL+MI)=0.
0566          7015 WV(NLA+LL+MI)=0.
0567          7014 CONTINUE
0568          7013 IF (NY.EI.0.OR.NK.GT.J) GO TO 7008
0569          DO 7009 I=1,NC
0570          NI=NTACL(NK)
0571          IF (NLI.NE.J) GO TO 7009
0572          DO 7010 I=1,4
0573          WU(NLA+I)=-CU(NLAM+I)
0574          WV(NLA+I)=-CV(NLAM+I)
0575          7009 CONTINUE
0576          7010 CONTINUE
0577          DO 7003 L=1,NC
0578          LE=(L-1)*NLC
0579          NI=NNEL(L,J)
0580          NE=(NI-1)*NLC

```



FORTRAN IV C LEVEL 21

MAIN

DATE = 03082

11/29/42

PAGE 0013

```

0561      IC=KDIM1*(J-1)+LE
0562      DO 7003 LM=1,3,2
0563      IF(N.GT.1) GO TO 909
0564      SUM=SUM+R*NI*ALFA(J)*(DEP(CNE+LM)*YYW(IC+LM)+YYW(IC+LM+1)*DEP(CNE+L
1 M+1))
0565      909 CONTINUE
0566      SUMU=SUMU+R *ALFA(J)*WU(CLE+LM)*DEP(CNE+LM)
0567      SUMV=SUMV+R *ALFA(J)*WV(CLE+LM+1)*DEP(CNE+LM+1)
0568      7003 CONTINUE
0569      IF(N.EQ.1)SUMH=SUMH-FFK(J)*R*ALFA(J)
0570      TX(J)=TX(J)+SUM
0571      LX(J)=UX(J)+SUMU
0572      VX(J)=VX(J)+SUMV
0573      SUMUV=SUMUV+SUMU*SUMU+SUMV*SUMV
0574      SUX=SUMX+LX(J)*UX(J)+VX(J)*VX(J)
0575      DO 7004 L=1,NC
0576      LE=(L-1)*NLC
0577      NI=NNI(L,J)
0578      NE=(NI-1)*NLC
0579      IC=KDIM1*(J-1)+LE
0580      DO 7004 LM=1,3,2
0581      IF(N.EQ.1)FAS(CNE+LM)=FAS(CNE+LM)-SUM*YYW(IC+LM)
0582      IF(N.EQ.1)FAS(CNE+LM+1)=FAS(CNE+LM+1)-SUM*YYW(IC+LM+1)
0583      FAS(CNE+LM)=FAS(CNE+LM)-SUMU*WU(CLE+LM)
0584      7004 FAS(CNE+LM+1)=FAS(CNE+LM+1)-SUMV*WV(CLE+LM+1)
0585      7002 CONTINUE
0586      SUP=SUMUV/SUX
0587      SUPS=5*RTI(SUP)
0588      IF(SUPS.LE.EPI) GO TO 7006
0589      7001 CONTINUE
0590      7006 CONTINUE
0591      PRINT 2
0592      PRINT 3

```

C

C\*\*\*\*\*

C

C CALCULO DOS DESLOCAMENTOS E DAS TENSOES

C

```

0613      DO 3001 J=1,NTT
0614      A1=NNI(1,J)
0615      A2=NNI(2,J)
0616      A3=NNI(3,J)
0617      A1=-2.*XI(N1)+2.*XI(N3)
0618      A2= 2.*XI(N1)-2.*XI(N2)
0619      A3= 2.*XI(N2)-2.*XI(N3)
0620      B1= 2.*YI(N1)-2.*YI(N3)
0621      B2=-2.*YI(N1)+2.*YI(N2)
0622      B3=-2.*YI(N2)+2.*YI(N3)
0623      AISC=(A1*A1+A2*A2+A3*A3)/2.0
0624      KELJ=KEL(J)
0625      CALL SIGELACJ,KXEL,NTT,KELJ,KUH,KUV,ELASTH,ELASTV,GV,D,ANDR,INDEX)

```

C

C CALCULO DOS DESLOCAMENTOS NO CENTRO DOS ELEMENTOS

C

```

0626      IJ=(J-1)*LR
0627      DO 3002 I=1,NC
0628      NE=NNI(I,J)
0629      II=NLC*(I-1)

```

FORTRAN IV &amp; LEVEL 21

MAIN

DATE = 83082

11/29/42

PAGE 0014

```

0630      IF=NLC*(NE-1)
0631      DO 3002 K=1,NLC
0632      3002  UV(I1+K)=DEP(IF+K)
0633          IF(NL.FC.1) UV(13)=PX(J)
0634          DO 3004 K=1,LR
0635              JK=K+LLR
0636              JAT=JK-1
0637              UV(JK)=FK(IJ+K)
0638              IJ=IJ*17+(K-1)*17
0639              DO 3004 L=1,1K
0640      3004  UV(JK)=UV(JK)-Yw(IIJ+L)*UV(L)
0641          DO 3221 I=1,3
0642          PRES(I)=-UV(12+I)*ANGR
0643      3221  CONTINUE
C
0644          DO 3008 K=1,NC
0645          K=INT(K,J)
0646          IF(NK.FI.O.OR.NK.ST.J) GO TO 3008
0647          DO 3009 L=1,NC
0648          K=INT(K,LK)
0649          IF(NL.NE.J) GO TO 3009
0650          FLA=(K-1)*NLC
0651          DO 3533 I=1,2
0652              II=LL+I
0653              III=NL+I+2
0654              SAVE=UV(II)
0655              UV(II)=UV(III)
0656      3533  UV(III)=SAVE
0657      3009  CONTINUE
0658      3008  CONTINUE
0659          IF(NL.FC.1) GO TO 3010
0660          DO 3011 I=1,3
0661          PRES(I)=-UV(8+I)*ANGR
0662      3011  CONTINUE
0663          DO 3013 I=1,4
0664      3013  UV(4+I)=UV(3+I)
0665          DO 3012 I=1,4
0666      3012  UV(3+I)=UV(10+I)
0667          DO 3009 I=1,2
0668      3009  UV(10+I)=UV(15+I)
C
C *****
C
C TENSORES E DESLOCAMENTOS DA ETAPA DE CARREGAMENTO PRECEDENTE
C
0669          PRES(I)=BI*FW, UVP, PRESP
0670          DO 3010 I=1,14
0671          LVI(I)=(UVP(I)+UV(I))/CONS
0672          IF(NL.ST.1) UV(I)=UV(I)-UVP(I)
0673      3010  CONTINUE
C *****
C
C CALCULO DOS DESLOCAMENTOS AUXILIARES NOS VERTICES E MEIOS DOS LADOS
C DO ELEMENTO
L
0674          DO 3005 I=1,12
0675      3005  UV5(I)=0.
0676          DO 3007 I=1,12
0677      3007  K=I-14

```

FORTRAN IV G LEVEL 21

MAIN

DATE = 83082

11/29/42

PAGE 0015

```

0678      3007 UVS(I)=UVS(I)+B(I,K)*UV(K)
0679      IF(NDSOM.EQ.1) GO TO 3023
0680      WRITE(6,151)(UVS(I),I=1,12)
C
C
0681      3023 LNS=0
0682      DO 3019 I=1,9
0683      3019 EG(I)=0.
0684      CALL AIBI(UMAT,R1,R2,R3,AIRE)
0685      DO 3030 I=1,3
0686      DO 3030 K=1,6
0687      EG(I)=EG(I)+UMAT(I,K)*UVS(2*K-1)
0688      3030 EG(I+1)=EG(I+1)+UMAT(I,K)*UVS(2*K)
0689      CALL AIBI(UMAT,A1,A2,A3,AIRE)
0690      DO 3032 I=1,3
0691      DO 3032 K=1,6
0692      EG(I+1)=EG(I+1)+UMAT(I,K)*UVS(2*K)
0693      3032 EG(I+1)=EG(I+1)+UMAT(I,K)*UVS(2*K-1)
C
C
0694      NNC=3
0695      IF(NS.EQ.2) NNC=6
0696      IF(NS.EQ.3) NNC=4
0697      3026 DO 3030 I=1,NNC
0698      DO 3018 I=1,3
0699      STG(I)=0.
0700      XYG(I)=0.
0701      3018 S(I)=0.
0702      IF(LNS.EQ.1) GO TO 3034
0703      IF(LNS.EQ.2) GO TO 3035
0704      IF(NS=2) 3033,3034,3035 -
C
C DEFORMACOES AUXILIARES NOS VERTICES DOS ELEMENTOS
C
0705      3030 DO 3025 K=1,3
0706      KK=(K-1)*3+L
0707      3025 XYG(K)=EG(KK)
0708      GO TO 3022
C
C DEFORMACOES AUXILIARES NOS MEIOS DOS LADOS E NO CENTRO DO ELEMENTO
C
0709      3035 IF(L.LT.4) GO TO 3038
0710      DO 3041 I=1,3
0711      3041 S(I)=0.3333333333
0712      GO TO 3036
0713      3038 IF(L.EQ.1-DR.L.EQ.3) S(1)=0.5
0714      IF(L.EQ.1-DR.L.EQ.2) S(2)=0.5
0715      IF(L.EQ.2-DR.L.EQ.3) S(3)=0.5
0716      GO TO 3036
C
C DEFORMACOES AUXILIARES NOS PONTOS DE GAUSS
C
0717      3034 IF(L.EQ.1-DR.L.EQ.6) S(1)=AA
0718      IF(L.EQ.1-DR.L.EQ.4) S(2)=EB
0719      IF(L.EQ.2-DR.L.EQ.5) S(1)=BB
0720      IF(L.EQ.2-DR.L.EQ.3) S(2)=AA
0721      IF(L.EQ.3-DR.L.EQ.6) S(3)=BB
0722      IF(L.EQ.4-DR.L.EQ.5) S(3)=AA
0723      3036 DO 3037 K=1,2

```

FORTRAN IV C LEVEL 21                    MAIN                    DATE = 83082                    11/29/42                    PAGE 0016

```

0724      DD 3037 F=1,3
0725      KK=(K-1)-3+M
0726      3037 XYB(K)=XYG(K)+S(M)*EG(KK)
C
C   CALCULS DAS TENSOES .
C
0727      3022 DD 3021 LL=1,3
0728      DD 3021 LM=1,3
0729      3021 SIG(LL)=SIG(LL)+D(LL,LM)*XYG(LM)
C
0730      IF(NMG.NE.4)GO TO 400
0731      IF(L.EQ.4)GO TO 400
C
0732      DD 3010 I=1,3
0733      I=(I-1)*3
0734      SIGT(I)=SIGP*(I+I)+SIG(I)/CENS
0735      SIGT(I+I)=SIGT(I)
0736      3010 CONTINUE
0737      PREST(L)=(PREST(L)+PRES(L))/CONS
0738      I=(I+1)/PREST(L)=PRES(L)
C
0739      400 CONTINUE
0740      3030 CONTINUE
C
0741      WRITE(3)SIGT,UVT,PREST
C
0742      LNS=LNS+1
0743      IF(LNS.NE.0) GO TO 3001
0744      IF(LNS.EQ.1) NMG=0
0745      NMG=4
0746      IF(LNS.EQ.2) GO TO 3024
0747      3001 CONTINUE
C
C*****
C
0748      WRITE(6,107)IPEN
0749      WRITE(6,110) NIT
0750      WRITE(6,136)
0751      PRINT 4
0752      PRINT 3
0753      PRINT 2
0754      PRINT 1
0755      DD 3001 J=1,NTT
0756      I=(N.LB.2) WRITE(6,152)J,INDEX(J)
0757      IF(N.OB.2.AND.J.EQ.3) WRITE(6,152)J,INDEX(J)
0758      READ(3) SIGT,UVT,PREST
0759      WRITE(2) SIGT,UVT,PREST
0760      WRITE(4) SIGT,UVT,PREST
0761      WRITE(1) PREST
0762      CALL RESULT(NME,XI,YI,NC,NTT,NCT,J,SIGT,SIGT,UVT,PREST,ANOR,N)
0763      3001 CONTINUE
C*****
0764      IF(NFERM.EQ.1) GO TO 269
0765      1 CONTINUE
0766      I.PRI=1
0767      NEC=1

```

FORTRAN IV C LEVEL 21                    MAIN                    DATE = 83082                    11/29/42                    PAGE 0017

```

0768      IF(NFERM.EQ.1) GO TO 79
C*****
0769      269 STOP
0770      END

```

FORTRAN IV G LEVEL 21

CDMP

DATE = 83082

11/29/42

PAGE 0001

```

0001      SUBROUTINE COMP(ZZ,N,A1,A2,A3,B1,B2,B3)
0002      IMPLICIT REAL (A-H,C-Z)
0003      DIMENSION ZZ(N,N)
0004      ZZ(1,1)=3*A1*B1
0005      ZZ(2,1)=-1*A1*B2
0006      ZZ(3,1)=-1*A1*B3
0007      ZZ(4,1)=4*A1*B2
0008      ZZ(5,1)=0
0009      ZZ(6,1)=4*A1*B3
0010      ZZ(1,2)=-1*A2*B1
0011      ZZ(2,2)=2*A2*B2
0012      ZZ(3,2)=-1*A2*B3
0013      ZZ(4,2)=4*A2*B1
0014      ZZ(5,2)=4*A2*B3
0015      ZZ(6,2)=0
0016      ZZ(1,3)=-1*A3*B1
0017      ZZ(2,3)=-1*A3*B2
0018      ZZ(3,3)=3*A3*B3
0019      ZZ(4,3)=0
0020      ZZ(5,3)=4*A3*B2
0021      ZZ(6,3)=4*A3*B1
0022      ZZ(1,4)=-4*A2*B1
0023      ZZ(2,4)=4*A1*B2
0024      ZZ(3,4)=0
0025      ZZ(4,4)=4*(A1*B2+A2*B1+2*A1*B1+2*A2*B2)
0026      ZZ(5,4)=4*(A2*B3+A2*B2+A1*B2+2*A1*B3)
0027      ZZ(6,4)=4*(A1*B1+A2*B1+A1*B3+2*A2*B3)
0028      ZZ(1,5)=0
0029      ZZ(2,5)=4*A3*B2
0030      ZZ(3,5)=4*A2*B3
0031      ZZ(4,5)=4*(A3*B2+A2*B2+A2*B1+2*A3*B1)
0032      ZZ(5,5)=4*(A2*B3+A3*B2+2*A2*B2+2*A3*B3)
0033      ZZ(6,5)=4*(A3*B3+A3*B1+A2*B3+2*A2*B1)
0034      ZZ(1,6)=4*A3*B1
0035      ZZ(2,6)=0
0036      ZZ(3,6)=4*A1*B3
0037      ZZ(4,6)=4*(A1*B1+A1*B2+A3*B1+2*A3*B2)
0038      ZZ(5,6)=4*(A3*B3+A1*B3+A3*B2+2*A1*B2)
0039      ZZ(6,6)=4*(A1*B3+A3*B1+2*A1*B1+2*A3*B3)
0040      RETURN
0041      END

```

FORTRAN IV G LEVEL 21                    CDMPC                    DATE = 83082                    11/29/42                    PAGE 0001

```

0001            SUBROUTINE COMPC(CCB,L,M,B1,B2,B3)
0002            IMPLICIT REAL (A-H,C-Z)
0003            DIMENSION CCB(L,M)
0004            CCB(1,1)=B1
0005            CCB(2,1)=B2
0006            CCB(3,1)=-B3
0007            CCB(4,1)=-2*B3
0008            CCB(5,1)=2*B3
0009            CCB(6,1)=2*B3
0010            CCB(1,2)=-B1
0011            CCB(2,2)=B2
0012            CCB(3,2)=B3
0013            CCB(4,2)=2*B1
0014            CCB(5,2)=-2*B1
0015            CCB(6,2)=2*B1
0016            CCB(1,3)=B1
0017            CCB(2,3)=-B2
0018            CCB(3,3)=B3
0019            CCB(4,3)=2*B2
0020            CCB(5,3)=2*B2
0021            CCB(6,3)=-2*B2
0022            RETURN
0023            END

```

FORTRAN IV G LEVEL 21                    GTPRDA                    DATE = 83082                    11/29/42                    PAGE 0001

```

0001            SUBROUTINE GTPRDA(A,B,R,N,M,L,NM,NL,ML)
0002            IMPLICIT REAL (A-H,C-Z)
0003            DIMENSION A(NM),B(NL),R(ML)
0004            IR=0
0005            IK=-N
0006            DO 10 K=1,L
0007            IJ=0
0008            IK=IK+N
0009            DO 10 J=1,M
0010            IS=IK
0011            IR=IR+1
0012            R(IR)=0
0013            DO 10 I=1,N
0014            IJ=IJ+1
0015            IS=IS+1
0016            10 R(IR)=R(IR)+A(IJ)*B(IS)
0017            RETURN
0018            END

```

```

FORTRAN IV G LEVEL 21                SGMPRD                DATE = 83082                11/29/42                PAGE 0001
0001      SUBROUTINE SGMPRD(A,B,R,N,M)
0002      IMPLICIT REAL (A-H,O-Z)
0003      DIMENSION A(N,M),B(M,N),R(N,N)
0004      DO 10 I=1,N
0005      DO 10 J=I,N
0006      SUM=0.
0007      DO 9 K=1,M
0008      9 SUM=SUM+A(I,K)*B(K,J)
0009      R(I,J)=SUM
0010  10 R(J,I)=SUM
0011      RETURN
0012      END

```

```

FORTRAN IV G LEVEL 21                LIGNCO                DATE = 83082                11/29/42                PAGE 0001
0001      SUBROUTINE LIGNCO(A,M,N,ITRA,IR)
0002      IMPLICIT REAL (A-H,O-Z)
0003      DIMENSION A(1),ITRA(1)
0004      IF(ITRA) 3,4,3
0005      3 M=M
0006      M=M-1
0007      L=M
0008      LL=N
0009      GO TO 5
0010      4 M=M+1
0011      M=M+M
0012      L=N
0013      LL=M
0014      5 IA=1
0015      IO=1
0016      DO 12 I=1,LL
0017      Y=ITRA(IA)
0018      IF(K-IA) 10,12,10
0019      10 IL=IA+MM
0020      K=K+MM
0021      DO 11 J=1,L
0022      SAVE=A(IL)
0023      A(IL)=A(K)
0024      A(K)=SAVE
0025      K=K+MM
0026      11 IL=IL+MM
0027      12 IA=IA+IO
0028      RETURN
0029      END

```

FORTRAN IV &amp; LEVEL 21

REDUC

DATE = 83082

11/29/42

PAGE 0001

```

0001      SUBROUTINE REDUC (FNC,LC,YW,FK,KFK,KYW,J,LLC,MGEL,IN)
0002      IMPLICIT REAL (A-H,C-Z)
0003      COMMON/THREE/AKNC(17,17)
0004      DIMENSION FNC(17),YW(KYW),FK(KFK)
      C
      C  ELIMINACAO DE DUAS PRESSOES E DE DOIS DESLOCAMENTOS - NAO-DRENADO
      C  ELIMINACAO DE DOIS DESLOCAMENTOS - CONSOLIDACAO
      C
0005      DO 31 L=1,LC
0006      IJ=MGEL-L
0007      IK=IJ+1
0008      PIVOT=AKNC(IK,IK)
0009      DO 32 K=1,IJ
0010      F=AKNC(IK,K)/PIVOT
0011      AKNC(IK,K)=P
0012      DO 33 I=K,IJ
0013      AKNC(I,K)=AKNC(I,K)-F*AKNC(I,IK)
0014      33 AKNC(K,I)=AKNC(I,K)
      C
0015      IF(IN.NE.0) GOTO 32
0016      FNC(K)=FNC(K)-AKNC(IK,K)*FNC(IK)
0017      32 CONTINUE
0018      IF(IN.NE.0) GOTO 31
0019      FNC(IK)=FNC(IK)/PIVOT
0020      31 CONTINUE
      C
      C  MEMORIZACAO DOS MULTIPLICADORES E DO VETOR FORCA PROVENIENTE DA
      C  ELIMINACAO
      C
0021      DO 10 K=1,MGEL
0022      DO 10 L=1,LC
0023      LFK=(J-1)*LC+L
0024      LYK=(J-1)*LC+MGEL+(L-1)*MGEL+K
0025      YW(LYK)=AKNC(LLC+L,K)
0026      IF(IN.NE.0) GOTO 10
0027      FK(LFK)=FNC(LLC+L)
0028      10 CONTINUE
0029      RETURN
0030      END

```



FORTRAN IV G LEVEL 21

SPBC

DATE = 83082

11/29/42

PAGE 0001

```

0001      SUBROUTINE SPBC(J,NTT,N,NSPEC,DEL,NDEL,NSPX,NSPZ,NNE,NLC,NC,FNC)
0002      IMPLICIT REAL (A-H,C-Z)
0003      COMMON/THREE/AKNC(17,17)
0004      DIMENSION DEL(NSPEC),NDEL(NSPEC),NNE(NC,NTT)
0005      DIMENSION FNC(17)

      C
      C  CONDICIONES FRONTEIRAS ESPECIFICADAS NULAS
      C
0006      NSPC=NSPEC
0007      IF(N.EQ.1) NSPC=NSPZ
0008      DO 10 I=1,3
0009      NI=NNE(I,J)
0010      DO 3 K=1,NSPC
0011      NDEL=NDEL(K)
0012      IF(KDEL.NE.NI) GO TO 3
0013      IND=NLC*(I-1)
0014      IF(X.LE.NSPX) GO TO 8
0015      IF(K.LE.NSPZ) GO TO 7
0016      IND1=NLC*I
0017      GO TO 4
0018      7 IND1=IND+2
0019      IND2=IND+4
0020      GO TO 9
0021      8 IND1=IND+1
0022      IND2=IND+3
0023      9 DO 5 L=1,17
0024      AKNC(IND2,L)=0.
0025      AKNC(L,IND2)=0.
0026      IF(L.EQ.IND2) AKNC(L,L)=1.
0027      IF(L.EQ.IND2) FNC(L)=0.
0028      6 CONTINUE
0029      4 DO 5 L=1,17
0030      FNC(L)=FNC(L)-AKNC(L,IND1)*DEL(K)
0031      AKNC(IND1,L)=0.
0032      AKNC(L,IND1)=0.
0033      IF(L.EQ.IND1) AKNC(L,L)=1.
0034      IF(L.EQ.IND1) FNC(L)=DEL(K)
0035      5 CONTINUE
0036      3 CONTINUE
0037      10 CONTINUE
0038      RETURN
0039      END

```

```

FORTRAN IV G LEVEL 21          . DECOMP          DATE = 83082          11/29/42          PAGE 0001

0001      SUBROUTINE DECOMP(A,NSW,A,NNE,NSWS)
0002          IMPLICIT REAL (A-H,C-Z)
0003          DIMENSION A(NNS,NSWS)
0004          DO 101 I=1,N
0005              IP=N-I+1
0006              IF (IP.LE.NSW) GO TO 105
0007              IF=NSW
0008          105 DO 102 J=1,IP
0009              NF=NEW-J
0010              IM1=I-1
0011              IF (NF.LE.IM1) GO TO 106
0012              NF=IM1
0013          106 SUM=0.0
0014              IF (NF.EC.0) GO TO 104
0015              DO 103 K=1,NF
0016                  IMK=I-K
0017                  KP1=K+1
0018                  KPJ=K+J
0019          103 SUM=SUM+A(IMK,1)*A(IMK,KF1)*A(IMK,KPJ)
0020          104 A(I,J)=A(I,J)-SUM
0021              IF (J.LE.1) GO TO 102
0022              A(I,J)=A(I,J)/A(I,1)
0023          102 CONTINUE
0024          101 CONTINUE
0025              RETURN
0026              END

```

```

FORTRAN IV G LEVEL 21          SIGELA          DATE = 83082          11/29/42          PAGE 0001

0001      SUBROUTINE SIGELAC(J,K ,NTT,KELJ,NUH,NUV,ELASTH,ELASTV,GV,D,ANOR
0002          I,INDEX)
0003          IMPLICIT REAL (A-H,C-Z)
0004          REAL NUH,NUH,NU1,NU2,NU3,NU4,NU5,NU6
0005          DIMENSION D(3,3),NUH(K,2),NUV(K,2),ELASTH(K,2),ELASTV(K,2),
0006          1GV(K,2),INDEX(NTT)
0007          I=INDEX(J)
0008          NU1=NUH(KELJ,I)
0009          NU2=NUV(KELJ,I)
0010          RE=ELASTH(KELJ,I)/ELASTV(KELJ,I)
0011          NU3=(1+NU1)/(1-NU1-2*RE+NU2*NU2)
0012          FG=GV(KELJ,I)/ELASTV(KELJ,I)
0013          CONST=ELASTV(KELJ,1)/NU3/ANOR
0014          NU4=RE*NU2/(1+NU1)
0015          NU5=FG*(1-RE+NU2*NU2)
0016          NU6=1-NU1+NU1
0017          D(1,1)=NU5*CONST
0018          D(2,1)=NU5*CONST
0019          D(1,2)=D(2,1)
0020          D(2,2)=NU5*CONST
0021          D(3,3)=RE+NU3*CONST
0022          RETURN
0023          END

```

FORTRAN IV G LEVEL 21 SOLVERB DATE = 83082 11/29/42 PAGE 0001

```

0001 SUBROUTINE SOLVERB(N,NBW,F,X,A,NNS,NBW5)
0002   IMPLICIT REAL (A-H,O-Z)
0003   DIMENSION F(NNS),X(NNS),A(NNS,NBW5)
0004   X(1)=F(1)/A(1,1)
0005   DO 100 I=2,N
0006     NF=NBW-1
0007     IM1=I-1
0008     IF (NF.NE.IM1) GO TO 102
0009     NF=IM1
0010   102 SUM=0.0
0011     DO 101 K=1,NF
0012       IMK=I-K
0013       KP1=K+1
0014   101 SUM=SUM+A(IMK,1)*A(IMK,KP1)*X(IMK)
0015     X(I)=(F(I)-SUM)/A(I,1)
0016   100 CONTINUE
0017     DO 110 II=2,N
0018       I=N+1-II
0019       NF=NBW-1
0020       NMI=N-I
0021       IF (NF.LE.NMI) GO TO 103
0022       NFI=NMI
0023   103 SUM=0.0
0024       DO 111 K=1,NF
0025         KP1=K+1
0026         IPK=I-K
0027   111 SUM=SUM+A(I,KP1)*X(IPK)
0028       X(I)=X(I)-SUM
0029   110 CONTINUE
0030   RETURN
0031   END

```

FORTRAN IV G LEVEL 21 AIB1 DATE = 83082 11/29/42 PAGE 0001

```

0001 SUBROUTINE AIB1(L,A1,A2,A3,AIRE)
0002   IMPLICIT REAL (A-H,O-Z)
0003   DIMENSION U(3,6)
0004   U(1,1)=3.*A1
0005   U(2,1)= -A1
0006   U(3,1)= -A1
0007   U(1,2)= -A2
0008   U(2,2)=3.*A2
0009   U(3,2)= -A2
0010   U(1,3)= -A3
0011   U(2,3)= -A3
0012   U(3,3)=3.*A3
0013   U(1,4)=4.*A2
0014   U(2,4)=4.*A1
0015   U(3,4)=0.
0016   U(1,5)=0.
0017   U(2,5)=4.*A3
0018   U(3,5)=4.*A2
0019   U(1,6)=4.*A3
0020   U(2,6)=0.
0021   U(3,6)=4.*A1
0022   DO 1 I=1,3
0023     DO 1 K=1,6
0024   1 U(I,K)=U(I,K)/2./AIRE
0025   RETURN
0026   END

```

FORTRAN IV G LEVEL 21 RESULT DATE = 83082 11/29/42 PAGE 0001

```

0001      SUBROUTINE RESULT(NM2,XI,YI,NC,NTT,NCT,J,SIGTW,SIGT,UVT,PREST,ANDR
          1,N)
0002      IMPLICIT REAL (A-H,C-Z)
0003      DIMENSION NNE(NC,NTT)
0004      DIMENSION X(NCT),Y(NCT),SIGTW(9),SIGT(3),UVT(14),PREST(3)
0005      152 FORMAT(///,1X,"NUMERO DO TRIANGULO",I5)
0006      153 FORMAT( /,5X,"TENSORES")
0007      154 FORMAT( /,5X,"DESLOCAMENTOS")
0008      155 FORMAT(10X,"LADO NUMERO",I5,5X,3F20.4)
0009      156 FORMAT(5X,I5,5X,2F10.2,5X,3F10.4,5X,F10.4,5X,2F10.4,F10.2)
0010      157 FORMAT(5X,I5,5X,2F10.2,5X,2F10.4)
0011      158 FORMAT(4X,"CENTRO",5X,2F10.2,5X,2F10.4)
0012      159 FORMAT(15X,"O PROGRAMA ESTA LIMITADO A NC=3 ")
0013      160 FORMAT(/7,"LADO",T23,"X",T33,"Y",T44,"SIGMA X",T54,"SIGMA Y",
          1 T65,"TAL XY",T78,"PRESSAO ",T94,"SIGMA 1",T104,"SIGMA 3",T116,"TH
          126TA")
0014      161 FORMAT(/7,"LADO",T23,"X",T33,"Y",T48,"U",T58,"V")
0015      162 FORMAT(4X,"CENTRO",5X,2F10.2,5X,3F10.4,5X,F10.4,5X,2F10.4,F10.2)
0016      IF(N.LE.2) WRITE(6,153)
0017      IF(N.GT.2.AND.J.EQ.9) WRITE(6,153)
0018      IF(N.LE.2) WRITE(6,160)
0019      IF(N.GT.2.AND.J.EQ.3) WRITE(6,160)
0020      SIGX=0.
0021      SIGY=0.
0022      TALXY=0.
0023      PRESS=0.
0024      LOUT=0
0025      DO 9002 L=1,NC
0026      DO 9003 I=1,3
0027      IW=(L-1)*3
0028      SIGT(I)=SIGTW(IW+I)*ANDR
0029      9003 CONTINUE
0030      9020 LOUT=LOUT+1
0031      P=(SIGT(1)+SIGT(2))/2.
0032      R=SQRT((SIGT(1)-P)**2+(SIGT(3)**2))
0033      DTHETA= ARCSIN(SIGT(3)/R)*180./3.14159265
0034      IF(P.LT.0.)GO TO 10
0035      SIGMA1=P+R
0036      SIGMA3=P-R
0037      THETA=DTHETA/2.
0038      IF(SIGT(1).LT.SIGT(2))THETA=(180.-DTHETA)/2.
0039      IF(SIGT(1).LT.SIGT(2).AND.SIGT(3).LT.0.)THETA=-DTHETA/2.
0040      GO TO 20
0041      10 SIGMA1=P-R
0042      SIGMA3=P+R
0043      THETA=(DTHETA-180.)/2.
0044      IF(SIGT(3).LT.0.)THETA=(DTHETA+180.)/2.
0045      IF(SIGT(1).LT.SIGT(2))THETA=-DTHETA/2.
0046      20 CONTINUE
0047      IF(LOUT.EQ.4) GO TO 9021
0048      NI=NNE(L,J)
0049      IF(N.LE.2) WRITE(6,156)NI,XI(NI),YI(NI),(SIGT(I),I=1,3),PREST(L),S
          1 SIGMA1,SIGMA3,THETA
0050      IF(N.LT.2.AND.J.EQ.3) WRITE(6,156)NI,XI(NI),YI(NI),(SIGT(I),I=1,3)
          1,PREST(L),SIGMA1,SIGMA3,THETA
0051      SIGX=SIGX+SIGT(1)
0052      SIGY=SIGY+SIGT(2)
0053      TALXY=TALXY+SIGT(3)

```

```

FORTRAN IV C LEVEL 21          RESULT          DATE = 83082          11/29/42          PAGE 0002

0054      PRESS=PRESS+PREST(L)
0055      SIGT(1)=SIGX/NC
0056      SIGT(2)=SIGY/NC
0057      SIGT(3)=TAUXY/NC
0058      PRESTM=PRESS/NC
0059      N1=MNE(1,J)
0060      N2=MNE(2,J)
0061      N3=MNE(3,J)
0062      XCEN=(X1(N1)+X1(N2)+X1(N3))/3.
0063      YCEN=(Y1(N1)+Y1(N2)+Y1(N3))/3.
0064      IF(LCUT.EQ.3) GO TO 9020
0065      9002 CONTINUE
0066      9021 IF(N.LE.2) WRITE(6,162)XCEN,YCEN,(SIGT(I),I=1,3),PRESTM,SIGMA1,SIG
          1MAB,THETA
0067      IF(N.GT.2.AND.J.EQ.9) WRITE(6,162)XCEN,YCEN,(SIGT(I),I=1,3),PRESTM
          1,SIGMA1,SIGMAB,THETA
0068      A1=-2.*X1(N1)+2.*X1(N3)
0069      A2=2.*X1(N1)-2.*X1(N2)
0070      A3=2.*X1(N2)-2.*X1(N3)
0071      B1=2.*Y1(N1)-2.*Y1(N3)
0072      B2=-2.*Y1(N1)+2.*Y1(N2)
0073      B3=-2.*Y1(N2)+2.*Y1(N3)
0074      IF(N.LE.2) WRITE(6,154)
0075      IF(N.GT.2.AND.J.EQ.8) WRITE(6,154)
0076      IF(N.LE.2) WRITE(6,161)
0077      IF(N.GT.2.AND.J.EQ.6) WRITE(6,161)
0078      DO 9004 L=1,NC
0079      IF(L.GT.1)GO TO 9005
0080      AI=A1
0081      BI=B1
0082      GO TO 9011
0083      9005 IF(L.GT.2)GO TO 9006
0084      AI=A1
0085      BI=B1
0086      GO TO 9011
0087      9006 IF(L.GT.3)GO TO 9007
0088      AI=A1
0089      BI=B1
0090      9011 NI=MAB(L,J)
0091      DO 9008 LI=1,2
0092      IF(LI.EQ.2)GO TO 9009
0093      XGAUS=X1(NI)-.5*AI/SCRT(3.)
0094      YGAUS=Y1(NI)+.5*BI/SCRT(3.)
0095      GO TO 9019
0096      9009 CONTINUE
0097      XGAUS=Y1(NI)+.5*AI/SCRT(3.)
0098      YGAUS=X1(NI)-.5*BI/SCRT(3.)
0099      9013 I=4*(L-1)+2*(LI-1)
0100      IF(N.LE.2) WRITE(6,157)NI,XGAUS,YGAUS,UVT(I+1),UVT(I+2)
0101      IF(N.GT.2.AND.J.EQ.8) WRITE(6,157)NI,XGAUS,YGAUS,UVT(I+1),UVT(I+2)
0102      9008 CONTINUE
0103      9004 CONTINUE
0104      IF(N.LE.1) WRITE(6,158)XCEN,YCEN,UVT(13),UVT(14)
0105      IF(N.GT.2.AND.J.EQ.3) WRITE(6,158)XCEN,YCEN,UVT(13),UVT(14)
0106      GO TO 9001
0107      9007 WRITE(6,159)
0108      9001 RETURN

```

FORTRAN IV G LEVEL 21 RESULT DATE = 83082 11/29/42 PAGE 0003  
 0109 END

FORTRAN IV G LEVEL 21 SBNTA DATE = 83082 11/29/42 PAGE 0001

```

0001 SUBROUTINE SBNTA(NNE,NTA,NAN,NTT,NCT,NC)
0002   IMPLICIT REAL (A-H,C-7)
      C
0003   DIMENSION ANE(3,NTT),NTA(3,NTT),NAN(NCT)
0004   DO 1 I=1,NCT
0005     1 NAN(I)=0
0006     DO 4 J=1,NTT
0007       DO 4 I=1,NC
0008         4 NTA(I,J)=0
0009         DO 2 J=1,NTT
0010           DO 2 I=1,NC
0011             NI=NNE(I,J)
0012             NJ=NAN(NI)
0013             IF(NAN(NI).EQ.0)NAN(NI)=J
0014             IF(NNI.EQ.0)GO TO 2
0015             NJ=NAN(NI)
0016             NTA(I,J)=NJ
0017             DO 3 L=1,NC
0018               IF(NK=CL,NJ).EQ.NI.AND.NTA(L,NJ).EQ.0)NTA(L,NJ)=J
0019           3 CONTINUE
0020         2 CONTINUE
0021       RETURN
0022     END
  
```

FORTRAN IV G L-VEL 21 YIELD DATE = 83082 11/29/42 PAGE 0001

```

0001 SUBROUTINE YIELD(SIGTW,SIHC,SIVC,J,KEL,INDEX,ANOR)
0002   IMPLICIT REAL (A-H,C-2)
0003   DIMENSION SIGTW(1),SIHC(1),SIVC(1),KEL(1),INDEX(1)
0004   KELJ=KEL(J)
0005   SIV=(SIGTW(2)+SIGTW(5)+SIGTW(8))/3.
0006   SIH=(SIGTW(1)+SIGTW(4)+SIGTW(7))/3.
0007   SIVH=SIH+ANOR
0008   SIVH=SIV+ANOR
0009   INDEX(J)=1
0010   IF(SIH.GT.SIHC(KELJ).OR.SIV.GT.SIVC(KELJ)) INDEX(J)=2
0011   RETURN
0012   END
  
```

APÊNDICE IV

## FÓRMULAS UTILIZADAS NO PROGRAMA "SOL"

$$\frac{\partial L_i}{\partial x} = \frac{b_i}{2A} \quad \frac{\partial L_i}{\partial y} = \frac{a_i}{2A}$$

$$\frac{\partial N_1}{\partial x} = \frac{\partial N_1}{\partial L_1} \frac{\partial L_1}{\partial x} + \frac{\partial N_1}{\partial L_2} \frac{\partial L_2}{\partial x} + \frac{\partial N_1}{\partial L_3} \frac{\partial L_3}{\partial x}$$

$$N_1 = L_1 (2 L_1 - 1) = 2 L_1^2 - L_1$$

$$\frac{\partial N_1}{\partial x} = (4 L_1 - 1) \frac{b_1}{2A}$$

$$N_2 = L_2 (2 L_2 - 1) = 2 L_2^2 - L_2$$

$$\frac{\partial N_2}{\partial x} = (4 L_2 - 1) \frac{b_2}{2A}$$

$$N_3 = L_3 (2 L_3 - 1) = 2 L_3^2 - L_3$$

$$\frac{\partial N_3}{\partial x} = (4 L_3 - 1) \frac{b_3}{2A}$$

$$N_4 = 4 L_1 L_2$$

$$\frac{\partial N_4}{\partial x} = 4 L_2 \frac{b_1}{2A} + 4 L_1 \frac{b_2}{2A} = \frac{4}{2A} (L_2 b_1 + L_1 b_2)$$



$$\frac{\partial N_4}{\partial x} = \frac{4}{2A} (L_2 b_1 + L_1 b_2)$$

$$N_5 = 4 L_2 L_3$$

$$\frac{\partial N_5}{\partial x} = 4 L_3 \frac{b_2}{2A} + 4 L_2 \frac{b_3}{2A}$$

$$\frac{\partial N_5}{\partial x} = \frac{4}{2A} (L_3 b_2 + L_2 b_3)$$

$$\frac{\partial N_6}{\partial x} = \frac{4}{2A} (L_1 b_3 + L_3 b_1)$$

$$\left\{ \frac{\partial N}{\partial x} \right\}^T = \frac{1}{2A} \left\{ \begin{array}{l} (4L_1 - 1) b_1 \\ (4L_2 - 1) b_2 \\ (4L_3 - 1) b_3 \\ 4(L_2 b_1 + L_1 b_2) \\ 4(L_3 b_2 + L_2 b_3) \\ 4(L_1 b_3 + L_3 b_1) \end{array} \right\} \left\{ \frac{\partial N}{\partial y} \right\}^T b_i + a_i$$

$$\left\{ \frac{\partial N}{\partial x} \right\}^T = \frac{1}{2A} \{ \beta_i \} \quad \left\{ \frac{\partial N}{\partial y} \right\}^T = \frac{1}{2A} \{ \alpha_i \}$$

APÊNDICE V

## DADOS DO PROBLEMA

AMOR	R	EPI	KZERO	CONTRI	ROW
100.0	1.80	0.50E-03	1.00	0.0	9.81000

NBW4	NBW5	NN5	MLIM	NPSPM
36	45	540	1	0

NCPT	NS	NDSOM
0	3	1

## NOME DE CADA UM DOS PARAMETROS

NTI	NCT	NFC	NSPEC	NSPX	NSPY	NTSP	NKEL	NOS	NTTSP	NTUVPO
64	108	1	124	108	8	8	1	16	8	64

## COORDENADAS DOS PONTOS DOS MEIOS DOS LADOS

I	XI	YI
1	0.0	1.25
2	0.0	3.75
3	0.0	6.25
4	0.0	8.75
5	1.00	0.0
6	1.00	1.25
7	1.00	2.50
8	1.00	3.75
9	1.00	5.00
10	1.00	6.25
11	1.00	7.50
12	1.00	8.75
13	1.00	10.00
14	2.00	1.25
15	2.00	3.75
16	2.00	6.25
17	2.00	8.75
18	3.00	0.0
19	3.00	1.25
20	3.00	2.50
21	3.00	3.75
22	3.00	5.00
23	3.00	6.25
24	3.00	7.50
25	3.00	8.75
26	3.00	10.00
27	4.00	1.25
28	4.00	3.75
29	4.00	6.25
30	4.00	8.75
31	5.00	0.0
32	5.00	1.25
33	5.00	2.50
34	5.00	3.75
35	5.00	5.00
36	5.00	6.25
37	5.00	7.50
38	5.00	8.75
39	5.00	10.00
40	6.00	1.25
41	6.00	3.75
42	6.00	6.25
43	6.00	8.75
44	7.00	0.0
45	7.00	1.25
46	7.00	2.50
47	7.00	3.75
48	7.00	5.00
49	7.00	6.25
50	7.00	7.50
51	7.00	8.75
52	7.00	10.00
53	8.00	1.25
54	8.00	3.75
55	8.00	6.25
56	8.00	8.75

## LADOS DO TRIANGULO , TRIANGULOS ADJACENTES E ESPECIFICACÇES DENTRO DO TRIANGULO

J	NNE(1,J)	NNE(2,J)	NNE(3,J)	NTA(1,J)	NTA(2,J)	NTA(3,J)	IT(J)	ISP (J)	KW(J)	KEL(J)
1	1	5	6	0	0	2	0	1	1	1
2	6	14	7	1	9	3	0	1	1	1
3	2	7	8	0	2	4	0	1	1	1
4	8	15	9	3	11	5	0	1	1	1
5	3	9	10	0	4	6	0	1	1	1
6	10	16	11	5	13	7	0	1	1	1
7	4	11	12	0	6	8	0	1	1	1
8	12	17	13	7	15	0	1	1	1	1
9	14	18	15	2	0	10	0	1	1	1
10	19	27	20	0	17	11	0	1	1	1
11	15	20	21	4	10	12	0	1	1	1
12	21	29	22	11	19	13	0	1	1	1
13	16	22	23	6	12	14	0	1	1	1
14	23	29	24	13	21	15	0	1	1	1
15	17	24	25	3	14	16	0	1	1	1
16	25	30	26	15	23	0	1	1	1	1
17	27	31	32	10	0	18	0	1	1	1
18	32	40	33	17	25	19	0	1	1	1
19	28	33	34	12	18	20	0	1	1	1
20	34	41	35	19	27	21	0	1	1	1
21	29	35	36	14	20	22	0	1	1	1
22	36	42	37	21	29	23	0	1	1	1
23	30	37	38	15	22	24	0	1	1	1
24	38	43	39	23	31	0	1	1	1	1
25	40	44	45	19	0	26	0	1	1	1
26	45	53	46	25	33	27	0	1	1	1
27	41	46	47	20	26	28	0	1	1	1
28	47	54	48	27	35	29	0	1	1	1
29	42	48	49	22	28	30	0	1	1	1
30	49	55	50	29	37	31	0	1	1	1
31	43	50	51	24	30	32	0	1	1	1
32	51	56	52	31	39	0	1	1	1	1
33	53	57	58	26	0	34	0	1	1	1
34	58	66	59	33	41	35	0	1	1	1
35	54	59	60	29	34	36	0	1	1	1
36	60	67	61	35	43	37	0	1	1	1
37	55	61	62	30	36	38	0	1	1	1
38	62	68	63	37	45	39	0	1	1	1
39	56	63	64	32	38	40	0	1	1	1
40	64	69	65	39	47	0	1	1	1	1
41	66	70	71	34	0	42	0	1	1	1
42	71	75	72	41	49	43	0	1	1	1
43	67	72	73	36	42	44	0	1	1	1
44	73	80	74	43	51	45	0	1	1	1
45	68	74	75	38	44	46	0	1	1	1
46	75	81	76	45	53	47	0	1	1	1
47	69	76	77	40	46	48	0	1	1	1
48	77	82	78	47	55	0	1	1	1	1
49	79	83	84	42	0	50	0	1	1	1
50	84	82	85	49	57	51	0	1	1	1
51	80	85	86	44	50	52	0	1	1	1
52	86	93	87	51	59	53	0	1	1	1
53	81	87	88	46	52	54	0	1	1	1
54	89	94	89	53	61	55	0	1	1	1
55	92	89	90	49	54	56	0	1	1	1
56	90	90	91	55	62	0	1	1	1	1

DESLOCAMENTOS, PRESSÕES E VAZÕES ESPECIFICADAS

	1	2	3	4	5	6	7	8
9	0.0	0.0	0.0	0.0	0.0	0.0	0.0	0.0
17	0.0	0.0	0.0	0.0	0.0	0.0	0.0	0.0
25	0.0	0.0	0.0	0.0	0.0	0.0	0.0	0.0
33	0.0	0.0	0.0	0.0	0.0	0.0	0.0	0.0
41	0.0	0.0	0.0	0.0	0.0	0.0	0.0	0.0
49	0.0	0.0	0.0	0.0	0.0	0.0	0.0	0.0
57	0.0	0.0	0.0	0.0	0.0	0.0	0.0	0.0
65	0.0	0.0	0.0	0.0	0.0	0.0	0.0	0.0
73	0.0	0.0	0.0	0.0	0.0	0.0	0.0	0.0
81	0.0	0.0	0.0	0.0	0.0	0.0	0.0	0.0
89	0.0	0.0	0.0	0.0	0.0	0.0	0.0	0.0
97	0.0	0.0	0.0	0.0	0.0	0.0	0.0	0.0
105	0.0	0.0	0.0	0.0	0.0	0.0	0.0	0.0
57	0.0	0.0	0.0	0.0	0.0	0.0	0.0	0.0
65	0.0	0.0	0.0	0.0	0.0	0.0	0.0	0.0
1	0.0	0.0	0.0	0.0	0.0	0.0	0.0	0.0
5	0.0	0.0	0.0	0.0	0.0	0.0	0.0	0.0

TEMPOS DE CONSOLIDACAO

0.0

PARAMETROS DOS SOLOS

NUV	NUH	ELASTV	ELASTH	GV	PO	RXT	RXT
0.0	0.0	1500.	1500.	750.	0.	0.2000E-04	0.2000E-04
0.0	0.0	1500.	1500.	750.	0.	0.2000E-04	0.2000E-04

VALORES PARA CADA MATERIAL DAS PRESSOES DE PRECONSOLIDACAO VERTICAL E HORIZONTAL

SIVC SINC

0.0 0.0

TRAÇOS ESPECIFICADAS

I	T(X,1)	T(Y,1)	T(X,2)	T(Y,2)
13	0.0	-72.00	0.0	-72.00
26	0.0	-72.00	0.0	-72.00
39	0.0	-72.00	0.0	-72.00
52	0.0	-72.00	0.0	-72.00
65	0.0	-72.00	0.0	-72.00
78	0.0	-72.00	0.0	-72.00
91	0.0	-72.00	0.0	-72.00
104	0.0	-72.00	0.0	-72.00

APÊNDICE VI

LADO	X	Y	U	V
10	0.42	6.97	0.0	0.3343
11	1.53	5.53	0.0	-0.2651
16	2.00	5.53	0.0	-0.2651
11	1.53	7.50	0.0	-0.3597
11	0.42	7.50	0.0	-0.3597
CENTRO	1.33	6.67	0.0000	-0.3197

TRIANGULO NUMERO 7 - 1

TENSORES

LADO	X	Y	SIGMA X	SIGMA Y	TAJ XY	PRESSAD	SIGMA 1	SIGMA 3	THETA
4	0.0	8.75	-0.0017	-71.9605	0.0047	0.0	-71.6605	-0.0017	-90.00
11	1.00	7.50	0.0	-71.9564	0.0150	0.0	-71.9564	0.0	-89.99
12	1.00	8.75	0.0017	-71.9689	0.0106	0.0	-71.9689	0.0017	-89.99
CENTRO	0.67	8.33	0.0	-71.9623	0.0101	0.0	-71.9623	0.0	-89.99

DESLOCAMIENTOS

LADO	X	Y	U	V
4	0.0	9.47	0.0	-0.4543
4	0.0	9.03	0.0	-0.3850
11	0.42	7.50	0.0	-0.3597
11	1.58	7.50	0.0	-0.3597
12	1.58	8.03	0.0	-0.3850
12	0.42	8.47	0.0	-0.4543
CENTRO	0.67	8.33	-0.0000	-0.3997

TRIANGULO NUMERO 8 - 1

TENSORES

LADO	X	Y	SIGMA X	SIGMA Y	TAJ XY	PRESSAD	SIGMA 1	SIGMA 3	THETA
13	1.00	3.75	0.0040	-71.9821	0.0036	0.0	-71.9821	0.0040	-50.00
17	2.00	3.75	-0.0040	-71.9808	0.0276	0.0	-71.9808	-0.0040	-89.98
13	1.00	10.00	0.0	-72.0140	0.0138	0.0	-72.0140	0.0	-89.99
CENTRO	1.33	8.17	0.0	-71.9856	0.0150	0.0	-71.9856	0.0	-89.99

DESLOCAMIENTOS

LADO	X	Y	U	V
12	0.33	2.47	0.0	-0.4543
12	1.50	2.03	0.0	-0.3850
17	2.00	2.03	0.0	-0.3950
17	2.00	2.47	0.0	-0.4543
13	1.58	10.00	0.0	-0.4796
13	0.47	10.00	0.0	-0.4796
CENTRO	1.33	8.17	0.0000	0.4396



DESPLAZAMIENTOS

ETAPA	X	Y	U	V
21	3.61	2.01	0.0793	0.0465
22	5.27	1.36	0.1213	-0.0315
23	6.52	1.34	0.1363	0.0323
24	6.00	2.21	0.1329	0.0467
25	5.27	2.25	0.1153	0.0513
26	3.63	2.25	0.0793	-0.1519
27	5.03	1.69	0.1113	-0.0436

TANGENTE NUMERO 13 ->

TENSORES

ETAPA	X	Y	SIGMA X	SIGMA Y	TAN XY	PRESSAO	SIGMA 1	SIGMA 3	THETA
16	3.60	2.81	24.9584	-24.6994	-2.5591	46.8166	25.0900	-24.8300	-2.93
22	4.59	2.25	24.0363	-25.1362	-2.5300	47.8711	-25.2046	25.0644	37.10
23	4.59	2.81	24.6874	-24.6199	-1.8634	43.3444	-24.9397	24.7573	87.85
24	4.00	2.63	24.8593	-24.9185	-2.3175	47.5774	-25.0262	24.9686	87.34

DEPLAZAMIENTOS

ETAPA	X	Y	U	V
16	3.60	3.14	0.0627	0.0703
17	3.63	2.49	0.0646	-0.0564
22	3.63	2.25	0.0793	-0.0519
23	5.27	2.25	0.1159	-0.0513
24	5.27	2.49	0.1157	-0.0564
25	3.63	3.14	0.0743	-0.0710
26	4.00	2.63	0.0857	-0.0602

TANGENTE NUMERO 14 ->

TENSORES

ETAPA	X	Y	SIGMA X	SIGMA Y	TAN XY	PRESSAO	SIGMA 1	SIGMA 3	THETA
25	4.52	2.81	24.5040	-25.1923	-1.8658	43.3444	-25.2526	24.6738	87.86
26	4.59	2.81	23.9169	-24.1667	-3.8642	45.8305	-24.6753	24.2255	85.43
27	4.59	3.39	21.3695	-24.3607	-2.5591	43.4164	-24.5325	21.5022	86.82
28	5.00	3.00	23.2938	-24.5701	-2.7600	47.5304	-24.7287	23.4524	86.71

DESPLAZAMIENTOS

ETAPA	X	Y	U	V
23	3.63	3.14	0.0753	-0.0710
24	5.27	2.49	0.1157	-0.0564
25	6.00	2.45	0.1293	-0.0552
26	6.00	3.14	0.1237	-0.0688
27	5.27	3.14	0.1024	-0.0750
28	3.63	3.38	0.0759	-0.0760
29	5.00	3.00	0.1093	-0.0679

DESLOCAMENTOS

LAGO	X	Y	U	V
07	26.45	0.86	0.0321	0.0090
07	26.05	0.24	0.0084	0.0022
105	30.00	0.24	0.0	0.0022
105	30.00	0.89	0.0	0.0079
00	26.05	1.13	0.0034	0.0101
00	26.45	1.43	0.0321	0.0102
CENTRO	27.50	0.75	0.0134	0.0068

TELEFONIC NUMBER 59 - 2

TENSORES

LAGO	X	Y	SIGMA X	SIGMA Y	TUJ XY	PRESSAO	SIGMA 1	SIGMA 3	THETA
07	25.50	1.69	-11.3378	10.3239	-0.0326	10.2747	10.3240	-10.1078	89.51
07	27.75	1.13	-11.5365	10.5179	-0.0330	10.6124	-10.5365	10.5171	0.09
00	27.75	1.60	-11.4855	10.4614	0.0894	10.5874	-10.4859	10.4618	-0.24
CENTRO	27.50	1.50	-10.4433	10.4341	0.0079	10.4915	-10.4433	10.4341	-0.02

DESLOCAMENTOS

LAGO	X	Y	U	V
07	25.50	2.01	0.0407	0.0182
07	25.50	1.74	0.0097	0.0124
00	26.45	1.13	0.0321	0.0102
00	26.45	1.13	0.0084	0.0101
00	26.05	1.36	0.0093	0.0123
00	26.45	2.21	0.0322	0.0182
CENTRO	27.00	1.50	0.0272	0.0136

TELEFONIC NUMBER 60 - 2

TENSORES

LAGO	X	Y	SIGMA X	SIGMA Y	TUJ XY	PRESSAO	SIGMA 1	SIGMA 3	THETA
07	27.75	1.65	-10.4750	10.4902	0.0890	10.5974	10.4905	-10.4754	89.76
106	30.00	1.60	-10.2301	10.2429	0.0014	10.4328	10.2429	-10.2301	90.00
105	27.75	2.25	-11.0033	10.0111	0.0002	10.4863	10.0004	10.0112	0.09
CENTRO	28.00	1.80	-10.0111	10.0147	0.0191	10.5055	10.0148	-10.0118	89.95

DESLOCAMENTOS

LAGO	X	Y	U	V
07	26.45	2.01	0.0322	0.0182
00	26.05	1.36	0.0085	0.0123
106	30.00	1.36	0.0	0.0123
105	30.00	2.01	0.0	0.0101
100	26.05	2.25	0.0085	0.0203
100	26.45	2.25	0.0123	0.0206
CENTRO	28.00	1.80	0.0134	0.0159